

สำนักหอสมุด มหาวิทยาลัยบูรพา
กุมภาพันธ์ พ.ศ.๒๕๖๓ ๑๗๐๘๔

การคัดแยกแบคทีเรียที่มีความสามารถย่อยสลายปิโตรเลียม
ในโครงการนับอนจากจังหวัดชลบุรี

ISOLATION OF BACTERIA FOR PETROLEUM HYDROCARBON DEGRADATION
FROM CHANTHABURI PROVINCE

นายยุทธ แก้วบุญกรวงศ์

YONGYUT KAEWBUNKWANG

๑๔๐๑

ปัญหาพิเศษนี้เป็นส่วนหนึ่งของการศึกษาตามหลักสูตรวิทยาศาสตรบัณฑิต

สาขาวิชาเทคโนโลยีทางทะเล

คณะเทคโนโลยีทางทะเล มหาวิทยาลัยบูรพา

ปีการศึกษา ๒๕๔๘

ลิขสิทธิ์เป็นของมหาวิทยาลัยบูรพา

หัวข้อปัญหาพิเศษ

การคัดแยกแบคทีเรียที่มีความสามารถดับเชื้อสารไฮโดร卡บอน
ไฮโดรคาร์บอนจากชั้นหัวดันทบูรี

ISOLATION OF BACTERIA FOR PETROLEUM HYDROCARBON
DEGRADATION FROM CHANTHABURI PROVINCE

โดย

นายยงยุทธ แก้วบุญกร้าว

คณะ

เทคโนโลยีทางทะเล

อาจารย์ที่ปรึกษา

อาจารย์ สุพรผลิการ สมใจเพ็ง

อาจารย์ที่ปรึกษาร่วม

อาจารย์ ดร.ชลี ไพบูลย์กิจกุล

คณะเทคโนโลยีทางทะเล ได้พิจารณาปัญหาพิเศษฉบับนี้แล้ว เห็นสมควรรับเป็นส่วน
หนึ่งของการศึกษาตามหลักสูตรปริญญาวิทยาศาสตรบัณฑิต สาขาวิชาเทคโนโลยีทางทะเล ของ
มหาวิทยาลัยบูรพา

.....คณะเดียวกัน คณบดีคณะเทคโนโลยีทางทะเล

(อาจารย์วัศิน ยุวนะเตนี)

คณะกรรมการตรวจสอบปัญหาพิเศษ

..... อธิการบดี คณบดี ประธาน

(อาจารย์สุพรผลิการ สมใจเพ็ง)

.....กรรมการ

(อาจารย์ ดร.ชลี ไพบูลย์กิจกุล)

.....กรรมการ

(อาจารย์ ดร.เมืองมาศ ไพบูลย์กิจกุล)

ประกาศคุณภาพ

ปัญหาพิเศษนี้สำเร็จลุล่วงไปได้ด้วยความช่วยเหลือจาก อาจารย์สุพรรณิการ์ สมใจเพียง อาจารย์ที่ปรึกษาปัญหาพิเศษ ที่ได้กรุณาชี้แนะแนวทางให้คำปรึกษา ให้ความรู้ เสนอความคิดเห็น แก้ไขข้อบกพร่อง ให้การสนับสนุนให้ปัญหาพิเศษนี้ผ่านพ้นไปได้ด้วยดี ยิ่กหั้งขึ้นให้กำลังใจแก่ ข้าพเจ้าตลอดมาขณะทำการวิจัย ซึ่งข้าพเจ้าขอกราบขอบพระคุณเป็นอย่างสูงไว้ ณ ที่นี่

ขอกราบขอบพระคุณ อาจารย์ชลี ไพบูลย์กิจกุล อาจารย์ที่ปรึกษาร่วมที่เคยให้คำชี้แนะ คำปรึกษา ให้ความรู้ แก้ไขข้อบกพร่อง และให้กำลังใจแก่ข้าพเจ้ามาตลอดเวลาที่ทำการวิจัย ทำให้ ข้าพเจ้าสามารถแก้ไขข้อผิดพลาดต่างๆ ของงานวิจัยได้และทำงานได้สำเร็จลุล่วง

ขอกราบขอบพระคุณ อาจารย์นีญุ่นมาศ ไพบูลย์กิจกุล กรรมการสอนปัญหาพิเศษที่เคย ให้ความช่วยเหลือ ให้คำปรึกษาชี้แนะ และให้กำลังใจแก่ข้าพเจ้าเสมอมาตลอดเวลาที่ทำการวิจัย ทำ ให้ข้าพเจ้าสามารถทำงานวิจัยได้สำเร็จลุล่วงไปได้ด้วยดี

ขอกราบขอบพระคุณอาจารย์ทุกท่านที่ให้คำปรึกษา และคอมมอนส์สั่งสอนให้ความรู้แก่ ข้าพเจ้ามาตลอดการศึกษา

ขอขอบคุณพี่ปีล พี่อัน พี่ดัน พี่แปะ พี่เจียด และพี่บุคลากรทุกท่านที่อำนวยความสะดวก ในการใช้สถานที่ เครื่องมือ และอุปกรณ์ ทำให้ข้าพเจ้าสามารถทำงานได้อย่างสะดวกราบรื่น และ ขอบคุณพี่บรรณารักษ์ห้องสมุดที่อำนวยความสะดวกเรื่องเอกสาร

ขอขอบคุณบริษัท Star Petroleum ที่ให้ความอนุเคราะห์น้ำมันดิบเพื่อทำงานวิจัยครั้นนี้

ขอขอบคุณนายภานุมาศ นาครักษ์ ที่เคยให้การช่วยเหลือในการทำงานวิจัยนี้ ขอบคุณ นาย รังสิตพิ สายวรรณ และนางสาว อังชนัน กิตติแพ ที่เคยให้กำลังใจข้าพเจ้า ขอบคุณเพื่อนทุกคนที่ ให้ความช่วยเหลือในการทำงาน และถามาไถ่ความคืนหน้า และขอบคุณน้องมนต์ เติง น้อง จิ๊บ เตย และน้องๆ ทุกคน ที่ช่วยเหลือและให้กำลังใจในการทำงาน

สุดท้ายขอขอบพระคุณคุณแม่ผู้ให้กำเนิดอย่างสุดซึ้ง ที่เคยให้กำลังใจ คอยสนับสนุนให้ การศึกษา และสนับสนุนกำลังทรัพย์ ทำให้ข้าพเจ้ามีชีวิตสามารถศึกษาเล่าเรียนจนได้ทำปัญหา พิเศษนี้สำเร็จลุล่วง

ยงยุทธ แก้วนุญกว้าง

2 มิถุนายน 2549

45330864: สาขาวิชา: เทคโนโลยีทางทะเล; วท.บ.(เทคโนโลยีทางทะเล)

คำสำคัญ: แบคทีเรีย/ การคัดแยก/ ปิโตรเลียม/ ไฮโดรคาร์บอน

ยงยุทธ แก้วนุญาตว้าง: การคัดแยกแบคทีเรียที่มีความสามารถย่อยสลายปิโตรเลียมไฮโดรคาร์บอน
จากจังหวัดจันทบุรี (ISOLATION OF BACTERIA FOR PETROLEUM HYDROCARBON
DEGRADATION FROM CHANTHABURI PROVINCE) อาจารย์ผู้ควบคุมปัญหาพิเศษ:
สุพรรณิการ์ สมใจเพ็ง, วท.ม., อาจารย์ผู้ควบคุมปัญหาพิเศษร่วม: ชดี พินุลักษณกุล, วท.ศ. 81
หน้า. ปี พ.ศ. 2549

จุดประสงค์ในการศึกษาเพื่อคัดแยกเชื้อแบคทีเรียที่มีคุณสมบัติในการใช้สารประกอบ
ไฮโดรคาร์บอนเป็นแหล่งพลังงานในดินที่มีการปนเปื้อนบริเวณจังหวัดจันทบุรี ใน การคัดแยกเชื้อ⁺
แบคทีเรียในดินขันตันจากบริเวณท่าเรืออ่าวคุ้งกระเบน และท่าเรือปากแม่น้ำแม่แรมหู ได้เชื้อที่قاد
ว่าจะสามารถใช้สารประกอบไฮโดรคาร์บอนเป็นแหล่งพลังงานได้ 21 และ 9 ชนิด ตามลำดับ
จากนั้นทำการศึกษาเชื้อแบคทีเรีย 3 ชนิด จากที่ทำการแยกได้โดยพิจารณาจากลักษณะโคโลนีของ
เชื้อ ได้แก่ KB08, KB11 และ KN09 ซึ่งเชื้อทั้งสามมีค่าการเจริญเติบโตจำเพาะเท่ากับ 0.6306,
0.6716 และ 0.2312 ตามลำดับ สิ้นสุดระยะ log phase ที่ประมาณห้าโมงที่ 4, 4 และ 8 ชั่วโมง
ตามลำดับ และมีปริมาณเซลล์สูงสุดเท่ากับ 4.50×10^8 , 5.16×10^8 และ 1.15×10^9 CFU/ml
ตามลำดับ โดย KB08และ KB11 เป็นแบคทีเรียกรุ่นบวก รูปร่างเป็นท่อนยาว โคโลนีเป็นวงกลม มี
การยกตัวแบบมีจุดยอด และขอบไม่เรียบ แต่ KB08 มีโคโลนีสีขาว ส่วน KB11 มีโคโลนีสีเหลือง
ส่วนเชื้อ KN09 เป็นแบคทีเรียกรุ่นลบ รูปร่างเซลล์เป็นท่อนสั้น โคโลนีมีสีขาวมันเจาทรงกลม
และมีการยกตัวแบบโค้งมนจากผิวอาหาร ขอบเรียบ

45330864: MAJOR : MARINE TECHNOLOGY ; B.Sc. (MARINE TECHNOLOGY)

KEYWORD: BACTERIA/ ISOLATION/ PETROLEUM HYDROCARBON

YONGYUT KAEWBUNKWANG: ISOLATION OF MICROORGANISMS FOR
PETROLEUM HYDROCARBON DEGRADATION FROM CHANTHABURI PROVINCE.

SPECIAL PROBLEM ADVISOR: SUPUNNIKA SOMJAIPENG, M.Sc., SPECIAL

PROBLEM CO-ADVISOR: CHALEE PAIBULKICHAKUL, Ph.D. 81 P. 2006

The objective of this study was to screen natural bacteria in contaminated soil by petroleum hydrocarbon at Chanthaburi Province. The primary screenings of the bacteria at Kungkraban and Kamnoo estuary ports found 21 and 9 isolation, respectively. Then, 3 isolations KB08, KB11 and KN09 were selected to study the physiological character and cell morphology considered by colony character. Specific growth rates of KB08, KB11 and KN09 were 0.6306, 0.6716 and 0.2312, respectively. Log phase of KB08, KB11 and KN09 were 4, 4 and 8 hr, respectively. Maximum cell number of KB08, KB11 and KN09 were 4.50×10^8 , 5.16×10^8 and 1.15×10^9 CFU/ml, respectively. Cell morphology of KB08 and KB11 was positive gram, long rod shape. Colony morphology of KB08 and KB11 was circular, umbonate and undulate. KB08 colony had white color but KB11 had yellow color. Morphology of KN09 was negative gram, short rod shape cell and circular, convex and entire colony.

สารบัญ

	หน้า
ประกาศคุณปการ.....	๑
บทคัดย่อภาษาไทย.....	๑
บทคัดย่อภาษาอังกฤษ.....	๑
สารบัญ.....	๑
สารบัญตาราง.....	๙
สารบัญภาพ.....	๙
บทที่	
1 บทนำ.....	๑
ความเป็นมาและความสำคัญของปัญหา.....	๑
วัตถุประสงค์ของการวิจัย.....	๓
สมมติฐานของการวิจัย.....	๓
ประโยชน์ที่คาดว่าจะได้รับ.....	๔
ขอบเขตของการวิจัย.....	๔
2 เอกสารและงานวิจัยที่เกี่ยวข้อง.....	๕
นลพิย.....	๕
แหล่งกำเนิดนลพิยจากนัมมัน.....	๕
นิตรเดิม.....	๒๖
การวิเคราะห์ปิโตรเดิมไฮดรครับอน.....	๓๗
วิธีการกำจัดคราบน้ำมัน.....	๔๓
วิธีบำบัดทางชีวภาพ.....	๔๖
เอกสารงานวิจัยที่เกี่ยวข้อง.....	๔๙
3 วิธีการดำเนินการวิจัย.....	๕๒
อุปกรณ์ที่ใช้ในการวิจัย.....	๕๒
วิธีการวิจัย.....	๕๓
การเก็บตัวอย่าง.....	๕๓
การเพิ่มความทนทาน (Tolerant).....	๕๓
การเพิ่มจำนวนจลินทรีย์ (Enrichment).....	๕๓

สารบัญ (ต่อ)

บทที่		หน้า
	การแยกเชื้อบริสุทธิ์ (Purified).....	53
	การถ่ายภาพโคลนี.....	53
	การข้อมสีแกรม (Gram's stain).....	54
	การวัดอัตราการเจริญเติบโต.....	54
4	ผลและการวิจารณ์ผลการวิจัย.....	55
	การคัดแยกจุลินทรีย์ที่คาดว่าสามารถยับยั้งไวรัสโคโรนาได้.....	55
	การถ่ายภาพโคลนี.....	57
	การข้อมสีแกรม (gram's stain).....	58
	การวัดอัตราการเจริญเติบโต.....	60
5	สรุปผลการวิจัย.....	64
	สรุป.....	64
	ข้อเสนอแนะ.....	65
	บรรณานุกรม.....	66
	ภาคผนวก.....	69
	ภาคผนวก ก อาหารเลี้ยงเชื้อและสารที่ใช้ในการวิจัย.....	70
	ภาคผนวก ข ตารางอัตราการเจริญเติบโตของเชื้อจุลินทรีย์แต่ละชนิด.....	73
	ภาคผนวก ค ลักษณะโคลนีของเชื้อจุลินทรีย์แต่ละชนิด.....	75
	ประวัติย่อของผู้วิจัย.....	81

สารบัญตาราง

ตารางที่	หน้า
1 ปริมาณน้ำจากกระบวนการผลิตปิโตรเลียมปี 2543 (หน่วย บาร์เรลต่อวัน).....	8
2 การขนส่งน้ำมันทางน้ำ.....	10
3 สถิติการเกิดน้ำมันรั่วไหล ตั้งแต่ปี 2516 จนถึงปี 2545.....	10
4 สถิติการเกิดน้ำมันรั่วไหลสู่แหล่งน้ำธรรมชาติ ตั้งแต่ปี 2516 ถึง 2546.....	14
5 แสดงปริมาณปิโตรเลียมไฮโดรคาร์บอนที่ลงสู่ทะเลและมหาสมุทร (ด้านเมตริกตันต่อปี).....	25
6 การจำแนกถักยณะพื้นฐานของปิโตรเลียมไฮโดรคาร์บอน.....	27
7 ธาตุที่เป็นองค์ประกอบในน้ำมันดิน.....	28
8 วิธีการวิเคราะห์ปิโตรเลียมไฮโดรคาร์บอนในแหล่งน้ำ.....	39
9 ผลงานวิจัยที่เกี่ยวข้องกับการวิเคราะห์หาปริมาณปิโตรเลียมไฮโดรคาร์บอนใน แหล่งน้ำ.....	40
10 ลักษณะโคโลนีของเชื้อชั้งคัดแยกได้จากบริเวณท่าเรืออ่าวคุ้งกระเบนทั้งหมด 21 ชนิด.....	56
11 ลักษณะโคโลนีของเชื้อชั้งคัดแยกได้จากบริเวณท่าเรือปากแม่น้ำเขมราฐทั้งหมด 9 ชนิด.....	57
12 อัตราการเจริญเติบโตของเชื้อจุลินทรีย์แต่ละชนิด (CFU/ml).....	74

สารบัญภาพ

ภาพที่	หน้า
1 แท่นบุคเจาะน้ำมันก่อการทะเด.	6
2 พื้นที่สัมปทานปีโตรเลียมในอ่าวไทย	7
3 ดัชนีความอ่อนไหวของทรัพยากรช่ายฝั่งต่อมลพิษจากน้ำมันบริเวณ อ่าวคริรากา	9
4 เรือนรรทุกน้ำมันขนาดใหญ่	11
5 อุบัติเหตุน้ำมันรั่วไหลจากเรือนรรทุกน้ำมันขนาดใหญ่	12
6 เรือ Eastern Fortitude ที่เกิดอุบัติเหตุเมื่อวันที่ 15 มกราคม 2545	13
7 เรือ SKY ACE ที่ถูกชนและทุนกักทราบน้ำมันที่ล็อกรอบตัวเรือ	13
8 สัคส่วนของปริมาณปีโตรเลียมไฮโดรคาร์บอนจากแหล่งต่างๆที่ลงสู่ทะเล	24
9 กลไกการย่อยสลายไฮโดรคาร์บอนโดยจุลชีพ	32
10 ตัวอย่างลักษณะที่ได้รับผลกระทบจากน้ำมันที่รั่วไหลสู่แหล่งน้ำ	34
11 การกำจัดน้ำมันที่รั่วไหลสู่แหล่งน้ำด้วยวิธีการเผา	45
12 วิธีการย่อยสลายอะลิฟิติกไฮโดรคาร์บอน	48
13 วิธีการย่อยสลายอะโรมาติกไฮโดรคาร์บอน	48
14 ลักษณะโคโนนีของเชื้อรหัส KB08 ซึ่งมีสีขาวหยาบทึบแสง รูปร่างเป็นวงกลม (circular) การยกตัวเป็นแบบมีจุดยอด (umbonate) และขอบไม่เรียบ (undulate)	58
15 ลักษณะโคโนนีของเชื้อรหัส KB11 ซึ่งมีสีเหลืองเหลืองทึบแสง รูปร่างเป็น วงกลม (circular) การยกตัวเป็นแบบมีจุดยอด (umbonate) และขอบไม่เรียบ (undulate)	58
16 ลักษณะโคโนนีของเชื้อรหัส KN09 ซึ่งมีสีขาวมันเงา รูปร่างเป็นวงกลม (circular) การยกตัวเป็นแบบโค้งมนจากผิวอาหาร (convex) และขอบเรียบ (entire)	58
17 ลักษณะเซลล์รูปท่อonya และติดสีแกรมบวกของเชื้อรหัส KB08 (กำลังขยาย 1000x)	59

สารบัญภาพ (ต่อ)

ภาพที่	หน้า
18 ลักษณะเซลล์รูปท่อนยาว และติดสีแกรมบวกของเชื้อรหัส KB11 (กำลังขยาย 1000x).....	59
19 ลักษณะเซลล์รูปท่อนสั้น และติดสีแกรมลบของเชื้อรหัส KN09 (กำลังขยาย 1000x).....	60
20 อัตราการเจริญเติบโตเฉลี่ยของเชื้อรหัส KB08.....	62
21 อัตราการเจริญเติบโตเฉลี่ยของเชื้อรหัส KB11.....	62
22 อัตราการเจริญเติบโตเฉลี่ยของเชื้อรหัส KN09.....	63
23 โคลโนนเชื้อจุลินทรีย์ซึ่งกัดแยกได้จากบริเวณท่าเรือคุ้งกระเบนทั้งหมด 21 ชนิด.....	76
24 โคลโนนเชื้อจุลินทรีย์ซึ่งกัดแยกได้จากบริเวณท่าเรือปากแม่น้ำเขมหุ้นทั้งหมด 9 ชนิด.....	79

บทที่ 1

บทนำ

ความเป็นมาและความสำคัญของปัญหา

ระบบนิเวศต่างๆ มีความสำคัญต่อสิ่งมีชีวิตและมนุษย์เป็นอย่างมาก มนุษย์ได้ใช้ประโยชน์จากระบบนิเวศต่างๆ ทั้งในด้านที่อยู่อาศัย แหล่งอาหาร แหล่งกำจัดของเสีย ตลอดจนศูนย์กลางการคุณภาพต่างๆ และอื่นๆ อีกมากมาย (สมควิล จริตควร, 2540) โดยระบบนิเวศนี้ในโลกที่มีความสำคัญต่อการดำรงชีวิตของมนุษย์คือระบบนิเวศทางทะเล เมื่อจากเป็นทั้งแหล่งอาหาร เส้นทางคุณภาพ และมีการใช้ประโยชน์จากทรัพยากรทางทะเลอีกด้วย ยกตัวอย่าง ทำให้มนุษย์มีการลุกขึ้นมาใช้ประโยชน์จากท้องทะเลมากขึ้น เป็นผลให้ในปัจจุบันเกิดการนำสิ่งต่างๆ ทั้งสารหรือพลาสติกสู่สิ่งแวดล้อมในทะเลทั้งที่จงใจและไม่จงใจ เกิดเป็นมลพิษทางทะเล

มลพิษทางทะเลหมายถึงการที่มนุษย์นำสารหรือพลาสติกสู่สิ่งแวดล้อมในทะเลไม่ว่าจะเป็นในทางตรงหรือทางอ้อม เมื่อการกระทำนั้นก่อให้เกิดผลเสียต่อสิ่งมีชีวิตหรือเป็นอันตรายต่อสุขภาพอนามัยของมนุษย์ ข้อห่วงการทำการกิจกรรมในทะเล เช่น การประมง การเดินเรือ หรือการทำให้คุณภาพสิ่งแวดล้อมในทะเลเสื่อมลง (เปี่ยมศักดิ์ เมนะเศวต, 2543) ก่อให้เกิดผลเสียต่อสิ่งมีชีวิตในทะเลและส่งผลกระทบสืบต่อมากจนถึงมนุษย์ในที่สุด สาเหตุหนึ่งของการเกิดมลพิษทางทะเลที่ส่งผลเสียต่อระบบนิเวศและสิ่งแวดล้อมทางทะเล คือ มลพิษจากน้ำมัน (oil pollution)

น้ำมันดินหรือปิโตรเลียมเป็นส่วนผสมของสารประกอบทางเคมีหลายชนิดซึ่งส่วนใหญ่เป็นพากไฮdrocarbon (hydrocarbon) (สมควิล จริตควร, 2540) อาจเรียกได้อีกอย่างว่า ปิโตรเลียม ไฮdrocarbon (petroleum hydrocarbon) น้ำมันดินหรือปิโตรเลียมไฮdrocarbonเป็นผลิตภัณฑ์ที่เกิดจากการเปลี่ยนแปลงตามธรรมชาติต่อเนื่องนานนับหมาร้อยล้านปีของสารอินทรีย์ที่สะสมอยู่ในชั้นของดินตะกอนได้พัฒนา ได้ทะเล และมหาสมุทร (อรรรรัณ วัฒโน, 2542) สามารถนำน้ำมันดินมาทำการกลั่นเป็นน้ำมันเชื้อเพลิง เป็นวัตถุดินในอุตสาหกรรมต่างๆ เช่น วัตถุดินการทำพลาสติก ใช้สังเคราะห์ ยาง ปู๊ย และผลิตภัณฑ์อื่นๆ เป็นต้น (สมควิล จริตควร, 2540) สิ่งเหล่านี้ทำให้เกิดประโยชน์อย่างมากmany แต่จากการเผาผลาญน้ำมันเชื้อเพลิงเพื่อให้ได้พลังงานนั้นยังมีสิ่งอื่นเกิดขึ้นด้วย เช่น ความร้อน ก๊าซ สารนิคต่างๆ ที่ก่อให้เกิดมลพิษต่อสิ่งแวดล้อม สุขภาพของมนุษย์เอง เนื่องจากปริมาณการสะสมของสิ่งเหล่านี้เพิ่มขึ้นอย่างรวดเร็ว ไม่สามารถถูกขจัดออกໄไปได้หรือสามารถขจัดออกໄไปได้ช้าทำให้เสียสมคุณธรรมชาติ (ปัญจพล ชีโนน, 2543) ทำให้ปิโตรเลียมไฮdrocarbonถูกจัดว่าเป็นสารมลพิษ สารปิโตรเลียมส่วนใหญ่สามารถถูกย่อย

สลายได้ด้วยกระบวนการทางชีววิทยาแต่เป็นไปในอัตราที่ช้ามาก ก่อให้เกิดปัญหากับสิ่งมีชีวิตต่างๆ ที่อาศัยอยู่ในสิ่งแวดล้อมนั้นๆ และเพร่กระจายสู่สิ่งแวดล้อมอื่นๆ โดยกระแสลม กระแสน้ำ การซึ่งจากดินสู่แหล่งน้ำ มหาสมุทร รวมถึงน้ำใต้ดิน

ประเทศไทยเป็นประเทศที่กำลังพัฒนา การปรับปรุงระบบเศรษฐกิจของประเทศไทยในการพัฒนาทางด้านอุตสาหกรรมจึงเป็นไปอย่างรวดเร็ว ทำให้มีการใช้น้ำมันเป็นแหล่งเชื้อเพลิง โดยมีอัตราการใช้ที่เพิ่มสูงมากขึ้นอย่างรวดเร็ว และในปี พ.ศ.2531 พบว่ามีการใช้น้ำมันเป็นแหล่งพลังงานมากถึงร้อยละ 60 ของพลังงานทั้งหมด (จราย บุญยุบล และคณะ, 2529 อ้างโดย เกศนี สรรวนิช, 2534) ทำให้เกิดปัญหาสำคัญประการหนึ่งคือ ปัญหาการปนเปื้อนของน้ำมันในสิ่งแวดล้อม โดยเฉพาะในแหล่งน้ำต่างๆ การที่ปีเตอร์เลียมไฮดราร์บอนเกิดการแพร่กระจายสู่สิ่งแวดล้อมนั้น เป็นการก่อให้เกิดผลเสียต่อสิ่งมีชีวิตที่อาศัยอยู่ในสิ่งแวดล้อมนั้นๆ เป็นอย่างมาก ซึ่งในปัจจุบันมีนุյย์ได้มีกิจกรรมทางน้ำมากขึ้น โดยมีการนำเครื่องจักรต่างๆ เข้ามาร่วมด้วยความสะดวกเครื่องจักรที่มีน้ำมันสำหรับเครื่องจักร ไม่ว่าจะเป็นเครื่องจักรที่ใช้น้ำมันเป็นแหล่งกำเนิดพลังงาน เป็นผลให้มีการร่วมกับน้ำมันออกสู่สิ่งแวดล้อมในปริมาณมหาศาลทั้งจากความต้องใช้และไม่ต้องใช้ของผู้ประกอบกิจกรรม อีกทั้งยังมีสาเหตุของการแพร่กระจายของน้ำมันปนเปื้อนลงสู่แหล่งน้ำอีกมากจากกิจกรรมของมนุษย์ เช่น การทิ้งน้ำมันลงสู่แหล่งน้ำโดยตรง หรือมีน้ำมันปนเปื้อนในน้ำทิ้งจากโรงงานอุตสาหกรรมต่างๆ รวมทั้งน้ำทิ้งจากบ้านเรือนชุมชน ทั้งหมดนี้ก่อให้เกิดปัญหาการปนเปื้อนและตกค้างของคราบน้ำมันในสิ่งแวดล้อม ส่งผลเสียต่อระบบนิเวศมากนัก (เกศนี สรรวนิช, 2534)

ตามปกติแล้วปีเตอร์เลียมไฮดราร์บอนจะถูกนำออกจากสิ่งแวดล้อมของตามธรรมชาติ ด้วยกระบวนการต่างๆ เช่น ในทางกายภาพจะเกิดการย่อยสลายอย่างช้าๆ ส่วนวิธีการย่อยสลายทางชีวภาพตามธรรมชาตินั้นเกิดจากสิ่งมีชีวิตขนาดเล็กที่เรียกว่า “จุลชีพ” วิธีเหล่านี้ทำให้ปริมาณปีเตอร์เลียมไฮดราร์บอนในสิ่งแวดล้อมตามธรรมชาติดับปริมาณลงได้บางส่วน แต่เป็นไปอย่างช้าๆ ทำให้เสียสมดุลของธรรมชาติ (ปัญจพล ชีโนดม, 2543) แต่วิธีทางชีวภาพวิธีหนึ่งที่สามารถช่วยให้อัตราการย่อยสลายมีค่าเพิ่มมากขึ้น ได้นำเสนอการเติมจุลินทรีย์ชนิดที่มีคุณสมบัติเหมาะสมเข้าไปในสิ่งแวดล้อมนั้นๆ พร้อมทั้งปรับสภาพของสิ่งแวดล้อมให้เหมาะสมกับการดำเนินกิจกรรมของจุลินทรีย์ เรียกกระบวนการนี้ว่า “การบำบัดด้วยวิธีการทางชีวภาพ (bioremediation)” (Atlas, 1995 ; Kordar et al., 1997 อ้างโดย ปัญจพล ชีโนดม, 2543) วิธีนี้ทำให้สิ่งแวดล้อมกลับคืนสู่ภาวะเดิมได้เร็วกว่าการปรับตัวตามธรรมชาติอย่างเดียว นอกจากนี้ยังมีข้อดีอีกคือไม่ทำให้มีความเป็นพิษสูงขึ้นและปลอดภัยต่อสิ่งแวดล้อม (Kordar et al., 1997 อ้างโดย ปัญจพล ชีโนดม, 2543)

จุลินทรีย์เป็นสิ่งมีชีวิตขนาดเล็กที่ประกอบด้วยเซลล์เดียว (unicellular) หรือหลายเซลล์ (multicellular) แต่ทว่าเซลล์เหล่านั้นต่างก็เป็นเซลล์ชนิดเดียวกันและมีรูป่างเหมือนกัน ไม่มีการเปลี่ยนแปลงของเซลล์เพื่อทำหน้าที่เฉพาะหนึ่งในสิ่งมีชีวิตชั้นสูง จุลินทรีย์มีขนาดเล็กมากไม่สามารถมองเห็นได้ด้วยตาเปล่า ต้องใช้กล้องจุลทรรศน์ที่มีกำลังขยายสูงส่องคุณจักษณ์มองเห็น มีรูปร่างหลายแบบ การสืบพันธุ์มีทั้งแบบอาศัยเพศและไม่อาศัยเพศ สามารถพบได้ทั่วไปทั้งในน้ำดิน และอากาศ มีทั้งชนิดที่ให้ประโยชน์และชนิดที่ให้โทษ (ดวงพร คันธ์โชติ, 2545) จุลินทรีย์มีอยู่ในธรรมชาติจำนวนมากและมีหลายสายพันธุ์ด้วยกัน ซึ่งในแต่ละสายพันธุ์มีคุณสมบัติเฉพาะต่างๆ แตกต่างกัน ไปด้วย บางชนิดบางสายพันธุ์มีความสามารถในการย่อยสลายสารน้ำมันของจุลินทรีย์ต่างๆ เหล่านี้ได้ด้วยเหตุนี้หากมนุษย์สามารถนำคุณสมบัติการย่อยสลายคราบน้ำมันของจุลินทรีย์ต่างๆ เหล่านี้มาประยุกต์ใช้ให้เกิดประโยชน์อย่างเป็นระบบ ได้จะเป็นประโยชน์อย่างมากต่อการช่วยลดภาระแก่โลก ไปปัญหาคราบน้ำมันที่ตกค้างอยู่ในสิ่งแวดล้อมต่างๆ อีกทั้งยังอาจนำไปประยุกต์ใช้ในอุตสาหกรรมต่างๆ ในด้านการบำบัดของเสียซึ่งจำเป็นต้องปล่อยออกสู่สิ่งแวดล้อม เป็นการช่วยลดมลพิษในสิ่งแวดล้อมให้น้อยลงได้

การศึกษาครั้งนี้มีวัตถุประสงค์เพื่อศึกษาจุลินทรีย์ที่มีประสิทธิภาพในการลดปริมาณปีโตรเลียมไฮโดรคาร์บอนจากสิ่งแวดล้อมตามธรรมชาติ เพื่อเป็นพื้นฐานในการนำไปพัฒนาหรือประยุกต์ใช้สำหรับลดปริมาณปีโตรเลียมไฮโดรคาร์บอนที่ปนเปื้อนในแหล่งน้ำธรรมชาติ โดยเป็นวิธีการทางชีวภาพตามธรรมชาติและไม่ส่งผลกระทบหรือผลเสียต่อสิ่งแวดล้อมต่อไป

วัตถุประสงค์ของการวิจัย

คัดเลือกจุลินทรีย์ที่สามารถย่อยสลายปีโตรเลียมไฮโดรคาร์บอนได้จากแหล่งปนเปื้อนสารปีโตรเลียมไฮโดรคาร์บอนในธรรมชาติ และศึกษาอัตราการเจริญเติบโตของเชื้อที่คัดแยก

สมมติฐานของการวิจัย

ในบริเวณที่มีการรั่วไหลและตกค้างของปีโตรเลียมไฮโดรคาร์บอนย่อมมีจุลินทรีย์บางชนิดอาศัยอยู่ได้ โดยจะมีจุลินทรีย์บางชนิดเป็นชนิดเด่นที่มีความสามารถในการย่อยสลายปีโตรเลียมไฮโดรคาร์บอนได้อย่างมีประสิทธิภาพเจริญอยู่ด้วย

ประโยชน์ที่คาดว่าจะได้รับ

สามารถคัดเลือกจุลินทรีย์ที่สามารถย่อยสลายปีโตรเลียม ไฮโดรคาร์บอนอย่างมีประสิทธิภาพได้จากแหล่งน้ำธรรมชาติ ซึ่งสามารถนำไปพัฒนาใช้ในการย่อยสลายปีโตรเลียม ไฮโดรคาร์บอนที่ปนเปื้อนชั่งอาจส่งผลเสียต่อสิ่งแวดล้อมในธรรมชาติ โดยไม่เกิดผลกระทบต่อระบบนิเวศหรือสิ่งแวดล้อมตามธรรมชาติต่อไป

ข้อดีของการศึกษา

1. เก็บตัวอย่างจากบริเวณที่คาดว่าจะพบเชื้อที่มีคุณสมบัติในการย่อยสลายปีโตรเลียม ไฮโดรคาร์บอน
2. การเพิ่มความทนทาน (tolerant) นำตัวอย่างที่เก็บมาจากบริเวณที่คาดว่าปีโตรเลียม ไฮโดรคาร์บอนปนเปื้อนอยู่ทำการเพิ่มความทนทานต่อปีโตรเลียม ไฮโดรคาร์บอน ให้กับเชื้อจุลินทรีย์
3. การเพิ่มจำนวนจุลินทรีย์ (enrichment) นำตัวอย่างที่ได้มาทำการเพิ่มจำนวนในอาหารเหลว ในห้องปฏิบัติการ
4. แยกเชื้อจุลินทรีย์ออกจากตัวอย่างให้เป็นเชื้อบริสุทธิ์ (pure cultures)
5. บันทึกภาพลักษณะ โคลoni ของเชื้อที่สามารถคัดแยกได้ด้วยกล้องถ่ายภาพ
6. ข้อมูลistogram และสังเกตลักษณะเซลล์ของเชื้อแต่ละชนิดที่สามารถคัดแยกได้
7. วัดอัตราการเจริญเติบโตของเชื้อบริสุทธิ์ที่สามารถคัดแยกได้โดยใช้เทคนิค viable plate count

บทที่ 2

เอกสารและงานวิจัยที่เกี่ยวข้อง

1. ผลพิษ

ความหมายของนลพิษตามพจนานุกรม หมายถึง สิ่งไม่นริสุทธิ์ซึ่งเป็นอันตรายร้ายแรงต่อร่างกาย (มต = ความมั่วหมองไม่นริสุทธิ์, พิษ = สิ่งร้ายแรงเป็นอันตรายต่อร่างกาย) (สมบัติ จำปาเงิน และคณะ, 2537) มีผู้ให้คำจำกัดความนลพิษของน้ำไว้หลายท่าน เช่น ในปี ก.ศ.1952 Coulson และ Forbes นักวิทยาศาสตร์ชาวอเมริกันได้ให้ความหมายไว้ว่า “นลพิษของน้ำคือ น้ำที่มีสภาพพิเศษจากธรรมชาติโดยมีการเติมบางสิ่งบางอย่างลงไปทำให้สิ่งมีชีวิตที่อาศัยอยู่บริเวณนั้นไม่สามารถรับน้ำตามธรรมชาติที่ควรได้รับ” และในปี ก.ศ.1957 Gorlinski ได้แยกความหมายของคำว่า “ภาวะเปื้อน (contamination) ออกรากนลพิษ (pollution) โดยกล่าวว่า “การภาวะเปื้อนควรใช้กับน้ำเสียที่เป็นภัยด้านสาธารณสุข ส่วนนลพิษควรใช้กับน้ำเสียที่ไม่เป็นภัยทางสาธารณสุขแต่เป็นภัยต่อการใช้ประโยชน์ทางน้ำอื่นๆ เช่น การประมง การเกษตร และการอุตสาหกรรม” ต่อมา นักวิทยาศาสตร์ส่วนมากที่ศึกษาในแขนงของปัญหาผลกระทบน้ำได้มีความเห็นร่วมกันว่า “นลพิษของน้ำคือการที่น้ำซึ่งอยู่ในสภาพที่คนใช้ได้ สัตว์น้ำอาศัยอยู่ได้ตลอดช่วงชีวิต มีสภาพที่เลวลงเนื่องจากมีสิ่งแปรปรวนอยู่กัน混ลงไป (เปี่ยมศักดิ์ เมนะศรี, 2543) ปัจจุบันสังคมมีการตื่นตัวและตระหนักรู้ปัญหาเหล่านี้ว่า ได้ส่งผลกระทบต่อสิ่งแวดล้อมและการดำรงชีวิตของมนุษย์ทั้งในทางตรงและทางอ้อม

2. แหล่งกำเนิดนลพิษจากน้ำมัน

ปัญหาสำคัญประการหนึ่งในเรื่องนลพิษของน้ำคือ นลพิษจากน้ำมัน น้ำมันเป็นสิ่งที่มนุษย์ค้นพบและนำมาพัฒนาเพื่อใช้เป็นแหล่งพลังงานอีกแหล่งหนึ่ง การพัฒนาอย่างรวดเร็วของประเทศไทยให้เกิดความต้องการในการใช้พลังงานเพิ่มมากขึ้น เป็นผลให้มีแนวโน้มการใช้พลังงานเพิ่มขึ้นอย่างมาก (ปัญญา ชีโนดม, 2543) โดยเฉพาะในช่วงของแผนพัฒนาระยะที่ 3 และ 4 เป็นต้นมา ปริมาณการใช้น้ำมันเป็นแหล่งพลังงานมีแนวโน้มเพิ่มสูงขึ้นทุกปี จากการสำรวจปริมาณการใช้น้ำมันในประเทศไทยในปี 2531 โดยสำนักงานพลังงานแห่งชาติ กระทรวงวิทยาศาสตร์เทคโนโลยี และพลังงาน พบว่าเพิ่มขึ้นจากปี 2530 ในอัตราที่สูงถึงร้อยละ 14.4 คือปริมาณการใช้เพิ่มจาก 245,930 บาร์เรลต่อวันในปี 2530 เป็น 281,322 บาร์เรลต่อวันในปี 2531 ซึ่งอาจกล่าวได้ว่าบนทบทวนการใช้น้ำมันเป็นแหล่งพลังงานคิดเป็นร้อยละ 60 ของแหล่งพลังงานทั้งหมด (ราย บุญยุคล

และคณะ, 2529 อ้างโดย เกศินี สรรวนิช, 2534) นอกจากจะใช้เป็นแหล่งพลังงานแล้ว น้ำมันดิบ หรือที่เรียกว่าปิโตรเลียม ไอก็คราร์บอนนั้นยังสามารถนำมาผ่านกระบวนการแปรรูปให้เกิดเป็น พลิตภัยที่อื่นๆ ซึ่งสามารถนำไปใช้ประโยชน์ได้มากน้อย เช่นวัตถุคิบในการผลิตพลาสติก ไปสังเคราะห์ ยาง ปุ๋ย เป็นต้น (สมถวิล จริตควร, 2540)

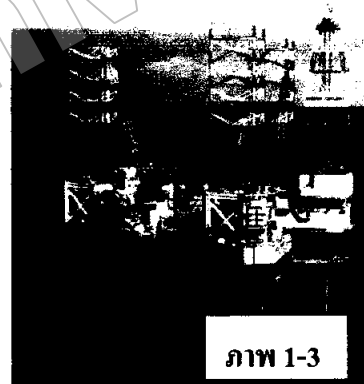
การผลิตปิโตรเลียมมีกระบวนการอยู่ทั่วไปในอ่าวไทย (ภาพที่ 1 และ 2) ซึ่งกิจกรรมนี้อาจ ส่งผลกระทบต่อสิ่งแวดล้อม โดยเฉพาะอย่างยิ่งการระบายน้ำของเสียงสู่ทะเล ได้แก่ น้ำจาก กระบวนการผลิต (produced water) (ตารางที่ 1) การของเสีย (solid waste) และของเสียที่อยู่ในรูป ก๊าซ (gaseous waste) ซึ่งของเสียที่เกิดขึ้นจะมี protox สารนู "ไอก็คราร์บอน" ไอก็ครเรนซัลไฟร์ และสารประกอบเกลือในน้ำจากกระบวนการผลิตปันเปื้อน จากการศึกษาพบว่าจะมีการระบายน้ำทิ้ง ประมาณ 90,000 ลูกบาศก์เมตรต่อวันลงสู่ทะเล อีกทั้งแท่นขุดเจาะบางแห่งจะปล่อยสารprotox ออกมานักกับน้ำทิ้งประมาณ 270 – 550 กรัมprotoxต่อวันอีกด้วย (ส่วนแหล่งน้ำทะเล สำนักจัดการ คุณภาพน้ำ กรมควบคุมมลพิษ, 2546)



ภาพ 1-1



ภาพ 1-2

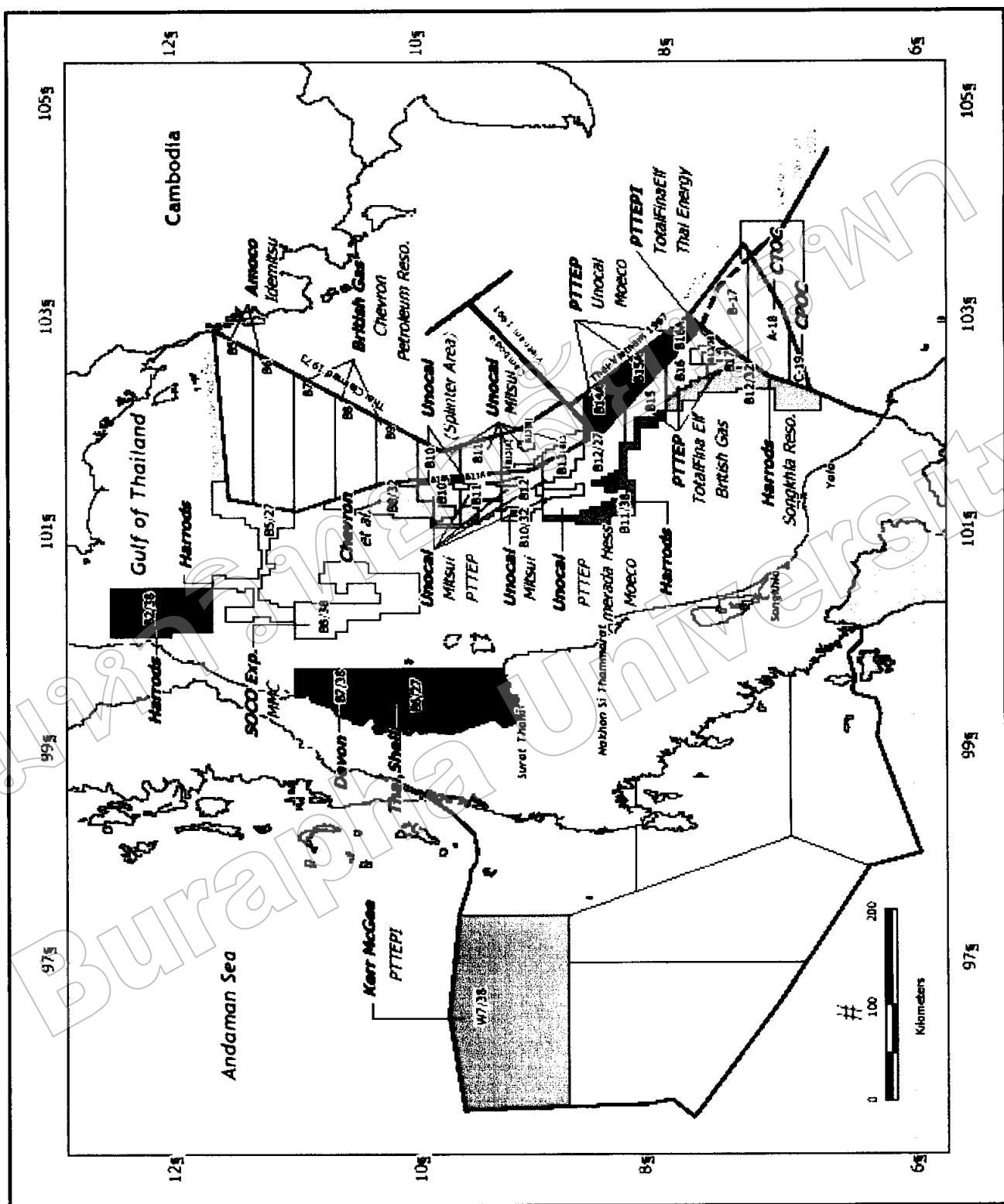


ภาพ 1-3

ภาพที่ 1 แท่นขุดเจาะน้ำมันกลางทะเล

ที่มา : ภาพ 1-1, 1-2 : http://www.iscomcomposite.bizhosting.com/DOPT_A1.html

ภาพ 1-3 : <http://www.dansk-teknologi.dk/proj1253.html>



ภาพที่ 2 พื้นที่สัมภาระในอ่าวไทย ที่มา : กรมทรัพยากรบุคคล (2544)

ตารางที่ 1 ปริมาณน้ำจากกระบวนการผลิตปีต่อเดือนปี 2543 (หน่วย บาร์เรลต่อวัน)

แหล่ง	ปริมาณน้ำ (Produced Water)
เอราวัณ	17,881*
บรรพต	311
จักรวาล	2,910
สตูลใต้	2,648
สตูล	11,254
ตราด	2,204
ปลาแเดง	3,394
ปลาทอง	3,810
กะพง	1,930
สุรษฎิ์	3
ปلامีก	19
พุนาน	12,588
จักรวาล	1,864
โภมินทร์	2,089
ไฟลิน	4,259
บางกช	13,865*
ท่านตะวัน	5,650
เบญจมาศ	1,409
รวม	56,342

* เท่านผลิตที่มีการอัดน้ำจากกระบวนการผลิตกลับลงหุ่น (Reinjection)

ที่มา : กรมทรัพยากรธรรมชาติ (2544)



ภาพที่ 3 ดัชนีความอ่อนไหวของทรัพยากรชายฝังต่อมลพิษจากน้ำมันบริเวณอ่าวศรีราชา

ที่มา : ส่วนแสลงน้ำทะเล กรมควบคุมมลพิษ (2545)

การขันส่งน้ำมันส่วนใหญ่จะถูกขนส่งทางน้ำโดยเรือบรรทุกน้ำมันขนาดใหญ่ (ภาพที่ 4) จากประเทศที่เป็นเจ้าของบ่อน้ำมันไปสู่ประเทศที่นำเข้าน้ำมัน ราคาน้ำมันซึ่งมีแนวโน้มเพิ่มสูงขึ้น เป็นเครื่องซึ่งให้เห็นว่าในทุกประเทศมีความต้องการน้ำมันเพิ่มสูงขึ้นดังแสดงในตารางที่ 2 ดังนั้นจึง ทำให้ปริมาณน้ำมันที่ต้องทำการขันส่งเพิ่มมากขึ้นตามไปด้วย ผลกระทบของน้ำมันต่อสิ่งแวดล้อม ส่วนใหญ่มักเกิดขึ้นจากการขันส่งน้ำมันทางน้ำ โดยเฉพาะในบริเวณอ่าวไทยตอนบน ได้มีอุบัติเหตุ เรื่องน้ำมันชนกันหลายครั้ง (ปีymศักดิ์ เมนะเศวต, 2543)

ตารางที่ 2 การขนส่งน้ำมันทางน้ำ

ปี พ.ศ.	น้ำมันดิน (ล้านตัน)	น้ำมันสำเร็จรูป (ล้านตัน)	รวม
2497	150	100	250
2503	300	150	450
2508	570	180	750
2513	1000	230	1230
2517	1400	270	1670

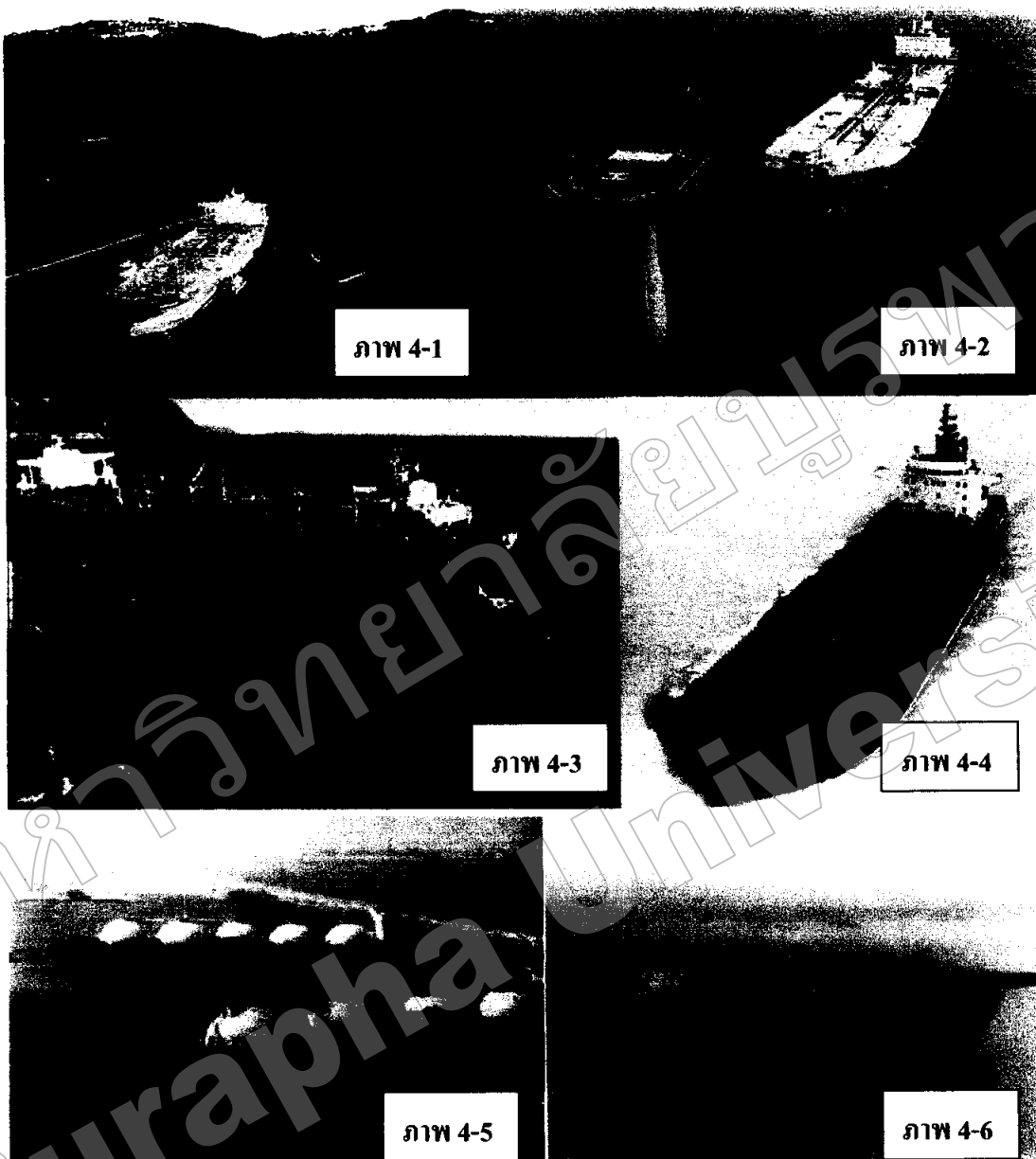
ที่มา : ส่วนแหล่งน้ำทะเล กรมควบคุมมลพิษ (2545)

อุบัติเหตุน้ำมันรั่วไหลเป็นอีกสาเหตุหนึ่งที่ส่งผลกระทบต่อคุณภาพสิ่งแวดล้อม โดยในรอบ 10 ปีที่ผ่านมา มีอุบัติเหตุน้ำมันรั่วไหลในทะเลเดลต์ 40 ครั้ง โดยเป็นการรั่วไหลครั้งใหญ่ๆ 4 ครั้ง ส่วนใหญ่มีสาเหตุมาจากการลอบขึ้นนำมันจากเรือ และจากการรั่วไหลในขณะทำการขุดถ่ายน้ำมัน อีกทั้งยังมีสาเหตุมาจากการเรือชนกันและอันปางลง (ภาพที่ 5) ทำให้มีน้ำมันรั่วไหลและมีผลต่อคุณภาพน้ำในบริเวณนั้น ส่งผลกระทบต่อสัตว์น้ำ การทำการประมง การเลี้ยงปลาในกระชัง และทำให้หัวศูนย์ภาพไม่น่ามอง (ส่วนแหล่งน้ำทะเล สำนักจัดการคุณภาพน้ำ กรมควบคุมมลพิษ, 2546)

ตารางที่ 3 สถิติการเกิดน้ำมันรั่วไหล ตั้งแต่ปี 2516 จนถึงปี 2545

ปี	จำนวนครั้งที่เกิดเหตุการณ์
2516 – 2530	11
2530 – 2540	33
2541	5
2542	19
2543	10
2544	8
2545	2

ที่มา : ส่วนแหล่งน้ำทะเล กรมควบคุมมลพิษ (2545)



ภาพที่ 4 เรื่องบรรทุกน้ำมันขนาดใหญ่

ที่มา :

ภาพ 4-1 : http://earthhopenetwork.net/oil_spill_exxon_valdez.jpg

ภาพ 4-2 : http://www.uyseg.org/industryanimated/photoindex/oil_tanker.htm

ภาพ 4-3 : <http://encyclopedia.laborlawtalk.com/wiki/images/2/2b/ExxonValdez.jpeg>

ภาพ 4-4 : http://www.kokonet.sc/info/seypride/media/seypride_intro.jpg

ภาพ 4-5 : <http://www.dailystar.com.lb/article.asp>

ภาพ 4-6 : <http://www.boatnerd.com/news/newpictures03b/doan-transport-app.-sun-oil.jpg>



ภาพที่ 5 อุบัติเหตุน้ำมันรั่วไหลจากเรือบรรทุกน้ำมันขนาดใหญ่
ที่มา :

ภาพ 5-1 : <http://www.epscodxb.com/webjpg02/oilspill.jpg>

ภาพ 5-2 : http://home.pacbell.net/tocho9/oilspill_split_side.jpg

ภาพ 5-3 : <http://www.commondreams.org/headlines01/images/1107-01.jpg>

ภาพ 5-4 : <http://ens-newswire.com/ens/pics16/oilspill.jpg>



ภาพที่ 6 เรือ Eastern Fortitude ที่เกิดอุบัติเหตุเมื่อวันที่ 15 มกราคม 2545

ที่มา : ส่วนแหล่งน้ำทะเล กรมความคุมคลพิษ (2545)



ภาพที่ 7 เรือ SKY ACE ที่ถูกชนและหุ่นกักทราบนำ้มันที่ล้อมรองตัวเรือ

ที่มา : ส่วนแหล่งน้ำทะเล กรมความคุมคลพิษ (2545)

ตารางที่ 4 สถิติการเกิดน้ำมันรั่วไหลสู่แหล่งน้ำธรรมชาติ ตั้งแต่ปี 2516 ถึง 2546

วัน เดือน ปี	ชนิดน้ำมัน	ปริมาณ	สถานที่เกิดเหตุ	สาเหตุ
10 เม.ย. 2516	ดีเซล, น้ำมันเตา	14,000	ปากแม่น้ำเจ้าพระยา	เรือบรรทุกน้ำมัน “วิสาหกิจ”
	เจพี 4	บาร์เรล		ชนกับเรือสินค้า “ตาลูก้า”
-- 2516	เจพี 4	ไม่ทราบ	ศรีราชา	เพลิงไหม้เรือบรรทุกน้ำมัน “จิตตะก้อง”
29 พ.ค. 2520	ไม่ทราบ	300 ตัน	ปากแม่น้ำเจ้าพระยา	เรือบรรทุกน้ำมัน “วชิร” ชนเรือสินค้า
16 เม.ย. 2521	ไม่ทราบ	ไม่ทราบ	ปากแม่น้ำเจ้าพระยา	เรือ “เดลต้าซิกเนอร์” เกยตื้น
-- 2522	น้ำมันเตา	300 ตัน	เกาะสีชัง	เพลิงไหม้เรือ “ชันฟลาย เวอร์”
13 พ.ย. 2528	น้ำมันเตา	ไม่ทราบ	แม่น้ำเจ้าพระยาบริเวณคลังสิรภาพุธทหารเรือบางนา	ไม่ทราบ
7 ก.พ. 2529	น้ำมันดิบ	ไม่ทราบ	ชายหาดแหลมฉบัง	ไม่ทราบ
6 มี.ค. 2529	น้ำมันเตา	ไม่ทราบ	แม่น้ำเจ้าพระยาบริเวณช่องนนทรี	ไม่ทราบ
20 ก.ย. 2529	น้ำมันเตา	ไม่ทราบ	ชายหาดพัทยา	ไม่ทราบ
22 ก.ย. 2530	น้ำมันเตา	1,000 ลิตร	แม่น้ำเจ้าพระยา บริเวณท่าเรือ ปตท.บางจาก	ท่อส่งน้ำมันรั่ว
25 ธ.ค. 2530	น้ำมันเตา	ไม่ทราบ	ปากแม่น้ำเจ้าพระยา	ไม่ทราบ
8 ก.ค. 2531	น้ำมันเตา	10 ตัน	แม่น้ำเจ้าพระยา บริเวณพระประแดง	เรือบรรทุกสารเคมี สินค้า “Shintaku” ชนกับเรือสินค้า “Huan-Jiang”
29 ม.ค. 2533	น้ำมันเตา	ไม่ทราบ	ปากแม่น้ำเจ้าพระยา	เรือสินค้า “Ever Breeze” ชนกับเรือสินค้า “Pegasus Progress”
6 มี.ค. 2533	น้ำมันดิเซล	7,000 ลิตร	แม่น้ำเจ้าพระยา บริเวณท่าเรือ บ.เอสโซ่ช่องนนทรี	น้ำมันถังขยะสูบถ่ายลงเรือ “โชคอนันต์ชุมพร”

ตารางที่ 4 (ต่อ)

วัน เดือน ปี	ชนิดน้ำมัน	ปริมาณ	สถานที่เกิดเหตุ	สาเหตุ
31 ก.ค. 2534	น้ำมันจากห้อง เรือ	ไม่ทราบ	แม่น้ำเจ้าพระยา บริเวณ ท่าเรือหมายเลข 14 (บางนา)	เรือ "Viger Victory" สูบ น้ำมันห้องเรือทิ้ง
4 ส.ค. 2534	น้ำมันเตา	ไม่ทราบ	แม่น้ำเจ้าพระยา บริเวณ ท่าเรือ บ.บางจากปีโตรเลียม	น้ำมันล้นถังขณะสูบถ่ายลง เรือ "ณัฐนารี"
14 ม.ค. 2535	น้ำมันเชื้อเพลิง สารเคมี VCM	1,000 ลิตร	บริเวณท่าไฟที่ 25-27	เรือนవุฒ 4 เกษร่องน้ำ
20 มี.ค. 2535	น้ำมัน BASE OIL	ไม่ทราบ	ท่าเทียนเรือ 24A ช่องนนทรี	ท่องน้ำถ่ายชำรุด
9 เม.ย. 2535	น้ำมันเตา	ไม่ทราบ	แม่น้ำเจ้าพระยาตั้งแต่สะพาน กรุงเทพฯ 2 ถึงถนนตอก	ไม่ทราบ
25 เม.ย. 2535	น้ำมันเตา	10,000 ลิตร	แม่น้ำเจ้าพระยานริเวณปาก คลองลัดหลวง	เรือ "ณัฐพรนารี 8" จม
19 ก.ค. 2535	น้ำมันจากห้อง เรือ	4 ตัน	อยู่เรือวังเจ้า	ไปเบรรุกน้ำมันของอยู่เกิด การເສີຍ ทำให้น้ำมันไหล ออกจากรีส
3 ก.พ. 2536	น้ำมันเครื่อง และน้ำมันห้อง เรือ	ไม่ทราบ	ช่องสะพานสาธรถึงสะพาน พุทธ	ลักษณะปล่อยทิ้งจากเรือ
12 ก.พ. 2536	น้ำมันเตา	200 ลิตร	หน้าท่อของ บ.เซลล์ ช่อง นนทรี	เรือรับน้ำมันเตาโคลงขณะ สูบรับน้ำมันเตา
4 มี.ค. 2536	น้ำมันเตา	-	หน้าท่อของธนาคารกรุงไทย	ไม่ทราบ
31 ส.ค. 2536	น้ำมันเตา	200-300 ลิตร	หน้าท่า 27A องค์การ คลังสินค้า	น้ำมันล้นถังขณะถ่ายจาก เรือรัฐพรนารี 6 ลงเรือ ไต้หวันชื่อ WIN SHUEN
				SHING
13 ต.ค. 2536	น้ำมันเครื่อง	ไม่ทราบ	หน้าสถานีตำรวจนครบาล บางคอมเหลม	การลักลอบทิ้ง

ตารางที่ 4 (ต่อ)

วัน เดือน ปี	ชนิดน้ำมัน	ปริมาณ	สถานที่เกิดเหตุ	สาเหตุ
13 พ.ย. 2536	น้ำมันเตา	600 ลิตร	ปากคลองลัดหลวง อ.พระประแดง จ.สมุทรปราการ	วาล์วโซคของหม้อต้มไอน้ำหลุดทำให้น้ำมันเตาที่ใช้เป็นเชื้อเพลิงรั่วไหลผ่านท่อน้ำทึบลงสู่คลอง (จากกิจกรรมฟอกผ้าปืนส์ของบริษัทพระประแดงการฟอกจำกัด)
8 ธ.ค. 2536	น้ำมันจากท้องเรือ	ไม่ทราบ	แม่น้ำเจ้าพระยา บริเวณท่าเรือหมายเลข 40	ลักษณะปล่อยทิ้งจากเรือ
26 ก.พ. 2536	น้ำมันจากท้องเรือ	ไม่ทราบ	บริเวณหาดราไวย์ เกาะโหلون จ.ภูเก็ต	การลักลอบทิ้งน้ำมันท้องเรือ
6 มี.ค. 2537	น้ำมันดีเซล	4 แสนลิตร	เกาะสีชัง จ.ชลบุรี	เรื่องบรรทุกน้ำมันวิสาหกิจ 5 ถูกเรื่องบรรทุกสินค้าของปานามาชน
24 มี.ค. 2537	น้ำมันเตาโซล่า	3,000 ลิตร	เกาะลิบีปะ จ.สตูล	เอกสารงานปลากับกิจการโซลาร์และจมลง
19 เม.ย. 2537	น้ำมันเครื่อง	300 ลิตร	แม่น้ำเจ้าพระยา	การลักลอบปล่อยทิ้ง
3 เม.ย. 2538	ไม่ทราบ	ไม่ทราบ	จ.ระยอง	คาดว่าเป็นการลักลอบทิ้งน้ำมันเครื่องที่ใช้แล้วจากเรือเดินทะเล
12 เม.ย. 2538	น้ำมันเตา	500 ลิตร	แม่น้ำบางปะกง จ.ฉะเชิงเทรา	เรือสำราญ 2 ไม่ได้ปิดวาล์วในช่องที่ 4 ในการบนถ่ายน้ำมันทำให้น้ำมันไหลกลับมาที่เรือและลื้นดัง
14 เม.ย. 2538	ไม่ทราบ	ไม่ทราบ	หาดจอมเทียน จ.ชลบุรี	ไม่ทราบ
30 มิ.ย. 2538	น้ำมันโซล่า	400 ลิตร	ลำคลอง ต.นางขันเตก อ.เมือง จ.สมุทรสงคราม	ไม่ทราบ
25 ก.ค. 2538	น้ำมันปาล์ม	200 ลิตร	แหลมพรหมเทพ จ.ภูเก็ต	เรือ SUNHINE 1 สัญชาติปานามาจมน้ำมันแรงกลึงน้ำ

ตารางที่ 4 (ต่อ)

วัน เดือน ปี	ชนิดน้ำมัน	ปริมาณ	สถานที่เกิดเหตุ	สาเหตุ
15 ธ.ค. 2538	น้ำมันเตา	300 ลิตร	คลองตาขู จ.ระยอง	เกิดการรั่วไหลระหว่างการถ่ายถังกักเก็บน้ำมันของบริษัททุนเท็กซ์ปีโตรเลียม
13 ม.ค. 2539	ก้อนน้ำมัน	-	หาดแสงจันทร์ จ.ระยอง	คาดว่าเกิดจากการทิ้งน้ำมันถูกดึงจากห้องเรือ
16 ม.ค. 2539	น้ำมันเตา	-	ปากแม่น้ำเจ้าพระยาทุ่นที่ 27 จ.สมุทรปราการ	เรือนน้ำหมูนิชนกันเรือ Kapitanshvetsov
30 ต.ค. 2539	น้ำมันดิบ	160,000 ลิตร	สถานีส่งน้ำมันดิบบริเวณนอกชายฝั่ง จ.ระยอง	เกิดการรั่วไหลระหว่างการขนถ่ายน้ำมันดิบจากเรือ ONCE สู่สถานีรับน้ำมันดิบของ บ.สตาร์ปีโตรเลียม ริไฟน์นิ่ง จำกัด
19 ธ.ค. 2539	ไม่ทราบ	ไม่ทราบ	ท่าเรือน้ำลึก จ.ภูเก็ต	เรือซีทรานปวินเซสเกิดเพลิงไหม้ และจมลง
4 พ.ค. 2540	น้ำมันเตา	7,000 ลิตร	ไกลส์ເກາະພີພີ จ.กระเบี่ยง	เรือคิงส์ครุยเซอร์ชันพินໄສໂຄຮອນປາງ
5 พ.ย. 2540	น้ำมันดิบ	4,000 ลิตร	ไกลส์สถานีส่งน้ำมันดิบบริเวณนอกชายฝั่ง จ.ระยอง	ไม่ทราบสาเหตุของการรั่วไหล
	IRANIAN LIGHT, MASILA	50 บาร์เรล		
8 ม.ค. 2541	ไม่ทราบ	ไม่ทราบ	นอกฝั่งไกลส์ท่าเรือ บ.อุตสาหกรรม ปีโตรเคมีกัลไทย จำกัด	ไม่ทราบ
11 ก.ค. 2541	น้ำมันเตา	3,000 ลิตร	คลองบางป่ากุด จ.สมุทรปราการ	ขาวางถังน้ำมันของ บ.พีวีเจอร์เทก หักทำให้ถังอ่อนและน้ำมันรั่วไหลลงสู่คลอง
11 ส.ค. 2541	น้ำมันเตา	100 ลิตร	แม่น้ำเจ้าพระยา บริเวณท่าเรือหมายเลข 45 กรุงเทพฯ	ลักษณะปล่อบทิ้งจากเรือ

ตารางที่ 4 (ต่อ)

วัน เดือน ปี	ชนิดน้ำมัน	ปริมาณ	สถานที่เกิดเหตุ	สาเหตุ
13 ส.ค. 2541	น้ำมันเตา	250 ลิตร	แม่น้ำเจ้าพระยาบริเวณปากคลองลัดหลวงฯ.	ร่วงหลอกงานประเคนการฟอกสมุทรปราการ
18 ธ.ค. 2541	น้ำมันหล่อลื่น	ไม่ทราบ	อ่าวอุดม อ.ศรีราชา จ.ชลบุรี	ลักลอบปล่อยทิ้งจากเรือ
13 ก.พ. 2542	ไม่ทราบ	ไม่ทราบ	อ.สัตหีบ จ.ชลบุรี 30 ไมล์ทางใต้ของเกาะจ่วง	ปล่อยทิ้งจากเรือ
17 มี.ค. 2542	น้ำมันดีเซลหมุนเร็ว	-	บริเวณอกซ้ายฝั่งระหว่าง อ. หัวไทร จ.นครศรีธรรมราช และ อ.ระโนด จ.สงขลา	เกิดเพลิงไหม้หน้าเครื่อง
23 มี.ค. 2542	น้ำทึบปนน้ำมัน	ประมาณ 500 ลิตร	บริเวณท่าเทียบเรือศรีราชาฯ เมอร์ อ.ศรีราชา จ.ชลบุรี	ลักลอบปล่อยทิ้งจากเรือ สัญชาติมอลตาชื่อ “TAL”
26 มี.ค. 2542	น้ำมันดีเซล	2,000 ลิตร	ท่าเรืออ่าวฉล่อง อ.เมือง จ.ภูเก็ต ห่างจากชายฝั่งประมาณ 1 ไมล์	เรือยอร์ชแคทาริน่าเกิดเพลิงไหม้และจมน้ำ
1 เม.ย. 2542	น้ำมันเตา	ประมาณ 1 ตัน	บริเวณจุดจอดเรือทางตอนเหนือของเกาะสีชัง จ.ชลบุรี	ลักลอบปล่อยทิ้งจากเรือ สัญชาติเวียดนามชื่อ “SONG THONG”
21 เม.ย. 2542	น้ำมันเตา	ประมาณ 200 ลิตร	บริเวณจุดจอดเรือใกล้เกาะสีชัง จ.ชลบุรี	ลักลอบปล่อยทิ้งจากเรือชื่อ จุฑารัตน์ยักษ์ (พบ.โดยการบินตรวจสอบด้านมลพิษทางน้ำของกรมเจ้าท่า)
27 เม.ย. 2542	น้ำมันดีบ	ประมาณ 2 ตัน	บริเวณท่าเทียบเรือบริษัท อุตสาหกรรมปีโตรเคมีกัลไทยจำกัด จ.ระยอง	เกิดข้อผิดพลาดในการสูบถ่ายน้ำมันระหว่างเรือ “อรพิน โกรนัล” กับท่าเทียบเรือ
11 พ.ค. 2542	น้ำมันดีบ (มีถังขณะเป็นก้อนน้ำมันดิน)	ไม่ทราบ	บริเวณหาดดวงเดือนและหาดทรายแก้ว	สันนิษฐานว่าเกิดจากการถังระหว่างของเรือบรรทุกน้ำมัน

ตารางที่ 4 (ต่อ)

วัน เดือน ปี	ชนิดน้ำมัน	ปริมาณ	สถานที่เกิดเหตุ	สาเหตุ
2 มิ.ย. 2542	น้ำมันเตา	ประมาณ 200 ลิตร	แม่น้ำเจ้าพระยา บริเวณวัดครุ นอกร. พระประแดง จ. สมุทรปราการ	รั่วไอลจากเรือบรรทุกน้ำมัน ชื่อวิกรม เนื่องจากสภาพเรือ เก่าทำให้น้ำเข้าได้ท้องเรือ และผู้ดูแลเรือ疏忽 นำออกไม่ ทัน
6 ก.ค. 2542	ไม่ทราบ	ไม่ทราบ	บริเวณเกาะสีชัง อ.เกาะสีชัง [*] จ.ชลบุรี	พบอยู่ข้างเรือบรรทุกสินค้า สัญชาติอิโโคนีเชีย ชื่อ GEMA LESTARI
10 ก.ย. 2542	น้ำมันเตา	ไม่ทราบ	แม่น้ำเจ้าพระยา บริเวณ ท่าเรือหมายเลข 4 A ของ บริษัท เช็นทรัลเคมี จำกัด จ. สมุทรปราการ	ทราบน้ำมันบนเปื้อนมาบิน ปุยที่บรรทุกมาจากเกาะสีชัง
13 ก.ย. 2542	น้ำมันเบนซิน	ไม่ทราบ	บริเวณเกาะสีชัง อ.เกาะสีชัง [*] จ.ชลบุรี	อุบัติเหตุเพลิงไหม้เรือบรรทุก สินค้าชื่อจันโน้
14 ก.ย. 2542	น้ำมันเตา	ไม่ทราบ	บริเวณอ่าวอุดม อ.ศรีราชา จ. ชลบุรี	ลักษณะปล่อยทิ้ง
19 ก.ย. 2542	น้ำมันดีเซล น้ำมันเบนซิน	ประมาณ 200 ลิตร	แม่น้ำเจ้าพระยา บริเวณแพ [*] ขนาดยนต์ อ.พระประแดง จ. สมุทรปราการ	อุบัติเหตุเรือบรรทุกน้ำมัน CP32 ชนกับแพขนาดยนต์ ชื่อ นาวาสมุทร
12 ต.ค. 2542	ไม่ทราบ	ไม่ทราบ	แม่น้ำเจ้าพระยานริเวณหลัก [*] ผูกเรือบางหัวเสือ	ลักษณะปล่อยทิ้ง
25 พ.ย. 2542	น้ำมันเตา	ไม่ทราบ	บริเวณอ่าวอุดม อ.ศรีราชา จ. ชลบุรี	ลักษณะปล่อยทิ้ง
21 ธ.ค. 2542	น้ำมันเตา	ประมาณ 400 ลิตร	แม่น้ำเจ้าพระยา บริเวณ ท่าเรือหมายเลข 20 F คลองเตย กรุงเทพฯ	เกิดจากความบกพร่องของ คนประจำเรือและอุปกรณ์ใน ห้องเครื่องจากเรือบรรทุก สินค้าชื่อ UNI-CONCERT สัญชาติได้หวัน

ตารางที่ 4 (ต่อ)

วัน เดือน ปี	ชนิดน้ำมัน	ปริมาณ	สถานที่เกิดเหตุ	สาเหตุ
23 ธ.ค. 2542	น้ำมันหล่อลื่น	ประมาณ 400 ลิตร	แม่น้ำเจ้าพระยา บริเวณท่าเรือหมายเลข 22 F คลองเตย กรุงเทพฯ	เกิดจากความบกพร่องของคนประจำเรือจากเรือบรรทุกสินค้าสัญชาติเกาหลีชื่อ “DUCHESS”
26 ธ.ค. 2542	น้ำท้องเรือ	ไม่ทราบ	บริเวณท่าเทียนเรือบริษัท อุตสาหกรรมปิโตรเคมีกัลไทยจำกัด (มหาชน) จ.ระยอง	ปล่อยน้ำทึบจากเรือบรรทุกน้ำมันชื่อ “TOPAZ”
18 ม.ค. 2543	น้ำมันดินสักยະเป็น ก้อนน้ำมัน	2,000 ลิตร	หาดพีอิมเมจ หาดแสงจันทร์ จ.ระยอง	ไม่ทราบ
31 พ.ค. 2543	น้ำมันหล่อลื่นที่ใช้แล้ว	200 ลิตร	แม่น้ำเจ้าพระยาบริเวณท่าเรือกรุงเทพฯ	ไป่เหล็กที่ภายนบน้ำรู นำมันหล่อลื่นที่ใช้แล้วชำระ การลักลอบปล่อยทิ้งจากเรือ
1 ส.ค. 2543	น้ำมันดินสักยະเป็น ก้อนน้ำมันดิน	ไม่ทราบ	หาดกะรน หาดป่าตอง หาดในยาง จ.ภูเก็ต	การลักลอบปล่อยทิ้งจากเรือ
8 ส.ค. 2543	น้ำมันหล่อลื่นที่ใช้แล้ว	ไม่ทราบ	แม่น้ำเจ้าพระยาบริเวณบริษัท สมุทรค้าข้าวหน้าท่าหมายเลข 45	ปั๊มน้ำบาดาลในห้องเครื่องเรือบรรทุกสินค้า “แสงไทยวินส์” ขัดข้อง
3 ก.ย. 2543	น้ำมันคอนดอน เสท	300 ลิตร	บริเวณท่าที่ทิ้งของนิคม อุตสาหกรรม จ.ระยอง	อุบัติเหตุ over flow ของเรือ Belgreeting สูบถ่ายนำมัน Discharge
14 ก.ย. 2543	น้ำมันดีเซล	200 – 2,000 ตัน	บริเวณนอกฝั่ง จ.ชลบุรี	เรือบรรทุกสินค้าชื่อ “Heron” ชนเรือบรรทุกนำมัน “Playboy 3”
- ต.ค. 2543	น้ำมันหล่อลื่นที่ใช้แล้ว	200 ลิตร	แม่น้ำเจ้าพระยาบริเวณบริษัท ชลบุรีพาราฟิชจำากัด	กิจกรรมจากแพนกซ์อนเครื่องยนต์

ตารางที่ 4 (ต่อ)

วัน เดือน ปี	ชนิดน้ำมัน	ปริมาณ	สถานที่เกิดเหตุ	สาเหตุ
29 ต.ค. 2543	น้ำมันหล่อลื่น	ไม่ทราบ	บริเวณการท่าเรือแห่งประเทศไทยไทยถึงท่าเรือ สรรพาญาณ บางนา	ไม่ทราบ
21 พ.ย. 2543	น้ำมันเตา	1,000 ลิตร	บริเวณท่าเรือหมายเลข 13 พระประแดง จ. สมุทรปราการ	เรือนบรรทุกน้ำมัน “วิกรม” จน
20 ธ.ค. 2543	น้ำมันดีเซล	ไม่ทราบ	บริเวณหน้าท่าเข้มเรือ บริษัทอุดสาหกรรมปีโตรเคมี กัลไธจักร (มหาชน) จ. ระยอง	ไม่ทราบ
1 ม.ค. 2544	น้ำมันเตา และ ปูยแอม โนเนียม ในเครท	ไม่ทราบ	ท่าเทียบเรือบริษัท อุดสาหกรรมปีโตรเคมีกัล ไธจักร จ.ระยอง	เรือจม
12 ม.ค. 2544	น้ำมันเตา	800 ลิตร	แม่น้ำเจ้าพระยา บริเวณอู่รื้อ กรุงเทพฯ	ไม่ทราบ แต่สันนิฐานว่าเกิด จากการลักลอบปล่อย
3 มี.ค. 2544	น้ำมันเตา	500 ลิตร	คลองแสนแสบหลังโรงเรມอ มารีเอเกรย์ม กรุงเทพฯ	เกิดจากความบกพร่องของ เจ้าหน้าที่ทำให้น้ำมันเตาล้น ถัง
27 มี.ค. 2544	น้ำมันดีบ	5,000 ลิตร	ท่าเทียบเรือบริษัท อุดสาหกรรมปีโตรเคมีกัล ไธจักร (พนก้อนน้ำมันดิน) กระจาอยู่ทั่วไปบริเวณหาด แสงจันทร์, พีอีม瓦าย, เม ร์พิง จนสุดบ้านกันอ่าว	ร้าวไหลขณะสูบน้ำมันดีบ จากเรือบรรทุกน้ำมันสัญชาติ Malts ชื่อ Ninemia เนื่องจาก ข้อมูลพรองของตัวเรือ
26 เม.ย. 2544	น้ำมันไฮดรอลิก	ไม่พบ	แม่น้ำเจ้าพระยา บริเวณหน้า ท่าหมายเลข 33	ลักลอบปล่อยทิ้ง

ตารางที่ 4 (ต่อ)

วัน เดือน ปี	ชนิดน้ำมัน	ปริมาณ	สถานที่เกิดเหตุ	สาเหตุ
17 พ.ค. 2544	น้ำมันที่ผ่านการใช้งานแล้ว (น้ำมันเครื่อง)	ไม่ทราบ	ปลายแหลมพันวา จ.ภูเก็ต	ไม่ทราบ
22 พ.ค. 2544	น้ำมันดิบ (Kuwait Crude Oil)	30,000 ลิตร	ทุ่นรับน้ำมันดิบกลางทะเลของบริษัทอักษะฯ ไฟฟ์นิ่งจำกัด (ARC)	เครื่องต่อเชื่อมท่อส่งน้ำมันซึ่งติดอยู่กับที่นาด 16 น้ำชาขณะเรือบรรทุกน้ำมันปานามาชื่อ "Tokachi" ทำการสูบน้ำมันถังกล่องปล่อยหักลงในคลื่นกระแทกแรง
17 ส.ค. 2544	ก้อนน้ำมัน	ไม่ทราบ	บริเวณหาดไม้ข้าว จ.ภูเก็ต	ถูกน้ำท่วมด้วยน้ำที่หล่นลงมาจากเรือ
15 ม.ค. 2545	น้ำมันเตา	243 ตัน	นอกฝั่ง อ.สัตหีบ จ.ชลบุรี	เรือ Eastern Fortune ชนิดเรือ
17 ธ.ค. 2545	น้ำมันที่ใช้การในครื่องจักร	20 ตัน	ใกล้บริเวณทางเข้าท่าเรือแม่กลองด้านค้านได้แกะสีช้าง จ.ชลบุรี	เรือ Kota wijaya โคนกับเรือ Sky Ace
18 ก.พ. 2546	คราบน้ำมันสีดำ (Tarbal)	1 ตัน	หาดน้ำเม้า จ.ชุมพร	คาดว่าเกิดจากการลักลอบปล่อยทิ้งน้ำมันจากเรือ
17 พ.ค. 2547	-	-	หาดแม่รำพึง จ.ระยอง	ไม่ทราบสาเหตุ
26 พ.ค. 2547	น้ำมันเตา	567,300 ลิตร	เกาะครรอก จ.ชลบุรี	เรือ Dragon 1 ชนิดเรือโซโคร์

ที่มา: ส่วนแหล่งน้ำทะเล สำนักจัดการคุณภาพน้ำ กรมควบคุมมลพิษ (2545)

นอกจากนี้ໜ້າມັນທີ່ແລ້ວຈາກການໃຊ້ງານໃນກິຈกรรมຕ່າງໆ ຍັງຈັດເປັນສິ່ງປະລຸງປະນິດທີ່ໄດ້
ສາມາດນຳອັນຕຽມມາສູ່ນຸ່ມຍື່ນແລ້ວສິ່ງນີ້ຈະເປົ້າຢູ່ໃນນ້ຳໄດ້ ໂດຍເພັະບຣີວັນທີມີປະກຣາຄາສັຍ
ອູ່ຫານແນ່ນແລ້ວມີໂຮງຈານອຸດສາຫກຮມຕ່າງໆ ມາກ ຍ່ອມມີການໃຊ້ໜ້າມັນໃນກິຈกรรมຕ່າງໆ
ໃນປະມາດນີ້ ພັດກະທບນຂອງໜ້າມັນທີ່ແລ້ວຈາກການໃຊ້ຈຶ່ງມີນາກດ້ວຍ ກິຈกรรมການໃຊ້ໜ້າມັນຂອງ
ນຸ່ມຍື່ນສາມາດເປັນສາເຫຼຸ້ມໃຫ້ເກີດການຮ້ວ່າໄລຍຂອງໜ້າມັນຄູ່ທະເລໄດ້ໃນຫລາຍຮູບແບບດ້ວຍກັນທັ້ງ
ສາເຫຼຸ້ມທີ່ຈົງໃຈແລ້ວ ເຊັ່ນການບຸດເຈະຫາແຫລ່ງໜ້າມັນ ການລ້າງເຮືອບຮຸກໜ້າມັນ ການຖິ່ນນ້ຳ
ຫລ່ອຍເຍື່ນທີ່ມີໜ້າມັນຍູ້ ການອັນປາງຂອງເຮືອໜ້າມັນ (ເປັນສັກຄົມ ເມນະເສວຕ, 2543) ອັກທີ່ໃນກວະຫຼວກ
ຂອງແຫລ່ງທີ່ໜຸ່ມຈະເມື່ອງຫານແນ່ນແລ້ວມີການຄມນາຄມກັບຄໍ່ຂັງມີສ່ວນ ໃນການເພີ່ມປະມາດການ
ແພວກະຈາຍຂອງປີໂຕຮັດເລີຍໄສໂຄຣກັນໂນລົງສູ່ແຫລ່ງໜ້າກ່າວ່າງໜຶ່ງດ້ວຍ ໂດຍເກີດຈາກການເພາໄໝໜ້າ
ໜ້າມັນເຊື້ອເພີ່ມຂອງເຄື່ອງຍົນຕໍ່ຈົ່ງປ່ອລ່ອຍໄສໂຄຣກັນໂນອົກສູ່ບໍ່ຮາກາສແລ້ວສູ່ກະລັງໂດຍຝັ້ນຫຼື
ອາຫຼກລົງນາເອງ (fall out) ລົງສູ່ແຫລ່ງໜ້າໃນທີ່ສຸດ (ເກີນີ້ ສරວານີ້, 2534)

ການຮ້ວ່າໄລຍຂອງໜ້າມັນລົງສູ່ແຫລ່ງໜ້າດ້ວຍວິທີການຕ່າງໆ ໜ້າມັນບາງສ່ວນຈະລະລາຍນ້ຳແລະເກີດ
ກາຮະສມໃນສິ່ງນີ້ຈະເປົ້າຢູ່ໃນບຣີວັນທີມີການປັນເປົ້ອນນັ້ນ ແຕ່ສ່ວນໄຫຍ່ຈະເກະຕົດກັບຕະກອນ
ແຂວນລອຍແລະຕົກສະສມອູ້ໃນຕະກອນເບື້ອງດ່າງ ໂດຍທີ່ໄປນ້າທະເລໜາຍຝ່າງຂອງອ່າວິໄທຍະມີການ
ປັນເປົ້ອນຂອງປີໂຕຮັດເລີຍໄສໂຄຣກັນໂນໃນປະມາດທີ່ສູງກວ່ານ້າທະເລດ້ານໜາຍຝ່າງອັນດາມັນ ສ່ວນການ
ປັນເປົ້ອນຂອງສາງປີໂຕຮັດເລີຍໄສໂຄຣກັນໂນໃນນ້າທະເລທີ່ອູ້ໄກລົງອອກໄປພົບວ່າມີຄ່າຕໍ່ກວ່ານ້າທະເລ
ໜາຍຝ່າງ ແລະນ້າທະເລບົວຮີວັນປາກແມ່ນໜ້າຈະກ່າວ່າປັນເປົ້ອນສູງທີ່ສຸດ ແສດໄທ້ເຫັນວ່າແຫລ່ງທີ່ນ້າງຂອງ
ໜ້າມັນທີ່ປັນເປົ້ອນໃນແຫລ່ງໜ້າຫລັກນ້ຳຈະເປັນນ້ຳທີ່ຈາກກິຈกรรมນັ້ນຝ່າຍ (ກາພທ 8) ໂດຍເພັະບຣີວັນທີ່
ຈາກໂຮງຈານອຸດສາຫກຮມ ແລະການໃຊ້ເຮືອສັງຈະໄປນາໃນບຣີວັນປາກແມ່ນໜ້າ (ມນຸວັດ ທັກສພຖານີ,
2546)

ສາເຫຼຸ້ມທີ່ທໍາໄຫ້ເກີດການປັນເປົ້ອນຂອງປີໂຕຮັດເລີຍໄສໂຄຣກັນໂນແຫລ່ງໜ້າ
ອັນເນື່ອງນາງຈາກກິຈกรรมຕ່າງໆ ສາມາດສຽບປະຕິເດັ່ນນີ້ (ເກີນີ້ ສරວານີ້, 2534)

1. ຈາກການສ່ວນໂດຍເຮືອບຮຸກໜ້າມັນຫຸ້ນໜີ້ມີໂຄກສະສູງເສີ່ນໜ້າມັນໃນຮະຫວ່າງຂນດ່າຍ
2. ຈາກອຸບັດເຫຼຸ້ມເຮືອບຮຸກໜ້າມັນນັ້ນກັນ ຢີ້ອັນປາງລົງ ຮວນທັງການຮ້ວ່າໄລຍຂອງດັ່ງໜ້າມັນ
3. ການປົງປັດການອົກໜາຍຝ່າງ ເຊັ່ນ ການບຸດເຈະໜ້າມັນຫຸ້ນໜີ້ກໍ່າຊະນະຈາຕີ ການແຕກຫົວໜ້າກົດ
ຂອງທ່ອສ່ວນໜ້າມັນໄດ້ທະເລ
4. ຈາກໂຮກດັ່ງໜ້າມັນ ນ້ຳທີ່ຈາກໂຮກດັ່ງໜ້າມັນຫຸ້ນໜີ້ມີຄຣາບໜ້າມັນບາງສ່ວນປັນຍູ້ ຢີ້ກຣົມື້ຄັ້ງ
ໜ້າມັນສໍາຮອງນັບກົບບຣີວັນທະຍົ່ງເຝຶກການຈໍາຮຸດ ຢີ້ເກີດອຸບັດເຫຼຸ້ມທໍາໄຫ້ໜ້າມັນຮ້ວ່າໄລຍຂອງມາ
5. ຈາກການລ້າງທຳກວາມສະອາດດັ່ງໜ້າມັນ
6. ນ້ຳທີ່ຈາກໂຮງຈານອຸດສາຫກຮມທີ່ຕ້ອງຍູ່ບໍ່ບຣີວັນອົກໜາຍຝ່າງ

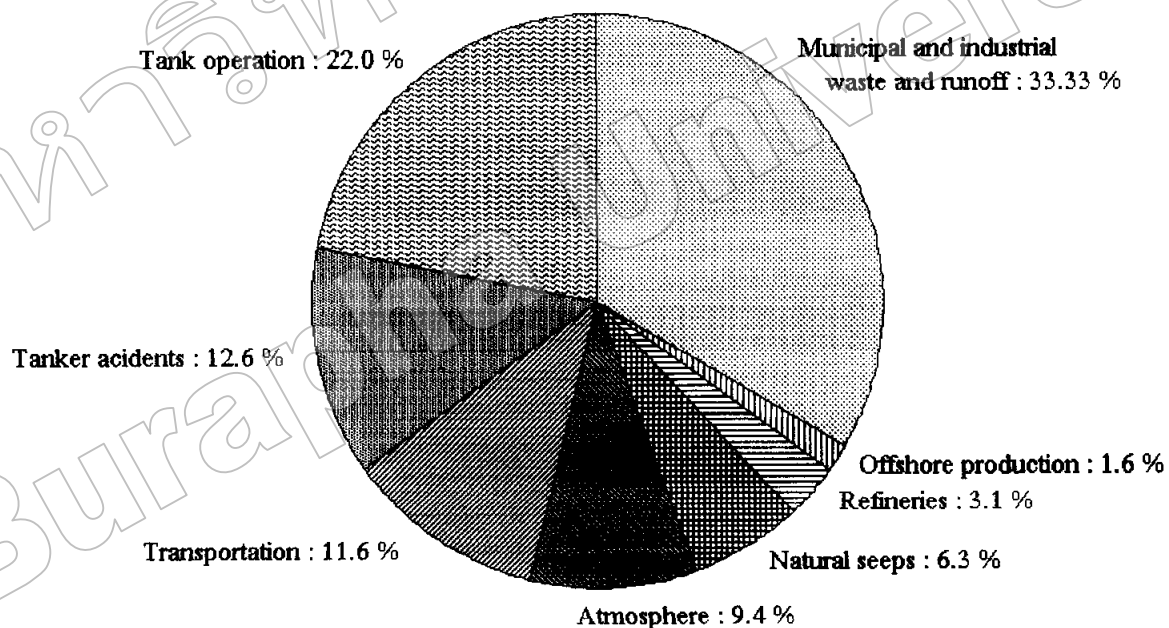
ຫຼັກ.

ຮັດຕະບູນ

ຮັດຕະບູນ

7. น้ำทิ้งจากชุมชน รวมทั้งการชะล้างคราบน้ำมันบนถนนทางในเขตเมือง
8. จากบรรยายกาศ
9. จากกระบวนการซึมผ่านตามธรรมชาติ (seepage)

มีการศึกษาพบว่า ไฮโดรคาร์บอนที่ปราศจากน้ำในสิ่งแวดล้อมนอกจากจะมีสาเหตุมาจากการรั่วของมนุษย์ดังกล่าวแล้ว ยังสามารถเกิดขึ้นได้โดยกระบวนการตามธรรมชาติด้วย เช่น จากการสั่งเคราะห์ของสิ่งมีชีวิตต่างๆ ออาทิ เช่น แบคทีเรียและแพลงก์ตอนพืชบางชนิดสามารถสั่งเคราะห์อัลเคนที่มีจำนวนอะตอมครึ่งหนึ่งเป็น C_{15} , C_{17} , C_{19} , C_{21} ได้ หรือการสั่งเคราะห์อัลเคนในกลุ่ม C_{25} , C_{27} , C_{29} , C_{31} ของพืชบกจำพวก marsh grasses เป็นต้น นอกจากนี้ยังพบว่า จุลชีพที่อยู่ใต้ทะเลและพืชบางชนิดยังสามารถสั่งเคราะห์สารพากจะถูกไฮโดรคาร์บอนน้ำบางตัวได้อีกด้วย (เกรศินี สรรวานิช, 2534)



ภาพที่ 8 สัดส่วนของปริมาณปิโตรเลียมไฮโดรคาร์บอนจากแหล่งต่างๆ ที่ลงสู่ทะเล
ที่มา : เกรศินี สรรวานิช (2534)

ตารางที่ 5 แสดงปริมาณปีโตรเลียมไฮโดรคาร์บอนที่ลงสู่ทะเลและมหาสมุทร (ล้านเมตริกตันต่อปี)

แหล่งกำเนิด	ปีโตรเลียมไฮโดรคาร์บอน	ค่าเฉลี่ย
แหล่งกำเนิดจากธรรมชาติ		
- การซึมผ่านตามธรรมชาติ	0.02 - 2.0	0.2
- การพังทลายของชั้นดิน	0.005 – 0.5	0.05
- (ปริมาณรวม)	(0.025 – 2.5)	(0.25)
การปฏิบัติการนอกชายฝั่ง	0.04 – 0.05	0.05
การคมนาคมและการขนส่งทางเรือ		
- การขนส่งน้ำมัน	0.4 – 1.5	0.7
- กิจการอยู่รือ	0.02 – 0.05	0.03
- ท่าเทียบเรือ	0.01 – 0.03	0.02
- นำมันจากห้องเรือ	0.2 – 0.6	0.6
- อุบัติเหตุจากเรือบรรทุกน้ำมัน	0.3 – 0.4	0.4
- อุบัติเหตุทางน้ำที่ไม่ใช่เรือบรรทุกน้ำมัน	0.02 – 0.04	0.02
- (ปริมาณรวม)	(0.95 – 2.62)	(1.47)
บรรษัทภาค		
นำทิ้งจากชุมชนและอุตสาหกรรม		
- นำทิ้งจากชุมชน	0.4 – 1.5	0.7
- โรงกลั่นน้ำมัน	0.06 – 0.6	0.1
- โรงงานอุตสาหกรรมที่ไม่ใช่โรงกลั่นน้ำมัน	0.1 – 0.3	0.2
- นำทิ้งจากบ้านเรือน	0.01 – 0.2	0.12
- จากแม่น้ำ	0.01 – 0.5	0.04
- จากการทิ้งลงทะเล	0.005 – 0.02	0.02
- (ปริมาณรวม)	(0.585 – 3.12)	(1.18)
ปริมาณรวมทั้งหมด	1.7 – 8.8	3.2

ที่มา : เกศนี สรรวนิช (2534)

3. ปิโตรเลียม

ปิโตรเลียม หรือที่รู้จักโดยทั่วไปว่า น้ำมันดิบ (crude oil) นั้น เป็นสารประกอบจำพวกไฮโดรคาร์บอนที่เกิดขึ้นในธรรมชาติจากการหักย่อยของชา kobin ทรีฟายใต้พื้นผิวโลกเป็นเวลานานหลายล้านปี มีชาตุкар์บอนและไฮโดรเจนเป็นองค์ประกอบส่วนใหญ่ (ตารางที่ 7) จากการศึกษาถึงองค์ประกอบของน้ำมันดิบจากแหล่งต่างๆ พบว่าจะมีชาตุкар์บอนเป็นองค์ประกอบอยู่ประมาณ 83.9 – 86.8 % โดยน้ำหนัก และมีไฮโดรเจนอยู่ประมาณ 11.0 – 14.0 % โดยน้ำหนัก นอกจากนี้ยังพบว่ามีอินทรีย์ เช่น โปรตีน รวมทั้งโลหะจำพวกนิเกลและวานเดียมปนอยู่บ้างในปริมาณเล็กน้อย น้ำมันดิบที่บุคคลนิยามจากแหล่งต่างๆ จะมีลักษณะที่แตกต่างกัน บางแหล่งเป็นของเหลวใสสีเหลือง สีเขียวเข้ม บางแห่งอาจเป็นสีดำ และมีกลิ่นกำมะถัน บางแหล่งเป็นของเหลวใสสีเหลือง สีเขียวเข้ม บางแห่งอาจเป็นสีดำ และมีกลิ่นกำมะถัน บางแหล่งเป็นของเหลวใสสีเหลือง สีเขียวเข้ม บางแห่งอาจเป็นสีดำ และมีกลิ่นกำมะถัน บางแหล่งเป็นของเหลวใสสีเหลือง สีเขียวเข้ม บางแห่งอาจเป็นสีดำ และมีกลิ่นกำมะถัน หนึ่งในลักษณะที่สำคัญที่สุดคือ น้ำมันดิบที่มีสัดส่วนที่แตกต่างกันนั้นเอง (เกรกนี สรรวานิช, 2534)

3.1 องค์ประกอบทางเคมีของปิโตรเลียม

น้ำมันดิบเป็นสารผสมที่ซับซ้อน ประกอบด้วยสารเคมีจำนวนมากซึ่งส่วนใหญ่รู้จักกันในชื่อ “ไฮโดรคาร์บอน” (อรรถรส วัฒโน, 2542)

ไฮโดรคาร์บอนแบ่งออกเป็น 4 กลุ่มตามลักษณะโครงสร้างทางเคมีดังนี้

ก) อะลิฟาดิกไฮโดรคาร์บอน (aliphatic hydrocarbons) เป็นสารประกอบไฮโดรคาร์บอนที่อ่อนตัว ซึ่งมีโครงสร้างอะตอมของคาร์บอนต่อ กันเป็นห่วง โซ่อีด อาจเป็นแบบโซ่อีดหรือมีกิ่งก้าน สารกลุ่มนี้ได้แก่ อัลเคน น้ำมันดิบที่มีองค์ประกอบของสารในกลุ่มนี้อยู่มากเรียกว่า parafinbase crude oil

ข) อะลิไซคลิกไฮโดรคาร์บอน (alicyclic hydrocarbons) เป็นสารประกอบไฮโดรคาร์บอนที่ไม่อ่อนตัว ซึ่งมีอะตอมของคาร์บอนจับตัวกันเป็นวง มีสูตรทั่วไปคือ C_nH_{2n} น้ำมันดิบที่มีองค์ประกอบเป็นสารในกลุ่มนี้อยู่มากเรียกว่า naphthenebase crude oil

ค) โอลีฟินิกไฮโดรคาร์บอน (olefinic hydrocarbons) เป็นสารประกอบไฮโดรคาร์บอนชนิดไม่อ่อนตัว ซึ่งมีคาร์บอนอะตอมต่อ กันเป็นห่วง โซ่อีด เป็นพวงที่มีพันธะคู่ (double bond) หรือพันธะสาม (triple bond) อยู่ สารกลุ่มนี้ไม่พบรูปในน้ำมันดิบ แต่พบได้ในผลิตภัณฑ์จากการกลั่นน้ำมัน และเรียกกลุ่มนี้ว่า aliphatic unsaturated hydrocarbons

ง) อะโรมาติกไฮโดรคาร์บอน (aromatic hydrocarbons) เป็นสารประกอบพวงไม่อ่อนตัว และมีวงแหวนเบนซีน (benzene ring) เป็นองค์ประกอบ กลุ่มนี้รวมถึงสารพวงโพลีไซคลิกอะโรมาติกไฮโดรคาร์บอน (polycyclic aromatic hydrocarbon, PAHs) ด้วย ซึ่งนับว่าเป็นกลุ่มที่มี

อันตรายต่อสิ่งมีชีวิตมากกว่ากลุ่มอื่นๆ เนื่องจากเชื่อว่าเป็นสารก่อมะเร็ง (carcinogenic hydrocarbon) กลุ่มนี้ บางครั้งเรียกสารกลุ่มนี้ว่า unsaturated cyclic hydrocarbons

ตารางที่ 6 การจำแนกกลุ่มและพื้นฐานของปิโตรเลียมไฮdrocarbon

ชนิด	ความอิ่มตัว	ลักษณะและพันธะ	แหล่งที่พบ
อะลิฟาติก	อิ่มตัว	โซ่อร์ตร มีพันธะเดียว	พบในน้ำมันดิน
ไฮdrocarbon			
อะลิไซคลิก	อิ่มตัว	เป็นวง มีพันธะเดียว	พบในน้ำมันดิน
ไฮdrocarbon			
ไฮเดรฟินิก	ไม่อิ่มตัว	โซ่อร์ตร มีพันธะคู่และพันธะสาม	พบในน้ำมันดิน แต่พบในผลิตภัณฑ์ที่ได้จากการกลั่นน้ำมัน
ไฮdrocarbon			
อะโรมาติก	ไม่อิ่มตัว	เป็นวง มีพันธะคู่และพันธะสาม	พบในน้ำมันดิน
ไฮdrocarbon			

ที่มา : อรวรรณ วัฒโน (2542)

องค์ประกอบของน้ำมันดินแบ่งออกเป็นสองประเภทใหญ่ๆ คือ สารประกอบไฮdrocarbon และสารประกอบอื่นที่ไม่ใช่ไฮdrocarbon โดยน้ำมันที่กลั่นแล้วจะมีไฮdrocarbonเกือบ 100 % (อรวรรณ วัฒโน, 2542) สารประกอบไฮdrocarbon ได้แก่ สารที่ประกอบด้วยธาตุ 2 ชนิด คือ คาร์บอน (C) และ ไฮdroเจน (H) ซึ่งสามารถเกิดพันธะกับคาร์บอน อะตอมอื่นเกิดเป็นโครงสร้างต่างๆ ได้แก่ อัลเคน หรือพาราฟิน (alkane or parafins), ไฮโคลอัลเคน หรือ แหนพchein (cyclo-alkane or naphthene), อะโรมาติกไฮdrocarbon (aromatic hydrocarbon) (กฤติยาพร พพกษ์ทัต, 2538) ส่วนสารอื่นที่ไม่ใช่ไฮdrocarbonส่วนใหญ่เป็นสารที่ประกอบด้วยซัลเฟอร์ซึ่งมีอยู่มากกว่า 7% โดยน้ำหนัก และในไฮdroเจนมากกว่า 1% โดยน้ำหนัก สารประกอบบางชนิดมีอักษรเจน ซึ่งมักเป็นสารประกอบพหุกรดและฟีนอล ส่วนโลหะพบปริมาณเล็กน้อยซึ่งส่วนใหญ่จะเป็นนิเกิลและวานเดเมียม (อรวรรณ วัฒโน, 2542)

3.2 พฤติกรรมและการแพร่กระจายของน้ำมันในแหล่งน้ำ

เมื่อน้ำมันเกิดการรั่วไหลลงสู่แหล่งน้ำ จะเกิดกระบวนการต่างๆ ทั้งทางพิสิกส์ เคมี และชีวภาพต่อน้ำมัน ทำให้มีการเปลี่ยนแปลงไปในลักษณะต่างๆ กระบวนการเหล่านี้ประกอบด้วย การระเหย (evaporation), การกระจาย (spreading), การเกิดอิมัลชัน (emulsification), การละลาย (solution), การตกตะกอน (sedimentation), การเกิดปฏิกิริยาออกซิเดชัน (chemical oxidation), การ

ย่อยสลายโดยจุลชีพ (biodegradation), การดูดซึ้งและการสะสมของสิ่งมีชีวิต (uptake and accumulation by organisms) รวมทั้งการสะสมและการกำจัดของเสียจากสิ่งมีชีวิต เป็นต้น อัตราในการเกิดกระบวนการต่างๆ เหล่านี้จะไม่เท่ากันขึ้นอยู่กับปัจจัยต่างๆ หลายประการ เช่น องค์ประกอบของไฮโดรคาร์บอนในน้ำมัน สภาพอุตุนิยมวิทยาของแหล่งน้ำ เช่น คลื่นลม กระแสน้ำ และอุณหภูมิ เป็นต้น แต่โดยทั่วไปกระบวนการทางพิสิกส์และเคมีจะเกิดขึ้นได้รวดเร็ว แทนจะทันทีที่มีการร้าวไหลของน้ำมัน เช่น การแผ่กระจาย การละลาย และการระเหย ส่วนกระบวนการทางชีวภาพจะเกิดขึ้นภายหลังจากที่มีการเปลี่ยนแปลงทางกายภาพของน้ำมันแล้ว การเปลี่ยนแปลงเหล่านี้เป็นปัจจัยสำคัญที่ทำให้เกิดการแพร่กระจายของไฮโดรคาร์บอนในรูปแบบต่างๆ ในสภาพแวดล้อม (เกศินี สรรวานิช, 2534)

ตารางที่ 7 ธาตุที่เป็นองค์ประกอบในน้ำมันดิบ

แร่ธาตุ	ปรอร์เซ็นต์โดยน้ำหนัก
คาร์บอน	83.0 – 87.0
ไฮโดรคาร์บอน ในไฮเดรเจน	10.0 – 14.0
ออกซิเจน	0.1 – 2.0
ซัลเฟอร์	0.05 – 1.5
ฟลูออไรด์	0.05 – 6.0

ที่มา : Speight (1991)

3.2.1 กระบวนการทางพิสิกส์และเคมี (เกศินี สรรวานิช, 2534)

3.2.1.1 การแผ่กระจายตัวของน้ำมัน

น้ำมันที่ถูกทิ้งลงในแหล่งน้ำจะเกิดเป็นคราบปอกคลุมผิวน้ำ เนื่องจากน้ำมันส่วนใหญ่มีคุณสมบัติไม่ละลายน้ำ หรือละลายน้ำได้น้อยมาก อิทธิพลจากกระแสน้ำ คลื่น และลม จะเป็นตัวทำให้คราบน้ำมันกระจายตัวออกเป็นแผ่นพิล์มนบางๆ การกระจายของน้ำมันขึ้นอยู่กับปัจจัยหลายประการ เช่น ปริมาณน้ำมันที่ร้าว คุณสมบัติทางกายภาพของน้ำมัน ระยะเวลาและสภาพธรรมชาติ ความเร็วลม เป็นต้น ตัวอย่างเช่นน้ำมันที่มีความหนืดต่ำๆ หรือในกรณีที่น้ำมันมีองค์ประกอบของไฮโดรเจน กามะถัน และออกซิเจนอยู่ทำให้น้ำมันเคลื่อนไปบนผิวน้ำได้ดี เนื่องจากสารประกอบพอกนี้มีแรงดึงดูดสูง

3.2.1.2 การระเหย

การระเหยเป็นกระบวนการหันที่เกิดขึ้นทันทีที่มีการร้าวไอลของน้ำมัน เช่นเดียวกับการแผ่กระจายบนผิวน้ำ ไฮโดรคาร์บอนที่มีจำนวนอะตอมต่ำกว่า C_{15} (จุดเดือดต่ำกว่า 250°C) จะระเหยไปจากผิวน้ำภายในเวลาไม่กี่วัน ส่วนไฮโดรคาร์บอนที่มีจำนวนอะตอมcarbon ในช่วง $C_{15} - C_{25}$ (จุดเดือดระหว่าง $250 - 400^{\circ}\text{C}$) จะระเหยได้เพียงเล็กน้อย และสำหรับไฮโดรคาร์บอนที่มีอะตอมcarbonมากกว่า C_{25} (จุดเดือดสูงกว่า 400°C) แทนจะไม่สามารถระเหยได้เลย อัตราการระเหยของน้ำมันขึ้นอยู่กับอุณหภูมิ ความเร็วลม ปริมาณแสงแดด ความหนาของชั้นน้ำมัน และองค์ประกอบในน้ำมัน

3.2.1.3 การละลาย

ไฮโดรคาร์บอนแต่ละชนิดจะมีคุณสมบัติในการละลายน้ำได้แตกต่างกัน ซึ่งโดยปกติแล้วกลุ่มที่มีน้ำหนักโมเลกุลต่ำ จะสามารถละลายในน้ำได้ดีกว่ากลุ่มที่น้ำหนักโมเลกุลสูง ความสามารถในการละลายน้ำของไฮโดรคาร์บอนขึ้นอยู่กับปัจจัยหลายประการ เช่น จำนวนอะตอมของcarbon โครงสร้างของโมเลกุล ชาตุที่เป็นองค์ประกอบ เป็นต้น อีกทั้งนอกจากขึ้นอยู่กับความสามารถในการละลายของไฮโดรคาร์บอนแต่ละชนิดแล้ว ยังขึ้นอยู่กับปัจจัยอื่นๆ อีก เช่น อิทธิพลของกระแสลม สภาพของแหล่งน้ำ เป็นต้น นอกจากนี้การย่อยสลายไฮโดรคาร์บอนทางเคมีและชีวภาพขึ้นเป็นส่วนสำคัญต่อการละลายด้วย กล่าวคือ ในปฏิกิริยาออกซิเดชันจะให้สารที่มีข้ออกมาซึ่งสารมีข้อเหล่านี้จะมีความสามารถในการละลายในน้ำได้สูงขึ้น เช่น แอนฟราลิน เมื่อถูกออกซิไดซ์เป็นแอลฟ่า-แคนพอล จะมีความสามารถในการละลายเพิ่มขึ้นจาก 32 ppm เป็น 740 ppm เป็นต้น

3.2.1.4 การเกิดอิมัลชัน

เนื่องจากองค์ประกอบส่วนใหญ่ของน้ำมันเป็นองค์ประกอบที่ไม่ละลายในน้ำ การกระจายของน้ำมันจึงเกิดในลักษณะของอิมัลชัน อนุภาคของน้ำมันที่กระจายในน้ำ (oil in water) เกิดจากอิทธิพลของคลื่นและกระแสน้ำ มีการศึกษาพบว่าอนุภาคของน้ำมันมีขนาดตั้งแต่ 5 ไมโครเมตร ไปถึงหลาหมิลลิเมตร สามารถกระจายไปได้ไกลเกินกว่า 200 กิโลเมตร สำหรับอิมัลชันที่อนุภาคของน้ำกระจายอยู่ในชั้นน้ำมัน (water in oil) จะเกิดขึ้นบริเวณที่มีทราบน้ำมันลอยอยู่เป็นชั้นค่อนข้างหนา ซึ่งเป็นน้ำมันที่มีน้ำหนักโมเลกุลค่อนข้างสูง หรือ residue oil มีลักษณะเป็นก้อนของเหลวเรียกว่า “chocolate mousse”

3.2.1.5 การเกิดน้ำมันดิน (Tar)

น้ำมันดินเป็นไฮโดรคาร์บอนส่วนที่เหลืออยู่หลังจากการเกิดกระบวนการต่างๆ แล้วในช่วงเวลาหนึ่ง น้ำมันบางชนิดจะไม่ปราบภูน้ำมันดินให้เห็น เนื่องจากมีร่องรอยสิ่งสกปรก น้ำมันดิน

ที่มีองค์ประกอบของไนโตรเจน กำมะถันและออกซิเจนเพียงเล็กน้อย หรือไม่มีเลยจะไม่เกิดน้ำมันดิน อย่างไรก็ตามปริมาณน้ำมันดินที่เกิดขึ้นจะมีประมาณ 30% ของปริมาณน้ำมันทั้งหมดที่รั่วไหลลงสู่แหล่งน้ำ

ในบริเวณที่มีกระแสน้ำรุนแรงจะทำให้น้ำมันดินแตกออกเป็นอนุภาคเล็กๆ และกระจายอยู่ในน้ำที่ระดับความลึกต่างๆ แต่ปริมาณน้ำมันดินส่วนที่กระจายในน้ำมีปริมาณก่ออุดตันสูง ต่ำกระบวนการที่มีอิทธิพลต่อปริมาณน้ำมันดินคือ การตกรตะกอน เนื่องจากองค์ประกอบส่วนใหญ่ของน้ำมันดินเป็นสารพิษที่มีน้ำหนักโมเลกุลค่อนข้างสูง จึงสามารถคงอยู่ท้องน้ำและทับถมในชั้นดินตะกอน นอกจากนี้น้ำมันดินส่วนหนึ่งจะถูกกระแสน้ำและคลื่นลมพัดเข้าสู่ฝั่งสักปรากฏเป็นการทำลายหักนียภาพที่สวยงาม

3.2.1.6 การตกรตะกอน

น้ำมันเกิดการตกรตะกอนได้เนื่องจากมีความหนาแน่นเพิ่มขึ้น ซึ่งเป็นผลมาจากการ

กระบวนการใหญ่ๆ คือ

- ก) การระเหยและการละลายขององค์ประกอบที่เบากว่า
 - ข) การรวมตัวกันของอนุภาคที่กระจายอยู่ในน้ำ
 - ค) การดูดซับและการดูดซึม (absorption and adsorption) ไซโตรคาร์บอนของอนุภาค
- ข่วนโดย

ภายหลังจากที่น้ำมันเกิดการระเหย การละลาย และกระบวนการอื่นๆ เช่น ปฏิกิริยาออกซิเดชันแล้ว สารที่เหลือจากกระบวนการต่างๆ เหล่านี้จะมีลักษณะเป็นสารกึ่งของแข็ง หรือน้ำมันดินคล้ายอยู่บริเวณผิวน้ำ น้ำมันดินนี้จะแตกออกเป็นอนุภาคเล็กๆ และจมลงสู่ท้องน้ำ ตั้งกล่าวแล้วข้างต้น ส่วนอนุภาคน้ำมันที่กระจายอยู่ในน้ำจะสามารถรวมตัวหรือเกาะรวมกับสาร ข่วนโดยได้ กระบวนการนี้จึงมีความสำคัญต่อการลดปริมาณไซโตรคาร์บอนจากผิวน้ำมาก โดยเฉพาะในบริเวณเส้นทางน้ำ เนื่องจากบริเวณนี้มีปริมาณของตะกอนข่วนโดยอยู่มาก

ในกระบวนการดูดซึมน้ำ อนุภาคที่มีขนาดเล็กจะอุดตัน (เดี๋ยวกว่า 44 ไมโครเมตร) จะสามารถดูดซับหรือดูดซึมไซโตรคาร์บอนได้ดีที่สุด โดยเฉพาะอนุภาคเคลือบที่มีสารอินทรีย์เป็นองค์ประกอบ

จากการศึกษาพฤติกรรมของน้ำมันที่สะสมในดินตะกอน พบว่าน้ำมันสามารถซึมน้ำได้ในชั้นดินตะกอนได้ โดยที่ความสามารถในการซึมน้ำในชั้นดินตะกอนจะขึ้นอยู่กับลักษณะของตะกอน กล่าวคือ ตะกอนที่ประกอบด้วยทรายและมวลมากจะทำให้การซึมน้ำได้ดีกว่า ตะกอนที่ประกอบด้วยอนุภาคเล็กๆ ลักษณะของตะกอนที่ซึมน้ำไว้ได้มากที่สุดหรือมีการซึมน้ำอยู่ที่สุดเป็นตะกอนที่มีอนุภาคเล็กละเอียด เนื่องจากมีพื้นที่ผิวในการดูดซับได้มากนั่นเอง ส่วน

ตะกอนที่มีขนาดใหญ่นอกจากจะซึมได้ดีแล้วยังมีอัตราการย่อยสลายทางชีวภาพได้สูงอีกด้วย เพราะตะกอนขนาดใหญ่จะมีการไหลเวียนของอาหารและอากาศผ่านได้สะดวก

ปัจจัยสำคัญที่มีต่อการคงสภาพของน้ำมันในชั้นดินตะกอนนั้นคือ อัตราการย่อยสลายทางชีวภาพ โดยบริเวณผิวดองชั้นตะกอนจะเกิดการย่อยสลายของสารไฮโดรคาร์บอนได้เร็วมาก ส่วนชั้นที่ลึกลงไปชั่งอยู่ในสภาพไร้ออกซิเจนการย่อยสลายจะเกิดช้าลง เนื่องจาก จุลินทรีย์ มีกิจกรรมต่ำมาก ทำให้น้ำมันที่อยู่ในชั้นที่ลึกลงไปสามารถคงสภาพอยู่ได้เป็นเวลานานหลายปี

3.2.1.7 ปฏิกิริยาไฟโตออกซิเดชัน

ปฏิกิริยาไฟโตออกซิเดชันเป็นปฏิกิริยาเริ่มแรกในกระบวนการย่อยสลายน้ำมัน โดยขั้นตอนการเกิดปฏิกิริยานี้จะขึ้นอยู่กับชนิดขององค์ประกอบในน้ำมัน เช่น สารพาราฟโนมีติก ไฮโดรคาร์บอนจะถูกเปลี่ยนสภาพโดยพลังงานจากแสงอาทิตย์ได้เร็วกว่ากลุ่มของอะลิฟติก ไฮโดรคาร์บอน และกลุ่มของอะลิฟติกไฮโดรคาร์บอนชนิดที่ไม่เดสกูลมีกิ่งก้านจะถูกย่อยสลายเร็วกว่าชนิดที่เป็นโซ่อ่อนตื้น ช่วงความยาวคลื่นแสงที่มีผลต่อการย่อยสลายน้ำมันเป็นคลื่นแสงช่วงอุตตราไวโอลেต ส่วนช่วงความยาวคลื่นที่มากกว่า 350 นาโนเมตร จะไม่มีผลต่อการย่อยสลายของน้ำมัน ผลิตภัณฑ์ที่เกิดจากปฏิกิริยานี้ ได้แก่ กรดคาร์บอซิลิก แอลกอฮอล์คีโตน และฟินอล ซึ่งสามารถละลายนำได้ดีกว่าน้ำมัน

3.2.2 กระบวนการทางชีวภาพ (เกศินี สรรวานิช, 2534)

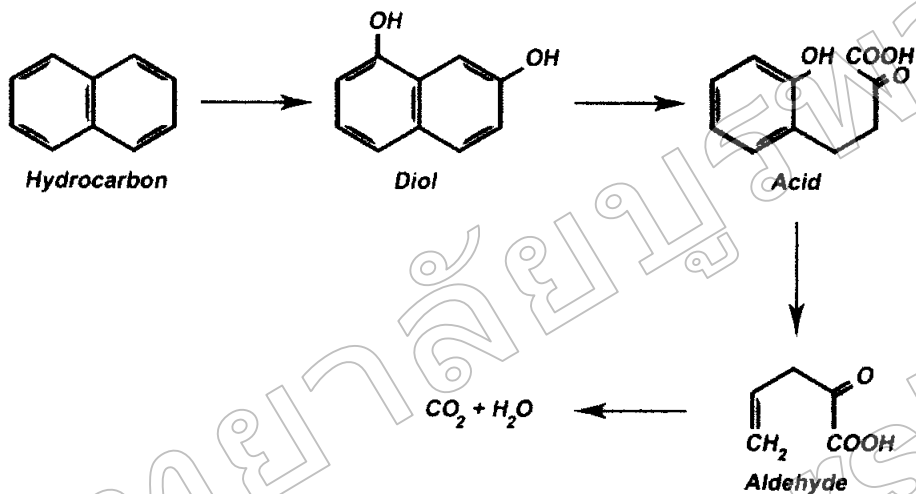
3.2.2.1 การย่อยสลายโดยจุลชีพ

ไฮโดรคาร์บอนและอนุพันธ์จะถูกจุลชีพย่อยสลายในอัตราที่แตกต่างกัน ขึ้นอยู่กับปัจจัยต่างๆ เช่น ชนิดของสาร ไฮโดรคาร์บอนที่เป็นองค์ประกอบในน้ำมัน จำนวนหรือปริมาณ จุลชีพ รวมทั้งสภาพแวดล้อมต่างๆ การเปลี่ยนแปลงของอุณหภูมิ ความเค็ม คลื่น และแสงแดด จะส่งผลกระทบโดยตรงต่ออัตราการย่อยสลายของจุลชีพ และยังมีผลต่อการเปลี่ยนแปลงคุณสมบัติทางกายภาพและเคมีของสารประกอบ ไฮโดรคาร์บอนอีกด้วย

การเพิ่มอุณหภูมิของแหล่งน้ำมีผลทำให้มีอัตราการเจริญของจุลชีพเพิ่มมากขึ้น ซึ่งหมายถึงอัตราการย่อยสลายมีค่าเพิ่มขึ้นด้วยนั่นเอง อุณหภูมิที่เพิ่มขึ้นนั้นทำให้อัตราการระเหยของไฮโดรคาร์บอนสูงขึ้น และยังทำให้ความหนืดของน้ำมันลดลง เป็นผลให้น้ำมันเกิดอิมิลชันได้มากขึ้น

สำหรับกลไกในการย่อยสลายน้ำมันโดยจุลชีพนั้น จะแตกต่างกันไปตามชนิดของไฮโดรคาร์บอน ตัวอย่างเช่น ในการศึกษาถึงแนวทางในการย่อยสลายของสารพาราฟโนมีติก และอะลิฟติกไฮโดรคาร์บอน (ภาพที่ 9) พบว่าในชั้นแรกสารอะโรมาติกไฮโดรคาร์บอนจะถูกเปลี่ยนไปเป็นไฮโดรออกไซด์ จากนั้นจะมีการแตกของวงแหวนได้เป็นกรดและอัลกิลไฮด์ ตามลำดับ ส่วน

สารพวกอัลเคนจะถูกออกซิไดซ์เป็นแอลกอฮอล์ และกรดไบมัน ซึ่งในที่สุดจะถูกจุลชีพใช้เป็นแหล่งคาร์บอนในการเจริญเติบโตและให้ผลิตภัณฑ์สุดท้ายเป็นคาร์บอนไดออกไซด์



ภาพที่ 9 กลไกการย่อยสลายไฮโดรคาร์บอนโดยจุลชีพ

ที่มา : คัดแปลงจาก เทคนิค สรรวานิช (2534)

3.2.2.2 การดูดซึ้งและสะสมโดยสิ่งมีชีวิต

สารไฮโดรคาร์บอนจากน้ำมันที่สามารถเข้าสู่สิ่งมีชีวิตได้จะอยู่ในลักษณะต่างๆ คือ ในรูปของสารละลาย ทราบน้ำมันที่ löyö ที่ผิวน้ำ อนุภาคที่กระจายในน้ำและในรูปแบบของตะกอน เป็นต้น โดยมีการถ่ายทอดสู่ห่วงโซ่ออาหารจากกระบวนการต่างๆ ดังนี้

- ก) การดูดซับบนอนุภาคต่างๆ ที่ löyö ในน้ำ
- ข) การดูดซึ้งสารไฮโดรคาร์บอนที่ละลายหรือที่กระจายในน้ำเข้าสู่ร่างกายโดยทางเหงือก
- ค) การกลืนหรือกินน้ำที่มีไฮโดรคาร์บอนปนเปื้อนอยู่เข้าไปโดยตรง

3.3 ผลกระทบของน้ำมันต่อสิ่งมีชีวิตและสิ่งแวดล้อม

การรั่วไหลของน้ำมันดินสู่สิ่งแวดล้อมทั้งจากเรือ รถบรรทุกน้ำมัน คลังน้ำมัน หรือขั้นตอนการส่งถ่ายลงสู่แหล่งน้ำหรือพื้นดิน ย่อมก่อให้เกิดผลกระทบหรือความเสียหายต่อทรัพยากรสิ่งแวดล้อมค้านต่างๆ ตลอดจนความเสียหายต่อทรัพย์สินของมนุษย์ (ชรัตน์ รุ่งเรืองศิลป์, 2533)

3.3.1 ผลกระทบของน้ำมันที่มีต่อสิ่งแวดล้อมทางน้ำ

กรณีการร่วงไหลสู่สภาพแวดล้อมภายนอก โดยเฉพาะเมื่อชั้นลงดินผ่านช่องว่างในดินจะทำให้ช่องว่างของดินเต็มไปด้วยน้ำมัน ถ้าเป็นน้ำมันชนิดที่มีความหนืดสูงเมื่อชั้นลงดินจะทำให้ดินบริเวณนั้นไม่สามารถนำมาใช้ประโยชน์ในการเพาะปลูกได้ เนื่องจากน้ำมันจะเคลือบพื้นผิว (surface area) ของอนุภาคต่างๆ ของดินจนไม่สามารถปลดปล่อยธาตุอาหารให้พืชได้ (Bossert and Compeau, 1995) ส่วนความรุนแรงและระยะเวลาของผลกระทบของน้ำมันคิดต่อพื้นผิวน้ำมันกับชนิดของดินที่ถูกปนเปื้อน น้ำมันคิดสามารถเคลื่อนที่ในระบบนิเวศที่มีความชื้นหรือในดินที่มีการระบายน้ำได้ดี ยิ่งไปกว่านั้น ผลกระทบของน้ำมันยังขึ้นอยู่กับคุณสมบัติและปริมาณของน้ำมันอีกด้วย องค์ประกอบของน้ำมันที่มีจุดเดือดต่ำจะเคลื่อนย้ายออกจากระบบนิเวศได้อย่างรวดเร็ว เพราะเกิดการระเหยและละลายน้ำ ดังนั้นผลกระทบของน้ำมันที่ปนเปื้อนส่วนใหญ่เป็นผลมาจากการที่มีจุดเดือดสูง และยังพบว่ามันที่ปริมาณสูงจะไปขับยั้งการเจริญและการออกซิเจนของแมลงพืชชนิดต่างๆ ด้วย (Zuofa et al., 1988)

นอกจากน้ำมันคิดจะไปขับยั้งกระบวนการหายใจของชุลินทรีย์และการใช้ชั้น stereothที่ไม่ใช้ไฮโดรคาร์บอน เช่น การสร้าง ATP (ATP production) กิจกรรมของเอนไซม์ ดีไฮดรอกซีเจนase (dehydrogenase activity) เป็นต้น (Pfaender and Buckley, 1984) อย่างไรก็ตาม พบว่า มีชุลินทรีย์ที่สามารถย่อยสลายน้ำมันเพื่อให้เป็นแหล่งพลังการรับอนสำหรับการเจริญเติบโตและกิจกรรมต่างๆ โดยยกถุงชุลินทรีย์สามารถใช้ไฮโดรคาร์บอนจะเพิ่มจำนวนขึ้นอย่างรวดเร็ว ในขณะที่กลุ่มชุลินทรีย์ที่ไม่สามารถใช้ไฮโดรคาร์บอนจะลดจำนวนลง (Sexstone and Atlas , 1977 ; Bossert and Bartha, 1984)

ส่วนผลกระทบของน้ำมันที่มีต่อสัตว์ (ภาพที่ 10) พบว่าสัตว์จะมีความไวต่อพิษมากกว่าพืชเนื่องจากสัตว์มีอัตราการเมtabolismusสูง โดยน้ำมันที่เคลือบอยู่บนพื้นผิวของสัตว์หรือตัวกลางในสิ่งแวดล้อม ทำให้ขาดความสามารถเคลื่อนที่ของสัตว์และเป็นสาเหตุให้เกิดการเจ็บป่วย Duffus (1980) รายงานว่า ไฮโดรคาร์บอนที่มีจุดเดือดต่ำจะทำให้สัตว์ขาดเลือดส่วนหนึ่ง หรือเกิดอาการมีนิ่ง ส่วนไฮโดรคาร์บอนที่มีจุดเดือดสูงจะทำให้เกิดโรคระบบทางเดินหายใจ ในสัตว์ที่มีกระดูกสันหลังพบว่าองค์ประกอบของน้ำมันที่ไม่ละลายน้ำจะมีพิษโดยเข้าสู่หัวใจหรือผิวหนังผ่านเยื่อหุ้มเซลล์ไปสะสมอยู่ที่ตับและกระเพาะปัสสาวะ ตัวอย่างเช่น ขนของนกที่ถูกปอกลุบด้วยน้ำมันจะสูญเสียความสามารถในการปกป้อง ในสัตว์ชนิดอื่นจะเป็นโรมาติกไฮโดรคาร์บอนจะไปขับยั้งการสร้างเม็ดเดือดในไขกระดูกเป็นเหตุให้ระบบทางเดินหายใจติดขัด รวมทั้งทำให้ระบบประสาทขัดข้องด้วย (Cooney et al., 1976; Bertrand et al., 1993)



ภาพที่ 10 ตัวอย่างสัตว์ที่ได้รับผลกระทบจากน้ำมันที่รั่วไหลสู่แหล่งน้ำที่มาก :

ภาพ 10-1 : <http://www.teako170.com/projects3.html>

ภาพ 10-2 : http://news.bbc.co.uk/olmedia/295000/images/_298608_exxon3002.jpg

ภาพ 10-3 : http://www.notre-planete.info/actualites/images/presse/IFAW_mareenoire.jpg

ภาพ 10-4 : <http://www.greenpeace.it/newsdatabase/499.jpg>

3.3.2 ผลกระทบของน้ำมันที่รั่วไหลลงสู่แหล่งน้ำ

ผลกระทบที่เกิดขึ้นทางน้ำจะมีความรุนแรงมากกว่าผลกระทบที่มีต่อสิ่งแวดล้อมทางบก เนื่องจากในแหล่งน้ำจะมีทรัพยากรธรรมชาติและสิ่งมีชีวิตที่เกี่ยวข้องมากนาก ซึ่งผลกระทบที่เกิดขึ้นมีดังนี้

3.3.2.1 ผลกระทบค้านกภายในภาพ

กรณีที่น้ำมันหกและรั่วไหลลงสู่แหล่งน้ำ น้ำมันจะลอยตัวอยู่บนผิวน้ำ นำเนื้องจากความถ่วงจำเพาะของน้ำมันต่ำกว่าน้ำ ดังนั้นผลกระทบที่เกิดขึ้นในเบื้องต้นคือผลกระทบทางภายในภาพ ได้แก่

1) ขัดขวางการส่องผ่านของแสงที่ลงสู่ห้องน้ำ

น้ำมันที่รั่วไหลลงสู่แหล่งน้ำจะบดบังหรือกั้นแสงอาทิตย์ไม่ให้ส่องผ่านลงไปในน้ำได้ ทำให้สิ่งมีชีวิตจำพวกผู้ผลิตหรือพืชที่อยู่ใต้น้ำไม่สามารถสังเคราะห์แสงได้

2) ปริมาณออกซิเจนที่ละลายน้ำลดลง

เนื่องจากน้ำมันซึ่งแผ่กระจายปะคลุนที่ผิวน้ำน้ำจะทำหน้าที่คล้ายเป็นแผ่นฟิล์มหรือกำแพงกั้นระหว่างน้ำกับอากาศ (physical barrier) ทำให้ออกซิเจนจากอากาศไม่สามารถละลายลงสู่แหล่งน้ำได้

3) ความร้อนของน้ำสูงขึ้น

น้ำมันชนิดที่มีสีเทา เช่น น้ำมันดิน น้ำมันเตา เป็นต้น มีคุณสมบัติในการดูดซับความร้อน (heat absorption) จากแสงอาทิตย์ได้ดีกว่าน้ำมันชนิดที่มีสีขาวกว่า ส่งผลให้น้ำมีอุณหภูมิสูงขึ้นกว่าปกติ

3.3.2.2 ผลกระทบด้านชีวภาพ

น้ำมันทุกชนิดไม่ว่าจะเป็นน้ำมันดิน น้ำมันเบนซิน น้ำมันดีเซล น้ำมันเตา หรือชนิดอื่นๆ จะมีสารประกอบไฮโดรคาร์บอนเป็นองค์ประกอบอยู่ด้วย (ปราโมทย์ ไชยเวช, 2537) ซึ่งไฮโดรคาร์บอนนี้เมื่อละลายลงสู่แหล่งน้ำย่อมก่อให้เกิดผลกระทบต่อสิ่งมีชีวิตจำพวกพืชและสัตว์น้ำได้เช่นเดียวกัน Thomas et al. (1979) รายงานว่า ไฮโดรคาร์บอนที่ละลายน้ำในปริมาณมากจะทำให้กระบวนการสังเคราะห์แสงของพืชจำพวกสาหร่ายลดลงประมาณ 50% และทำให้เยื่อหุ้มเซลล์ (cellular membrane) สูญเสียรากสูงแทรกซึมและแบ่งกานีส Baker (1990) รายงานว่า อะโรมาติกไฮโดรคาร์บอนเป็นพิษต่อสาหร่าย ตัวอย่างเช่น *Anabaena dolichum* ปรากฏการณ์ที่เกิดขึ้นเป็นผลมาจากการลำดับส่วนของอะโรมาติกจะไปมีผลต่อในโทรศัพท์ เซ็นเซอร์ที่ Samiullah (1989) พบว่า การสังเคราะห์แสงของสาหร่ายໄวต์อน้ำมันมากกว่าการหายใจ โดยทั่วไปสาหร่ายเซลล์เดียวจะตายเมื่อมีความเข้มข้นของสารพิษ 1×10^{-4} มิลลิลิตรต่อลิตรของน้ำ อย่างไรก็ตามมีรายงานว่าที่ความเข้มข้นของน้ำมันดินต่ำๆ อัตราการเจริญเติบโตของสาหร่ายสีเขียวแกมน้ำเงิน (blue green algae) บางสายพันธุ์จะเพิ่มสูงขึ้น (Singh and Gaur, 1990)

Stanley และคณะ (1979) ทำการศึกษาโดยใช้น้ำมัน cook inlet ทดลองกับสัตว์น้ำประเภทต่างๆ พบว่าถ้าปลูกินน้ำและกุ้ง ได้รับสารนี้ในปริมาณระหว่าง 1-3 มก. เกินกว่า 96 ชั่วโมง จะเป็นอันตรายถึงชีวิต ส่วนสัตว์หน้าดิน เช่น ปลาขนาดเล็ก ปู และหอยแครง หากได้รับสารนี้ระหว่าง 3-8 มก. เกินกว่า 96 ชั่วโมง จะเป็นอันตรายถึงชีวิตเช่นกัน นอกจากนี้น้ำมันยังมีผลทำให้คุณภาพน้ำต่ำลงจนไม่เหมาะสมต่อการอุปโภคบริโภค รวมทั้งยังมีผลต่อแหล่งอาหารและการวางไข่ของสัตว์น้ำด้วย สำหรับพักแพลงก์ตอน (plankton) ไข่และตัวอ่อนของสัตว์น้ำซึ่งไม่

สามารถเคลื่อนย้ายหนีได้สะดวกเมื่อมีอนสัตว์นำข้ามภาคใหญ่นั้นจะได้รับผลกระทบจากมลพิษของน้ำมันอย่างแย่่อน และขณะเดียวกันก็อาจมีการเปลี่ยนแปลงลักษณะของการดำรงชีวิตของสัตว์น้ำด้วย (Dennis, 1979)

กรณีที่น้ำมันถูกพัดพาเข้าสู่พื้นที่ป่าชายเลนหรือป่าโงกงจะเกิดผลกระทบต่อแหล่งเพาะพันธุ์ตัวอ่อนในบริเวณดังกล่าวด้วย ในส่วนของป่าชายเลนจะได้รับผลกระทบเช่นเดียวกันซึ่งระดับความรุนแรงของผลกระทบจะขึ้นอยู่กับประเภทของน้ำมัน ปริมาณและการตาก้างของน้ำมันในป่าชายเลนว่ามากน้อยเพียงไร โดยน้ำมันจะแทรกซึมเข้าสู่รากของต้นโงกงและหากน้ำมันตาก้างอยู่ในตะกอนดินในป่าชายเลนจะทำให้เมล็ดของต้นโงกงที่ตกสู่พื้นไม่สามารถออกหรือเจริญเติบโตได้

3.2.2.3 ผลกระทบด้านเศรษฐกิจและสังคม

ผลกระทบที่ต้องเนื่องมาจากการทบทวนทางด้านกฎหมายและเชิงภาพ ได้แก่ ผลกระทบต่อแหล่งเพาะพันธุ์ตัวอ่อนซึ่งเป็นผลมาจากการมลพิษของน้ำมันทำให้คุณภาพน้ำดื่มน้ำดื่มและผลผลิตที่ได้ลดลงผลกระทบที่เกี่ยวกับความเคื่อเครือนริมคลองจากคราบสกปรกของน้ำมันที่ลอยไปติดสุดท้ายคือผลกระทบด้านสุนทรียภาพและความงามของแหล่งท่องเที่ยวซึ่งถูกคราบน้ำมันรบกวน

4. การวิเคราะห์ปีโตรเลียมไฮโดรคาร์บอน

ไฮโดรคาร์บอนที่เป็นองค์ประกอบในน้ำมันมีมากหลายชนิด และมีจำนวนอะตอมของคาร์บอนแตกต่างกันไป ตั้งแต่ C_1 - C_{70} ทำให้ไฮโดรคาร์บอนแต่ละชนิดมีคุณสมบัติแตกต่างกัน ดังแสดงในตารางที่ 8 ดังนั้นเทคนิคในการวิเคราะห์เพียงวิธีใดวิธีหนึ่งจะไม่สามารถใช้วิเคราะห์ไฮโดรคาร์บอนได้ทั้งหมด เพราะแต่ละวิธีจะมีลักษณะเฉพาะ ในด้านหลักการและความสามารถในการวิเคราะห์ ดังนั้นการเลือกวิธีที่เหมาะสมขึ้นอยู่กับวัตถุประสงค์ของการวิเคราะห์อย่างไรก็ตาม สามารถสรุปวิธีการซึ่งเป็นที่นิยมใช้ในการวิเคราะห์ไฮโดรคาร์บอน ได้ดังนี้

เทคนิคการชั่งน้ำหนัก (gravimetric) เป็นการวิเคราะห์เชิงปริมาณในรูปของน้ำมันและกรีซ (grease) โดยการสักดิสารพวนน้ำมันด้วยตัวทำละลายอินทรีย์ แล้วระเหยด้วยการทำละลายอินทรีย์ ออกจนหมดจึงชั่งน้ำหนักของน้ำมันส่วนที่เหลืออยู่ การวิเคราะห์โดยวิธีชั่งน้ำหนักนี้เหมาะสมกับตัวอย่างที่มีปริมาณน้ำมันอยู่ในช่วง 5 – 1,000 มิลลิกรัมต่อลิตร เช่น น้ำทิ้งจากชุมชนเมือง และเรือ เป็นต้น

เทคนิคคุณตราไฟโอลูเตอขอบชั้นสเปกโตรเมตري (UV absorption spectrometry) เป็นเทคนิคที่ใช้หาปริมาณไฮโดรคาร์บอน โดยเปรียบเทียบค่าการคูดกลืนแสงคุณตราไฟโอลูเต (ที่ความยาวคลื่น 256 นาโนเมตร) ของสารตัวอย่างและสารมาตรฐาน โดยวิธีการสร้างกราฟนาตรฐาน เทคนิคนี้เหมาะสมกับตัวอย่างที่มีสารไฮโดรคาร์บอนมากกว่า 10 ไมโครกรัมต่อลิตร

เทคนิคฟลูออเรสเซนต์สเปกโตรเมตري (UV fluorescence spectrometry, UVF) เทคนิคนี้ เป็นการวัดค่าความเข้มฟลูออเรสเซนต์แทนการวัดค่าการคูดกลืนแสง โดยสารประกอบที่มีโครงสร้างแบบอะโรมาติกเมื่อคูดกลืนแสงช่วงคุณตราไฟโอลูเต (310 นาโนเมตร) จะมีการเปลี่ยนแปลงระดับพลังงานภายใน เมื่อกลับลงสู่สภาวะเดิมจะมีการคายกลืนแสงฟลูออเรสเซนต์ที่มีความถี่เฉพาะแตกต่างกันออกมาน โดยสารแต่ละชนิดจะมีค่าพลังงานกระตุ้นและกลืนแสงที่คายออกมานิ่งๆ แตกต่างกัน เทคนิคนี้เหมาะสมสำหรับตัวอย่างที่มีปริมาณไฮโดรคาร์บอนสูงกว่า 10 ไมโครกรัมต่อลิตร เช่นเดียวกับเทคนิคคุณตราไฟโอลูเตอขอบชั้นสเปกโตรเมตري แต่เทคนิคนี้จะมีความไวต่อการวิเคราะห์มากกว่า จึงเป็นเทคนิคที่เหมาะสมกับการวิเคราะห์ปริมาณปีโตรเลียมไฮโดรคาร์บอนในน้ำทะเล

เทคนิคอินฟราเรดขอบชั้นสเปกโตรโฟโตเมตري (IR absorption spectrophotometry) เป็นการวัดค่าการคูดกลืนแสงช่วงอินฟราเรดของสารตัวอย่างที่ขึ้นกับกราฟนาตรฐานที่ได้จากการวัดค่าการคูดกลืนแสงของสารมาตรฐานความเข้มข้นต่างๆ ที่ความยาวคลื่นในช่วงความถี่ของ C-H stretching เทคนิคนี้เหมาะสมกับตัวอย่างที่มีปริมาณไฮโดรคาร์บอนค่อนข้างน้อย และสามารถวิเคราะห์ปริมาณไฮโดรคาร์บอนที่มีความเข้มข้นประมาณ 1 ppb ในตัวอย่างน้ำ 6 ลิตร ได้

เทคนิคแก๊สโครมาโทกราฟี (gas chromatography) เป็นเทคนิคที่นิยมใช้กันมากทั่วไปในด้านการวิเคราะห์เชิงปริมาณและคุณภาพ การวัดอาศัยเทคนิคในการแยกองค์ประกอบและเปรียบเทียบเวลา และลักษณะพิเศษในการตัวอย่างกับสารมาตรฐาน เทคนิคนี้เหมาะสมกับการวิเคราะห์ตัวอย่างที่ต้องการทราบถึงรายละเอียดลักษณะ โครมาโทแกรมของสาร ไฮโดรคาร์บอน

เทคนิคไฮเปอร์ฟอร์แมนซ์ลิกวิด โครมาโทกราฟี (high performance liquid chromatography, HPLC) เป็นเทคนิคหนึ่งของลิกวิด โครมาโทกราฟีแบบ colum ที่ใช้ความดันช่วยทำให้เฟสเคลื่อนที่ไหลได้เร็วขึ้น โดยไม่ทำให้ประสิทธิภาพของ colum ลดลง การวิเคราะห์ทางคุณภาพและปริมาณสามารถทำได้เช่นเดียวกับแก๊สโครมาโทกราฟี โดยการเปรียบเทียบค่ารีเทนชันไทม์ (retention time) และการวัดขนาดของพิคของสารตัวอย่างเทียบกับสารมาตรฐาน

เทคนิคแก๊สโครมาโทกราฟ-แมสสเปกโตรเมตري เป็นเทคนิคที่สามารถให้รายละเอียดเกี่ยวกับน้ำหนักโมเลกุลและโครงสร้างของหัวใจของสาร ไฮโดรคาร์บอน โดยสารตัวอย่างที่ถูกแยกเป็นองค์ประกอบบ่อบจากเครื่องแก๊สโครมาโทกราฟจะเข้าสู่เครื่องแมสสเปกโตรมิเตอร์ที่จะองค์ประกอบ และจะถูกทำให้แตกออกเป็นส่วนย่อยๆ โดยกระแสอิเล็กตรอนพลังงานสูง แมสสเปกตัมที่ได้จะมีรูปแบบแตกต่างกันในแต่ละสารประกอบ เทคนิคนี้มักวิเคราะห์ควบคู่ไปกับวิธีแก๊สโครมาโทกราฟเพื่อเป็นการยืนยันผลการวิเคราะห์ทางคุณภาพ (เกศินี สรรวานิช, 2534)

ตารางที่ 8 วิธีการวิเคราะห์ปั๊ตอเรลีมไฮโดรคาร์บอนในแหล่งน้ำ

วิธีวิเคราะห์	ชนิดของสารที่	ปริมาตรของน้ำ	ข้อดี	ข้อเสีย
			วิเคราะห์	ตัวอย่าง (ลิตร)
ชั่งน้ำหนัก	สารที่ไม่ละลายง่าย ที่อุณหภูมิห้อง	1 - 4	วิธีวิเคราะห์และ เครื่องมือที่ใช้มีความ ง่ายและสะดวก	ไม่สามารถใช้วิเคราะห์ ตัวอย่างที่มีความ เข้มข้นในช่วง 0.3 – 0.5 มกilogรัมต่อลิตร
อุตตราไวโอลเตตแอบน ซอกพัชันสเปกโตรเม ทรี	คอนจูเกตโพ ลีอัลกินอะโร มาติก	1	เหมาะกับตัวอย่างที่มี ความเข้มข้น > 10 ไมโครกรัมต่อลิตร	- ไม่ให้รายละเอียด ของนอร์มัลอลีกเคน - ความไวในการ วิเคราะห์น้อยกว่าวิธี ฟลูออเรสเซนต์ สเปกโตรเมทรี
ฟลูออเรสเซนต์ สเปกโตรเมทรี	สารประกอบไม่ อินตัวอะโรมาติก	1	เหมาะกับตัวอย่างที่มี ความเข้มข้น > 10 ไมโครกรัมต่อลิตร	ไม่ให้ข้อมูลของนอร์ มัลอลีกเคน
อินฟราเรดสเปกโตร เมตรี	เมทิล, เมไธลีน การ์บอนิลอะโร มาติก	1 - 4	ให้รายละเอียด เกี่ยวกับฟังก์ชันลัล กรูป เช่น ชิลิโคน, พลาสติไซเลอร์ การวิเคราะห์รวดเร็ว และให้ผลที่ น่าเชื่อถือ	ไม่สามารถวิเคราะห์ ตัวอย่างที่มีความ เข้มข้น > 3 ไมโครกรัม ต่อลิตรได้
แก๊สโคลโนมาโทกราฟ แก๊สโคลโนมาโทกราฟ- แมสสเปกโตรเมทรี	วิเคราะห์ชนิดของ ไฮโดรคาร์บอน	1 - 20	การวิเคราะห์รวดเร็ว และการย่อขนาดน้ำมันน้อย	ให้รายละเอียดเกี่ยวกับ การย่อขนาดน้ำมันน้อย
HPLC (high performance liquid chromatography)	ชนิดของ ไฮโดรคาร์บอน	1 - 10	วิเคราะห์สาร ไฮโดรคาร์บอนแต่ ละชนิด ได้แน่นอน การเตรียมตัวอย่าง ก่อนฉีดไม่ยุ่งยาก ไม่ มีข้อจำกัดว่าต้องเป็น สารที่ระเหยได้	เครื่องมือที่ใช้มีความ บุ่งยากซับซ้อนและมี ราคาแพงมาก เครื่องมือไม่ ส่วนประกอบที่ ซับซ้อนและราคาแพง

ตารางที่ 9 ผลงานวิจัยที่เกี่ยวข้องกับการวิเคราะห์หาปริมาณปีโตรเลียมไฮdrocarบอนในแหล่งน้ำ

ตัวอย่าง	สถานที่ศึกษา	วิธีวิเคราะห์	ปริมาณไฮdrocarบอน	อ้างอิง
น้ำทะเล	Nova Scotia และ Burmuda	ฟลูออเรสเซนต์สเปก		Gordon, et al.
- ผิวน้ำ	Burmuda	ไฮdrocarบี	20.4	(1974)
- ลึก 1 เมตร			0.8	
- ลึก 5 เมตร			0.4	
น้ำทะเล (1 เมตร)	ทะเลเหนือ	ฟลูออเรสเซนต์สเปก ไฮdrocarบี	1.11 – 7.4	Law (1981)
น้ำทะเล	ทะเลอันดามัน	ฟลูออเรสเซนต์สเปก		Topgi, et al.
- ผิวน้ำ		ไฮdrocarบี	51.0	(1981)
- ลึก 10 เมตร			55.0	
น้ำทะเล	เบอร์โตริโก	ฟลูออเรสเซนต์สเปก ไฮdrocarบี	0.16 – 4.68	Corredor, et al. (1983)
น้ำและอนุภาค	Carteau Bay	ชั้นน้ำหนักและแก๊ส	0.47 (ม.ย.)	Siron, et al.
แนวลอดอย		ไฮdrocarบี	0.42 (ก.ย.)	(1987)
		ไฮdrocarบี	0.57 (ก.พ.)	
อนุภาคแนวลอดอย	อ่าวเม็กซิโก	แก๊ส ไฮdrocarบี		Mecko, et al.
- ระยะจากฝั่ง 10 กม.		แมสสเปก ไฮdrocarบี	1.91	(1987)
- ระยะจากฝั่ง 20 กม.			1.46	
- ระยะจากฝั่ง 90 กม.			1.02	
น้ำทะเล	ชายฝั่งทะเลเมดิเตอร์เรเนียน	ฟลูออเรสเซนต์สเปก	0.5 – 1.1	Merchand, et al. (1988)
ดินตะกอน	White House Cove	แก๊ส ไฮdrocarบี	96	Voudrias and Smith (1986)
	Sarah Creek		119	
	Carter Creek		30	
ดินตะกอน	Coatzacoalcos	แก๊ส ไฮdrocarบี	0.93 – 7.4	Farran, et al.
	River, Mexico	และฟลูออเรสเซนต์สเปก	(นอร์มัลอัลเคนรวม)	(1987)
		ไฮdrocarบี	0.22 – 3.2	
			(อะโรมาติกรวม)	

ตารางที่ 9 (ต่อ)

ตัวอย่าง	สถานที่ศึกษา	วิธีวิเคราะห์	ปริมาณไฮโดรคาร์บอน	อ้างอิง
น้ำทะเล (ผิวน้ำ) คืนตะกอน	อ่าวไทย	แก๊สโครโนมาโทกราฟี	16 – 614 0.4 – 11.7 (นอร์มัลพาราfin)	วีรีย์ ศิวิตาติ (2521)
น้ำทะเล (1 เมตร) คืนตะกอน	อ่าวไทย	ฟลูออเรสเซนต์สเปก ไตรสโคปี (เทียบกับไครซีน)	0.37 – 1.42 0.4 – 0.5 0.00 – 0.03 (เทียบกับไครซีน)	มนุวดี หังสพฤกษ์ (2522)
น้ำทะเล (1 เมตร) คืนตะกอน	อ่าวไทย	ฟลูออเรสเซนต์สเปก ไตรสโคปี	0.4 – 0.5 0.00 – 0.03 (เทียบกับไครซีน)	อรศัย อินทร์ พานิชย์ (2522)
น้ำทะเล (1 เมตร) คืนตะกอน	อ่าวไทยตอนบน และชายฝั่งทะเล ตะวันออก	ฟลูออเรสเซนต์สเปก ไตรสโคปี	0.04 – 5.65 (เม.ย. – พ.ค.) 0.06 – 6.10 (ก.ย.) 0.01 – 1.82 (เทียบกับไครซีน)	เพญ ใจสังพงษ์ชัย กุล และ ศุภวัตร แซลลี่ (2526)
น้ำ (1 เมตร)	แม่น้ำเจ้าพระยา แม่น้ำบางปะกง แม่น้ำท่าจีน	ฟลูออเรสเซนต์สเปก ไตรสโคปี	0.02 – 0.43 (น้ำหลาก) 0.51 – 0.80 (น้ำน้อย) 0.06 – 0.40 (น้ำหลาก) 0.32 – 0.68 (น้ำน้อย) 0.26 – 0.55 (น้ำหลาก) 0.25 – 0.75 (น้ำน้อย) 0.17 – 0.83 (น้ำหลาก)	วชรี ชาติกิตติคุณ วงศ์ (2529)
น้ำทะเล (1 เมตร) คืนตะกอน	อ่าวไทยตอนบน	ฟลูออเรสเซนต์สเปก ไตรสโคปี	0.65 – 8.30 0.70 – 62 (เทียบกับน้ำมันดิบ)	กัลยา วัฒนากร (2529)
น้ำทะเล (1 เมตร)	ชายฝั่งทะเล ตะวันออก (พัทยา – ตราด)	ฟลูออเรสเซนต์สเปก ไตรสโคปี	0.02 – 5.29 (ชายฝั่ง) 0.01 – 0.71 (ห่างฝั่ง)	ศรันย์ เพ็ชรพิรุณ (2531)

ตารางที่ 9 (ต่อ)

ตัวอย่าง	สถานที่ศึกษา	วิธีวิเคราะห์	ปริมาณไฮโดรคาร์บอน	อ้างอิง
ดินตะกอน	ปากแม่น้ำเจ้าพระยา และท่าเรือคลองเตย	แก๊สโครโนมาโทกราฟี	0.4 – 45.0 (นอร์มอลเคนรวม) 0.6 – 8.7 (อะโรมาติกรวม)	วัฒนา วิรุพหผล (2533)

หมายเหตุ : สำหรับน้ำตัวอย่างและอนุภาคแขวนลดอิมีหน่วยเป็น ไมโครกรัมต่อลิตร ($\mu\text{g}/\text{L}$)

: สำหรับตัวอย่างดินตะกอนมีหน่วยเป็น ไมโครกรัมต่อกิโลกรัม ($\mu\text{g}/\text{g}$)

ที่มา : เกศินี สรรวนิช (2534)

5. วิธีการกำจัดคราบน้ำมัน

การกำจัดคราบน้ำมันมีหลายวิธีดังนี้

5.1 การเผา (ภาพที่ 11) การใช้วิธีนี้ควรใช้ฟางชับน้ำมันแล้วนำไปเผาในที่ๆ สามารถควบคุมการลุกไหม้ได้

5.2 การใช้วัสดุดูดซับ เช่น ฟาง ขี้เดือย สารสังเคราะห์พลาสติก หรือ โพลีเมอร์ หรือ โพลีเมทิลเเทน มีวิธีดังนี้ คือ โยนหรือปะรำวัสดุดูดซับลงไปบนผิวน้ำที่มีคราบน้ำมันคลอยด์อยู่ น้ำมันจะถูกดูดซับเข้าไปไว้ในวัสดุดูดซับ จากนั้นทำการเก็บวัสดุดูดซับน้ำมันน้ำที่มีจากน้ำแล้วนำไปฝังหรือเผาต่อไป

5.3 การตักหรือข่อน เป็นวิธีที่ไม่ซับซ้อนแต่ต้องใช้แรงงานคนมาก เหตุสำหรับการกำจัดคราบน้ำมันที่มีปริมาณน้อย (เป้มศักดิ์ เมนะเศวต, 2543)

5.4 การนำกลับมาใช้โดยการนำคราบน้ำมันขึ้นมาแล้วนำไปกลับใหม่ ทั้งนี้น้ำมันที่แยกออกมานี้ได้ความมีคุณภาพดีพอสมควร ไม่หนืดมากจนเป็นคราบ ไม่ได้ และไม่มีตะกอนของแข็งเชื่อมปืนมากเกินไป

5.5 การฝังในดิน เป็นการนำส่วนของสิ่งที่ปนเปื้อนคราบน้ำมันที่ไม่สามารถนำกลับมาใช้ประโยชน์อีกรึไม่ได้ไปฝังในดิน ทั้งนี้สิ่งที่ฝังต้องมีน้ำมันปนอยู่ไม่เกิน 20% บริเวณที่ฝังควรอยู่ห่างไกลจากแหล่งน้ำธรรมชาติและบ่อน้ำน้ำดาด

5.6 การทำแlenด์ฟาร์ม เป็นวิธีที่อาศัยกระบวนการตามธรรมชาติและวิธีทางชีวภาพช่วยในการย่อยสลายคราบน้ำมัน โดยนำน้ำมันมาฝังใต้พื้นดิน พื้นที่ที่ทำแlenด์ฟาร์มควรเป็นพื้นที่ที่ไม่มีคุณค่ามากนัก อยู่ไกลจากแหล่งน้ำธรรมชาติและมีระดับน้ำใต้ดินอยู่ลึก (วันดี เกษมโกสินทร์, 2537)

5.7 วิธีทางเคมี คือการใช้สารเคมีช่วยกำจัดน้ำมัน แบ่งเป็น 2 ประเภทคือ

5.7.1 การลดความแตกต่างของแรงดึงดูดโดยใช้สารเคมีประเภทดิสเปอร์เซนท์ (dispersant) ทำให้แรงดึงดูดของน้ำมันมีค่าใกล้เคียงกับน้ำทะเล และคราบน้ำมันจะถูกคลื่นตีแตกกระจายเป็นหยดเล็กๆ และแยกออกจากกัน ด้วยเหตุที่น้ำทะเลมีปริมาณมากกว่าน้ำมัน ความเข้มข้นของน้ำมันจึงลดลงอย่างรวดเร็ว และการลดความเข้มข้นของน้ำมันจะทำให้ปฏิกริยาการย่อยสลายทางธรรมชาติเกิดขึ้น ได้อบ้างรวดเร็วขึ้น เนื่องจากหydronium ion มีขนาดเล็กกว่าพื้นที่ผิวในการเกิดปฏิกริยาระหว่างน้ำและแบคทีเรียมากขึ้น (วันดี เกษมโกสินทร์, 2537) ซึ่งสารเคมีที่ใช้เป็นสารเคมีที่มีไฮโดรคาร์บอนเป็นองค์ประกอบหลักดังนี้จึงมีส่วนให้เกิดความเป็นพิษหล่อหลอมอยู่ในสิ่งแวดล้อมต่อไปอีก (ชรัตน์ รุ่งเรืองศิลป์, 2533) ดังนั้นสารลดแรงดึงดูดที่ใช้จึงควรเป็นสารพอกที่สามารถย่อยสลายได้เองด้วยกระบวนการทางชีวภาพ และไม่สามารถใช้เป็นแหล่งการรบอนได้ดีกว่าน้ำมันดิบ รวมทั้งต้องไม่เป็นพิษต่อสิ่งแวดล้อม (Mulkins – Phillips and Stewart, 1974 อ้างโดย ปัญจพล ชื่โนนคุณ, 2543)

5.7.2 การทำให้จม โดยสารเคมีที่ทำให้น้ำมันรวมตัวกันแล้วเกิดการตกตะกอน ซึ่งไม่นิยมใช้เนื่องจากก่อให้เกิดผลกระทบตามมาหลายอย่าง เช่นทำให้การย่อยสลายทางชีวภาพมีประสิทธิภาพลดลง และตะกอนน้ำมันคงตัวอยู่นานขึ้น มีผลต่อสิ่งมีชีวิตอื่นๆ (Dodd, 1974 จ้างโดยปัญจพล ชิโนดม, 2543)

5.8 วิธีทางชีวภาพ ที่ผ่านมาการกำจัดคราบน้ำมันจะเป็นวิธีทางกายภาพและเคมีเป็นส่วนใหญ่ แต่ปัจจุบันมีผู้สนใจและระมัดระวังเกี่ยวกับสิ่งแวดล้อมมากขึ้น จึงได้มีการศึกษาการใช้วิธีทางธรรมชาติมากขึ้น มีการนำเอาจุลินทรีย์ตามธรรมชาติมาช่วยในการกำจัดคราบน้ำมันครั้งใหญ่ ตัวอย่างคือ ครั้งที่เรือบรรทุกน้ำมันเอกซอนเวลเดซ (Exxon Valdez) ประสบอุบัติเหตุในบริเวณที่เรียกว่า บรินช์วิลเลียมชาร์วัน นอร์ดอลาสกา ประเทศสหรัฐอเมริกา (Braddock et al., 1995 จ้างโดยปัญจพล ชิโนดม, 2543) ซึ่งการศึกษาในเรื่องนี้เริ่มนี้เริ่มขึ้นตั้งแต่ปี 1946 โดย Craude E Zobell ได้ศึกษาเกี่ยวกับจุลินทรีย์ในธรรมชาติที่มีความสามารถในการใช้ไฮโดรคาร์บอนเป็นแหล่งการรับประทานและพัฒนาสำหรับการเจริญเติบโตได้ และความสามารถในการใช้ไฮโดรคาร์บอนของจุลินทรีย์ขึ้นอยู่กับลักษณะทางเคมีของสารประกอบที่มีอยู่ในน้ำมันดิน (ปัญจพล ชิโนดม, 2543)



ภาพที่ 11 การกำจัดน้ำมันที่รั่วไหลด้วยเหล็กหัวดับเพลิงน้ำด้วยวิธีการเผา

ที่มา :

ภาพ 11-1 : <http://www.flmnh.ufl.edu/fish/southflorida/mangrove/Impacts.html>

ภาพ 11-2 : <http://www.cashassociates.com/images/oilspill-1.JPG>

ภาพ 11-3, 11-4, 11-5 : <http://www.itopf.com/alternat.html>

ภาพ 11-6 : <http://www.disaster-management.net/pic/Oilship.jpg>

6. วิธีนำบัดกรองชีวภาพ

การนำบัดกรองเป็นพิษของสารในกลุ่มปิโตรเลียม ไฮโดรคาร์บอนด้วยวิธีทางชีวภาพเป็นเทคโนโลยีหนึ่งที่นำมาใช้ในการกำจัดสารปนเปื้อนที่ออกม่าสู่สิ่งแวดล้อม และมีจุดประสงค์เพื่อที่จะเพิ่มอัตราการย่อยสลาย ไฮโดรคาร์บอนด้วยวิธีการย่อยสลายทางชีวภาพ โดยจุลินทรีย์ที่สามารถย่อยสลาย ไฮโดรคาร์บอนตามธรรมชาติ โดยผลิตภัณฑ์สุดท้ายต้องเป็นสารที่ไม่พิษ เช่น สารน้ำไดออกไซด์และน้ำ มีการศึกษาพบว่าจุลินทรีย์ในกลุ่มแบคทีเรีย ราียสต์ และสาหร่ายมีความสามารถในการย่อยสลายอนามัยน้ำมันดินและสารประกอบไฮโดรคาร์บอนชนิดต่างๆ ได้ (อรุณรัตน์ วัฒโน, 2542) มีรายงานว่า ไฮโดรคาร์บอนที่เป็นองค์ประกอบของน้ำมันดินส่วนใหญ่ ได้แก่ อะลิฟติกไฮโดรคาร์บอน และอะโรมาติกไฮโดรคาร์บอน สามารถถูกย่อยสลายได้ด้วยจุลินทรีย์ที่มีอยู่ในธรรมชาติ เมื่ออยู่ในสภาพมีอุณหภูมิในปริมาณที่เพียงพอ (Atlas, 1991 จ้างโดย ปัญจพล ชื่โนนดม, 2543)

เสานีย์ ธรรมสอดติ (2547) กล่าวว่า จุลินทรีย์สามารถเกิดกระบวนการย่อยสลายสารอินทรีย์ได้ด้วยวัตถุประมงค์ 2 รูปแบบ คือ

- การย่อยสลายเพื่อนำไปใช้ในการเจริญเติบโตของเซลล์ โดยเซลล์สามารถใช้สารมลพิษเป็นแหล่งพลังงานและแหล่งการรับน้ำได้
- การย่อยสลายแบบการใช้เป็นสารร่วมในปฏิกิริยาการเผาผลาญ (cometabolism) โดยจุลินทรีย์จะใช้สารอาหารปกติทั่วไปเป็นแหล่งพลังงานและแหล่งการรับน้ำเพื่อการเจริญเติบโต และขณะเดียวกันก็ย่อยสลายสารมลพิษได้ด้วยโดยไม่ถูกนำไปใช้ในการเจริญเติบโต

การนำบัด ไฮโดรคาร์บอนที่ปนเปื้อนด้วยวิธีการทางชีวภาพสามารถดำเนินการได้หลายวิธีทั้งนี้ขึ้นอยู่กับปัจจัยต่างๆ ที่มีผลต่อประสิทธิภาพในการย่อยสลาย ไฮโดรคาร์บอนของจุลินทรีย์ เช่น ความสามารถของเอนไซม์ของประชากรจุลินทรีย์ที่เดินลงไปย่อยสลาย ไฮโดรคาร์บอนที่ปนเปื้อน การควบคุมปัจจัยภายนอกที่มีผลต่อการย่อยสลาย ปริมาณของอุกซิเจนรวมถึงปริมาณของสารอาหารที่มีอยู่ ซึ่งล้วนแต่มีส่วนช่วยเพิ่มอัตราในการย่อยสลายของ ไฮโดรคาร์บอนที่ปนเปื้อนในสิ่งแวดล้อมทั้งสิ้น (Korda et al., 1997 จ้างโดย ปัญจพล ชื่โนนดม, 2543)

การเติมเชื้อจุลินทรีย์ (seeding) เป็นการเพิ่มจำนวนจุลินทรีย์ที่ย่อยสลายน้ำมันให้มากขึ้น เป็นการช่วยเร่งกระบวนการการที่มีอยู่ในธรรมชาติให้เร็วขึ้น ได้อิทธิหนึ่ง โดยเชื้อที่เติมควรเป็นจุลินทรีย์ที่มีประสิทธิภาพในการย่อยสลายองค์ประกอบที่มีอยู่ในน้ำมันได้เกือบทั้งหมด มีลักษณะทางพันธุกรรมคงที่ (genetic stability) เจริญเติบโตได้รวดเร็ว สามารถคงอยู่ได้ในระบบและทนต่อสภาพแวดล้อมได้ดี มีระบบเนoen ไนซ์ที่มีประสิทธิภาพ สามารถที่จะแบ่งขั้นกับจุลินทรีย์ท่องถิ่นได้ดี ไม่เป็นเชื้อก่อโรค (nonpathogenicity) รวมทั้งไม่ผลิตสารที่เป็นพิษอีกด้วย โดยการเติมเชื้อใน

ธรรมชาติส่วนใหญ่แล้วจะใช้เชื้อจุลินทรีย์สมเนื่องจากเชื้อเหล่านี้จะมีประสิทธิภาพในการย่อยสลายไฮโดรคาร์บอนในสิ่งแวดล้อมได้อย่างสมบูรณ์ (Leathy and Colwell, 1990 อ้างโดย ปัญจพล ชีโนคม, 2543) การเติมสารอาหาร เช่น การเพิ่มปริมาณไนโตรเจน และฟอสฟอรัสเข้าสู่บริเวณที่มีการปนเปื้อนของน้ำมัน เพื่อกระตุ้นหรือเพิ่มการเจริญเติบโตของจุลินทรีย์ที่มีอยู่แล้วในธรรมชาติ แต่ในทางปฏิบัติข้างต้องคำนึงถึงผลกระทบที่มีต่อสิ่งมีชีวิตชนิดอื่นด้วย เช่น ความเป็นพิษต่อสัตว์ ทะเล เป็นต้น (Atlas, 1991 อ้างโดย ปัญจพล ชีโนคม, 2543)

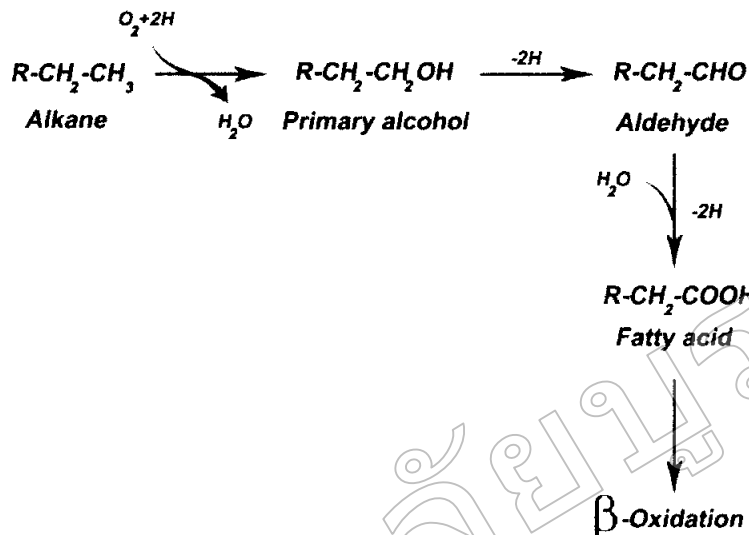
กลไกการย่อยสลายน้ำมันหรือสารประกอบไฮโดรคาร์บอนสามารถถูกแบ่งได้เป็น 2 ประเภทตามองค์ประกอบของน้ำมันคือ การย่อยสลายน้ำมันที่มีโครงสร้างเป็นสารประกอบอะลิฟติกไฮโดรคาร์บอน และที่มีโครงสร้างเป็นสารประกอบอะโรมาติกไฮโดรคาร์บอน ซึ่งทั้ง 2 ประเภทนี้มีโครงสร้างและกลไกในการย่อยสลายโดยจุลินทรีย์ที่แตกต่างกัน

6.1 การย่อยสลายสารประกอบอะลิฟติกไฮโดรคาร์บอน

การย่อยสลายอะลิฟติกไฮโดรคาร์บอนโดยจุลินทรีย์นี้ อะลิฟติกบางชนิดที่ปลายไม่มีหมุ่เมชลภาวะอยู่จะถูกย่อยสลายโดยเกิดปฏิกิริยา oxidation และ dehydrogenation มีการเปลี่ยนแปลงไปเป็นกรดไขมัน ซึ่งจะถูกย่อยสลายต่อโดยกลไกการเกิด β -oxidation ต่อไป (Atlas, 1988 อรวรรณ วัฒโน, 2542) ในการผ่านของการย่อยสลาย cyclohexane เกิดขึ้นโดยปฏิกิริยา hydroxylation โดยมีเอนไซม์ oxidase เป็นตัวเร่งปฏิกิริยา alicyclic alcohol จะเกิดการเปลี่ยนแปลงต่อไปโดยปฏิกิริยา dehydrogenation และ oxidation ได้เป็นสารประกอบ dicarboxylic acid ซึ่งจะเข้าสู่กลไกการเกิด β -oxidation ต่อไป ดังภาพที่ 12 (อรวรรณ วัฒโน, 2542)

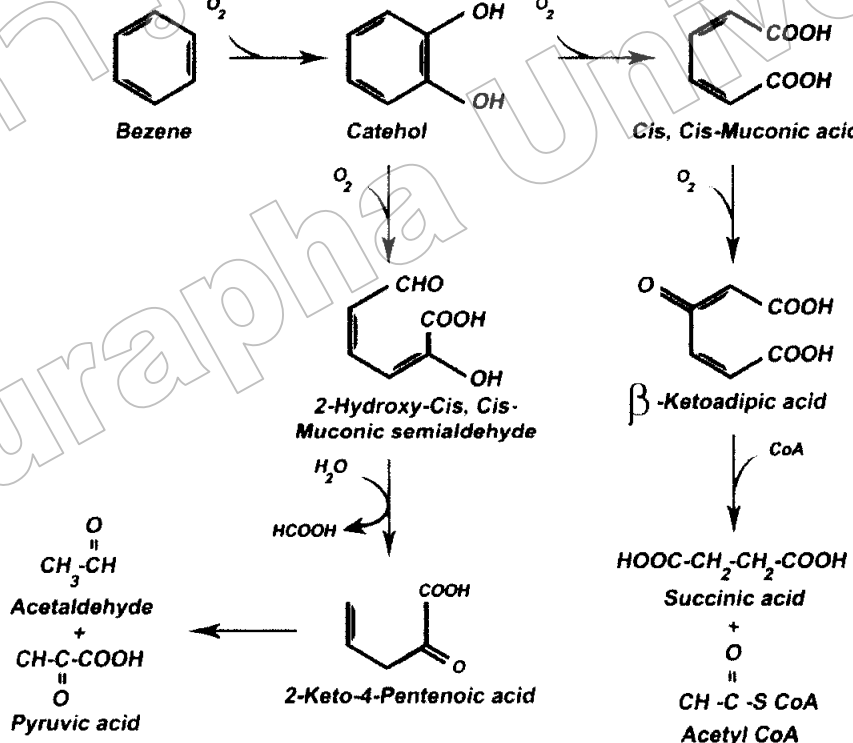
6.2 การย่อยสลายสารประกอบอะโรมาติกไฮโดรคาร์บอน

ขั้นตอนของการกระบวนการเริ่มต้นการย่อยสลายส่วนที่เป็น side chain แล้วจึงย่อยส่วนของ วงแหวนเบนซิน (สมศักดิ์ วงศ์วัฒโน, 2528 อ้างโดย อรวรรณ วัฒโน) กระบวนการย่อยดังกล่าว ต้องการออกซิเจน ปฏิกิริยาที่เกี่ยวข้องในกระบวนการคือการเกิด oxidation และ ring cleavage สาร เมตาโนไลต์ที่พบเกิดขึ้นในระหว่างที่มีการย่อยสลาย เช่น catechol ถูกเปลี่ยนแปลงต่อไปเป็น acetyl-coA หรือ pyruvic acid ซึ่งจะเข้าสู่ tricarboxylic acid cycle ต่อไป และในที่สุดหากกระบวนการย่อยสลายเกิดขึ้นอย่างสมบูรณ์จะได้ผลผลิตสุดท้ายคือการบ่อนอกไฮดรอลิกและน้ำ ดังภาพที่ 13 (อรวรรณ วัฒโน, 2542)



ภาพที่ 12 วิถีการย่อยสลายอะลิฟติกไฮโดรคาร์บอน

ที่มา : ดัดแปลงมาจาก อรุณรัตน วัฒโน (2542)



ภาพที่ 13 วิถีการย่อยสลายอะโรมาติกไฮโดรคาร์บอน

ที่มา : ดัดแปลงมาจาก อรุณรัตน วัฒโน (2542)

7. เอกสารงานวิจัยที่เกี่ยวข้อง

ปัญพลด ชื่โนดม (2543) ศึกษาจุลินทรีย์ที่สามารถย่อยสลายไฮโดรคาร์บอนในน้ำมันดิบจากตัวอย่างคืนปนเปื้อนน้ำมันและการต่อต้านจากน้ำมันน้ำเสีย สามารถคัดแยกจุลินทรีย์ได้ 3 สายพันธุ์คือ *Bacillus circulans*, *Pseudomonas alkaligenes* และ *Yarrowia* sp. ซึ่งทั้ง 3 ชนิดสามารถผลิตสารลดแรงตึงผิวชีวภาพได้ โดยพบว่าสายพันธุ์ *Pseudomonas* sp. และ *Yarrowia* sp. สามารถย่อยสลายไฮโดรคาร์บอนได้ 80% และ 82% ตามลำดับ และพบอีกว่าในสภาวะเดียวกันเชื้อพสมสามารถย่อยสลายน้ำมันได้ดีกว่าเชื้อเพียงชนิดเดียว นอกจากนี้ยังได้ทำการทดสอบทางสภาวะที่เหมาะสมที่สุดในการย่อยสลายน้ำมัน พบว่าสภาวะที่เหมาะสมที่สุดได้แก่ ค่าความเป็นกรด-ด่างเท่ากับ 8.0 อุณหภูมิ 20 องศาเซลเซียส ความเร็วของในการเขย่า 250 รอบต่อนาที ซึ่งสามารถทำให้ปริมาณไฮโดรคาร์บอนทั้งหมดลดลงได้ประมาณ 90% ภายในเวลา 3 วัน (ปัญพลด ชื่โนดม, 2543)

ศรีประภา ศุภจรัสวงศ์ (2541) ทำการคัดแยกจุลินทรีย์ 2 ชนิดที่มีความสามารถในการย่อยสลายน้ำมันได้จากระบบน้ำดันน้ำเสียของโรงกลั่นน้ำมันบางจาก และสามารถจัดจำแนกได้เป็นสายพันธุ์ *Bacillus circulans* และ *Pseudomonas alcaligenes* โดยพบว่า *Pseudomonas alcaligenes*สามารถย่อยน้ำมันได้ดีกว่า *Bacillus circulans* และในระหว่างทำการศึกษา *Bacillus circulans* ได้พบการปนเปื้อนของเชื้อ *Yarrowia lipolytica* ซึ่งพบว่าสามารถย่อยสลายน้ำมันได้เร็วกว่าทั้ง *Bacillus circulans* และ *Pseudomonas alcaligenes* (ศรีประภา ศุภจรัสวงศ์, 2541)

อรวรรณ วัฒโน (2541) ทำการคัดแยกแบคทีเรียที่มีความสามารถในการย่อยสลายน้ำมันดิบและสารประกอบ polycyclic aromatic hydrocarbon จากคืนปนเปื้อนสารประกอบไฮโดรคาร์บอน พนแบบที่เรียก 4 สายพันธุ์ พบว่า 2 สายพันธุ์อยู่ในสกุล *Pseudomonas* และอีก 2 สายพันธุ์อยู่ในสกุล *Acinetobacter* ทั้ง 4 สายพันธุ์ที่พบสามารถเจริญและย่อยสลายน้ำมันดิบได้ นอกจากนี้ยังมีความสามารถในการใช้ pyrene เป็นแหล่งพลังงานได้อีกด้วย (อรวรรณ วัฒโน, 2541)

วันดี เกษมโภสินทร์ (2537) ศึกษาแบคทีเรียที่ย่อยสลายน้ำมันดิบที่แยกได้จากน้ำและต่อต้านจากแหล่งต่างๆที่มีการปนเปื้อนน้ำมันดิบบริเวณท่าเรือแหลมฉบัง และบริษัทไทยอยล์จำกัด พบว่าเป็นแบคทีเรียเหล่านี้เป็นแบคทีเรียประจำถิ่น จัดอยู่ในแกรมลบ รูปท่อ ไม่หมักย่อยน้ำตาลกรูโคส ได้แก่ *Pseudomonas aeruginosa*, *Pseudomonas putida*, *Xanthomonas maltophilia* และ *Flavobacterium meningosepticum* โดยพบว่า *P. aeruginosa* เป็นชนิดที่มีประสิทธิภาพในการย่อยสลายน้ำมันดิบได้ดีที่สุด ขณะบ่มเชื้อที่อุณหภูมิ 30 องศาเซลเซียส ความเร็วของในการเขย่า 150 รอบต่อนาที นาน 4 วัน แต่ *X. maltophilia* และ *F. meningosepticum* จะใช้เวลาในการย่อยนาน 7 วัน ส่วน *P. putida* ไม่สามารถย่อยน้ำมันดิบได้อย่างสมบูรณ์ (วันดี เกษมโภสินทร์, 2537)

Cohen (2002) ได้ทำการคัดแยกสาหร่ายสีเขียวแกมน้ำเงิน 2 สายพันธุ์จากชายฝั่งแอฟริกาของอ่าวซูเอช และใน Pristine Solar Lake ของ Sinai คือ *Phormidium* spp. และ *Oscillatoria* spp. ซึ่งมีประสิทธิภาพในการย่อยสาลัยน้ำมันดิบ ได้ในสภาวะที่มีแสง แต่พบว่าไม่สามารถย่อยน้ำมันได้ในชุดการทดลองสายพันธุ์เดียว (Cohen, 2002)

Iyer et al. (2005) ทำการศึกษาเกี่ยวกับการดูดซับโลหะหนักโดยแบคทีเรียในทะเล พบร่วมกับ exopolysaccharide ที่ถูกผลิตโดยแบคทีเรียที่อาศัยในทะเลสายพันธุ์ *Enterobacter cloaceae* มีคุณสมบัติในการเกาะจับโลหะหนัก คือ แคลมเมี่ยม ทองแดง และ โภบอตต์ แต่ไม่สามารถเกาะจับprototh ได้ (Iyer et al., 2005)

Atlas (1995) พบร่วมกับการย่อยสาลัย ไออการ์บอนตามธรรมชาติสามารถเกิดขึ้นได้โดยจุลชีพประจำถิ่นที่มีความสามารถนำไออการ์บอนมาใช้ประโยชน์ในการเจริญเติบโต ซึ่งโดยทั่วไปแล้วจากประชากรจุลชีพทั้งหมดในระบบนิเวศมีเพียง 1% เท่านั้นที่มีความสามารถในการย่อยสาลัย ไออการ์บอน แต่เมื่อมีมลพิษจากน้ำมันเข้าสู่สิ่งแวดล้อมจะทำให้มีปริมาณเพิ่มขึ้นเป็น 10% โดยการย่อยสาลัยโดยจุลชีพตามธรรมชาตินี้จะดำเนินไปอย่างช้าๆ ซึ่งมีการวิจัยพัฒนาเพื่อเพิ่มความสามารถในการย่อยสาลัยให้มากขึ้น โดยการเติมจุลชีพชนิดที่สามารถย่อยไออการ์บอนอย่างมีประสิทธิภาพลงไปช่วยกระตุ้นให้เกิดการย่อยสาลัย ไออการ์บอน ได้เร็วขึ้น แต่กระบวนการยังพบว่า การย่อยสาลัยยังคงมีอัตราที่ค่อนข้างต่ำ ดังนั้นจึงมีการใช้ปัจจัยเติมเข้าไปในสิ่งแวดล้อมนั้น เพื่อเพิ่มชาตุอาหารจำพวก ไนโตรเจน (N) และฟอสฟอรัส (P) เป็นการกระตุ้นให้จุลชีพมีชาตุอาหารเพิ่มขึ้นในการเจริญเติบโตและสามารถย่อยสาลัย ไออการ์บอน ได้อย่างรวดเร็วและมีประสิทธิภาพมากขึ้น (Atlas, 1995)

Sardessai and Bhosle (2002) พบร่วมกับแบคทีเรียในกลุ่มที่ทนตัวทำละลายอินทรี (organic solvent tolerant bacteria) เป็นแบคทีเรียที่มีความสามารถสำคัญ เนื่องจากมีความสามารถในการเป็นตัวเร่งปฏิกิริยาทางชีวภาพ (bio-catalysis) ในกระบวนการหมักและการบำบัด ไออการ์บอนในน้ำทึ้งจากโรงงานอุตสาหกรรมด้วยวิธีทางชีวภาพ จุลชีพหลายชนิดมีความสามารถในการย่อยสาลัย ตัวทำละลายอินทรีด้วยวิธีทางชีวภาพ แต่มีจุดจำกัดความทนต่ำเพียง 0.3% (v/v) ซึ่งเป็นปัจจัยกำจัดที่สำคัญในการย่อยสาลัยทางชีวภาพในสิ่งแวดล้อมตามธรรมชาติ แบคทีเรียในกลุ่มที่ทนตัวทำละลายอินทรีสามารถใช้่อนไชม์ในการลดปริมาณสารจำพวกเบนซีนและโทลูอินลงได้ในความเข้มข้นระดับส่วนในล้านส่วน (part per million : ppm) นอกจากนี้ยังได้ทำการคัดแยกพบแบคทีเรียแกรมบวกสายพันธุ์ *Bacillus* ซึ่งมีความสามารถทนทานต่อตัวทำละลายอินทรีจำพวก n-butanol จากป้าชาเย็น โดยพบว่ามีความสามารถในการย่อยสาลัยทั้งอะลิฟติกและอะโรมาติก

ไฮโดรคาร์บอน อีกทั้งยังมีบทบาทสำคัญในกระบวนการนำบัคน้ำเสียและการย่อยสลายทางชีวภาพด้วย (Sardessai and Bhosle, 2002)



บทที่ 3

วิธีดำเนินการวิจัย

อุปกรณ์ที่ใช้ในการทดลอง

1. ตู้บ่มเชื้อ (incubator) รุ่น MIR - 553 ของบริษัท SANYO Electric Biomedical Co., Ltd., Japan
2. ตู้บ่มเชื้อ (incubator) รุ่น MIR - 262 ของบริษัท SANYO Electric Biomedical Co., Ltd., Japan
3. เครื่องเขย่า (shaker) รุ่น C 1 plat form shaker ของบริษัท New Brunswick Scientific Co.Inc., U.S.A.
4. ตู้ปลอดเชื้อแบบ laminar flow ของบริษัท Bosstech Scientific Instrument, Thailand
5. ตู้ปลอดเชื้อ ของบริษัท SANYO Electric Biomedical Co., Ltd., Japan
6. หม้อนั่งความดัน รุ่น MLS - 3780 ของบริษัท ของบริษัท SANYO Electric Biomedical Co., Ltd., Japan
7. เครื่องซั่ง รุ่น cp3202 s ของบริษัท Satorius, U.S.A.
8. กล้องจุลทรรศน์ รุ่น DME ของบริษัท Leica Microsystems Inc., U.S.A.

วิธีการศึกษา

1. การเก็บตัวอย่าง

เก็บตัวอย่างดินจากบริเวณชายฝั่งที่มีการปนเปื้อนสารประกอบไฮโดรคาร์บอนในธรรมชาติ โดยเก็บตัวอย่างที่บริเวณท่าเรืออ่าวคุ้งกระเบนและท่าเรือปากแม่น้ำแม่น้ำ อ.ท่าใหม่ จ.จันทบุรี โดยสังเกตบริเวณที่มีคราบน้ำมันอยู่ เก็บตัวอย่างมาทำการทดลองทันที (ดัดแปลงจาก อรวรรณ วัฒโน, 2542)

2. การเพิ่มความกันทาน (Tolerant)

นำตัวอย่างดิน 1 กรัม ใส่ลงในขวดรูปชามพูขนาด 250 มิลลิลิตร ทับบรรจุน้ำทะเลที่ผ่านการฆ่าเชื้อและน้ำมันดินที่ฆ่าเชื้อแล้ว 90 และ 10 มิลลิลิตรตามลำดับ แล้วนำไปบ่มที่อุณหภูมิห้อง ความเร็วอยู่ในการเขย่า 200 รอบต่อนาที นาน 30 วัน (ดัดแปลงจาก Sardessai, 2002)

3. การเพิ่มจำนวนจุลินทรีย์ (Enrichment)

คุณตัวอย่างใส่ในขวดรูปชามพูที่บรรจุอาหารเหลว LBMG broth ปริมาตร 90 มิลลิลิตร และน้ำมันดินที่ฆ่าเชื้อแล้ว 10 มิลลิลิตร นำไปบ่มที่อุณหภูมิห้อง ความเร็วอยู่ในการเขย่า 200 รอบต่อนาที จนเชื้อเจริญ โดยสังเกตจากอาหารเลี้ยงเชื้อที่มีความชุ่มเพิ่มขึ้น (ดัดแปลงจาก อรวรรณ วัฒโน, 2542)

4. การแยกเชื้อบริสุทธิ์ (Purified)

นำตัวอย่างมาแยกเชื้อบริสุทธิ์ ด้วยเทคนิค streak plate ลงบนจานเพาะเชื้อที่มีอาหารเลี้ยง เชื้อ LBMG agar ซึ่งเกลี่ยผิวน้ำอาหารด้วยน้ำมันดิน 0.1 % (v/v) นำไปบ่มที่อุณหภูมิ 30 °C จนสังเกตเห็นเชื้อจุลินทรีย์เจริญเป็นโคลoni บนผิวน้ำอาหาร ได้เชื้อจุลินทรีย์ผสม (mixed cultures) หลังจากนั้นนำมาราทำ การแยกบริสุทธิ์เป็นเชื้อชนิดเดียวๆ โดยคัดแยกโคลoni ที่มีลักษณะแตกต่างกัน นำไปเลี้ยงในจานเลี้ยงเชื้อ LBMG agar ใหม่พร้อมทั้งกำหนดรหัสของเชื้อ นำไปบ่มที่อุณหภูมิ 30 °C จนเชื้อเจริญเป็นโคลoni เดียว (pured cultures) นำส่วนหนึ่งของเชื้อจุลินทรีย์บริสุทธิ์ที่แยกได้ไปเก็บรักษาไว้เป็นเชื้อสำรอง (stock cultured) (ดัดแปลงจาก อรวรรณ วัฒโน, 2542)

5. การถ่ายภาพโคลoni

นำเชื้อที่ต้องการศึกษามาทำการฟื้นสภาพเชื้อ (refresh) ในอาหารเลี้ยงเชื้อ LBMG broth บ่มที่อุณหภูมิ 30 °C ทำการแยกเชื้อด้วยเทคนิค streak plate บนอาหารเลี้ยงเชื้อ LBMG agar บ่มที่

อุณหภูมิ 30 °C บันทึกภาพโคลนีของเชื้อแต่ละชนิดด้วยกล้องถ่ายภาพ โดยรองใต้จานเพาะเชื้อด้วยกระดาษสีดำ

6. การย้อมสีแกรม (Gram's stain)

เลือกเชื้อที่ต้องการศึกษาในจานเพาะเชื้อที่มี LBMG agar บ่มที่อุณหภูมิ 30 °C ใช้ลิตรเขียวเชื้อและเชื้อที่ต้องการศึกษามาทำการกระจายบนแผ่นสไลด์ที่สะอาดที่มีน้ำกลั่นที่ผ่าเชื้อแล้ว 1 loopful ทึบให้แห้งที่อุณหภูมิห้อง นำไปผ่านเปลวไฟ 2 – 3 ครั้ง ย้อมสีด้วยสารละลายแกรมคริสตัลไวโอลีต (Gram's crystal violet solution) เป็นเวลา 1 นาที เทสีทิ้งแล้วย้อมด้วยสารละลายแกรมไอโอดีน (Gram's iodine solution) เป็นเวลา 1 นาที จากนั้นล้างสีส่วนเกินออกด้วย 95% เอทานอล เป็นเวลา 20 วินาที และล้างด้วยน้ำกลั่น แล้วย้อมด้วยสารละลายแกรมซาฟราโนนิโอล (Gram's safranin staining solution) เป็นเวลา 30 วินาที ล้างน้ำแล้วซับให้แห้ง นำไปส่องดูด้วยกล้องจุลทรรศน์และบันทึกภาพ (ดัดแปลงจาก ปัญจพล ชีโนดม, 2543)

7. การวัดอัตราการเจริญเติบโต

ทำการวัดอัตราการเจริญเติบโตของเชื้อที่ต้องการศึกษาด้วยเทคนิค viable plate count โดยนำเชื้อที่ต้องการวัดอัตราการเจริญเติบโตมาทำการ refresh ในหลอดทดลองบรรจุอาหารเหลว LBMG broth ปริมาณ 5 มิลลิลิตร บ่มที่อุณหภูมิ 30 °C เป็นเวลา 16 ชั่วโมง หลังจากนั้นจึงถ่ายเชื้อให้มีปริมาณเริ่มต้นเท่ากับ 5 % (v/v) ลงในอาหารเหลว LBMG broth นำไปบ่มที่อุณหภูมิ 30 °C นาน 8 ชั่วโมงเพื่อให้อยู่ในช่วง log phase จากนั้นทำการถ่ายเชื้อลงในขวดรูปชามพู่ขนาด 250 มิลลิลิตรที่บรรจุอาหารเหลว LBMG broth ที่มีน้ำมันดินปริมาณ 10 % (v/v) ผสมอยู่โดยให้มีความเข้มข้นของเชื้อเริ่มต้นเท่ากับ 5 % (v/v) บ่มที่อุณหภูมิ 30 °C ความเร็วrobในการเขย่า 200 รอบต่อนาที และทำการเก็บตัวอย่างทุก 2 ชั่วโมงโดยเริ่มจากชั่วโมงที่ 0 จนครบ 24 ชั่วโมง นำมาทำการวัดอัตราการเจริญเติบโต หลังจากนั้นนำค่าที่ได้มาเขียนกราฟแสดงอัตราการเจริญเติบโต และหาค่าอัตราการเจริญเติบโตจำเพาะ (specific growth rate) (ดัดแปลงจาก ปัญจพล ชีโนดม, 2543)

บทที่ 4

ผลและการวิจารณ์ผลการทดลอง

1. การคัดแยกจุลินทรีย์ที่คาดว่าสามารถย่อยสลายปีโตรเลียมไฮโดรคาร์บอนได้

จากการเก็บตัวอย่างดินจากบริเวณท่าเรืออ่าวคุ้งกระเบน และท่าเรือปากแม่น้ำแม่舅 อ.ท่าใหม่ จ.จันทบุรี เมื่อวันที่ 15 ตุลาคม พ.ศ.2548 มาเพื่อทำการตรวจหาจุลินทรีย์ชนิดที่สามารถย่อยสลายปีโตรเลียมไฮโดรคาร์บอนได้ โดยเก็บตัวอย่างดินจากบริเวณที่มีคราบน้ำมันปนเปื้อน ในการคัดแยกเบื้องต้นด้วยวิธีการคัดแยกเชื้อที่สามารถทนทานต่อสิ่งแวดล้อมที่มีไฮโดรคาร์บอนปนเปื้อน ในปริมาณสูงพบว่ามีเชื้อจุลินทรีย์รอดชีวิตทั้งหมด 30 ชนิด โดยสังเกตความแตกต่างจากกลุ่มของโคลิโนนีเบื้องต้นของเชื้อ ดังตารางที่ 10 และ 11 สรุปคล้องกับการรายงานของ Buckley et al. (1976) ถึงโดย ปัญจพล ชิโนดม (2543) ที่รายงานว่า จุลินทรีย์ที่สามารถคัดแยกได้จากบริเวณที่มีการปนเปื้อนน้ำมันส่วนใหญ่จะมีความสามารถในการเจริญได้ในไฮโดรคาร์บอน ซึ่งคาดว่าเซลล์ของจุลินทรีย์เหล่านี้มีกลไกในการปรับตัวต่อความเป็นพิษของไฮโดรคาร์บอนที่มีปริมาณสูงได้ โดยสัมมฐานว่า งานนี้มีพึงกลไกซึ่งช่วยป้องกันความเป็นพิษจากไฮโดรคาร์บอนได้เท่านั้น ในขณะที่บางชนิดมีกลไกที่สามารถนำไฮโดรคาร์บอนในสิ่งแวดล้อมมาใช้ประโยชน์ในกิจกรรมของเซลล์เพื่อการเจริญเติบโตได้ ซึ่งข้อสัมมฐานนี้ตรงกับการรายงานของ Atlas (1981) ถึงโดย ปัญจพล ชิโนดม (2543) ที่รายงานว่า จุลินทรีย์ที่พบในบริเวณที่เคยมีการปนเปื้อนน้ำมัน มักเป็นจุลินทรีย์ที่มีความสามารถในการย่อยสลายน้ำมันได้

ต่อมาเมื่อทำการเก็บรักษาระดับจุลินทรีย์ไว้เป็น stock cultured พบร่วมกับจุลินทรีย์รอดชีวิตเหลือเพียง 15 ชนิด คือ KB02, KB07, KB08, KB11, KB14, KB17, KN01, KN02, KN03, KN04, KN05, KN06, KN07, KN08 และ KN09 อาจเกิดจากสภาพที่ใช้ในการเก็บรักษาไม่เหมาะสมหรือเชื้อจุลินทรีย์ไม่สามารถปรับตัวทนต่อสภาพแวดล้อมที่เปลี่ยนแปลงไปมากได้ เมื่อทำการเก็บรักษาระดับจุลินทรีย์ในอุณหภูมิที่ต่ำกว่าสิ่งแวดล้อมปกติอาจทำให้เกินขีดจำกัดความทนทานของเชื้อนั้น อีกทั้งที่อุณหภูมิต่ำยังส่งผลให้น้ำมันมีคุณสมบัติเปลี่ยนแปลงไปโดยมีความหนืดเพิ่มมากขึ้น ทำให้ความสามารถในการเกิดอิมัลชันลดลง เป็นสาเหตุให้การย่อยสลายเกิดขึ้นช้าลง (Atlas and Bartha, 1972 ถึงโดย ปัญจพล ชิโนดม, 2543) นอกจากนี้ที่อุณหภูมิต่ำยังทำให้กิจกรรมของเอนไซม์ลดลง เป็นผลให้เกิดการย่อยสลายลดลงตามไปด้วย (Floodgate, 1984 ถึงโดย ปัญจพล ชิโนดม, 2543) และยังอาจส่งผลให้เซลล์จุลินทรีย์มีกลไกป้องกันความเป็นพิษของไฮโดรคาร์บอนผิดปกติไปหรือไม่สามารถดำเนินกิจกรรมได้ตามปกติ ทำให้ความเป็นพิษของไฮโดรคาร์บอนมีผล

ต่อเซลล์รุนแรงขึ้น โดยอาจไปทำการยับยั้งกระบวนการหายใจของจุลินทรีย์และการใช้ชับสเตรทที่ไม่ใช่ไฮโดรคาร์บอน เช่น การสร้าง ATP กิจกรรมของเอนไซม์ดีไฮดรอเจนase (dehydrogenase activity) เป็นต้น (ปัญจพล ชื่อคน, 2543) รวมกับการที่เซลล์อ่อนแอกลงเนื่องจากสภาพแวดล้อมเปลี่ยนไปและไม่เหมาะสม ทำให้จุลินทรีย์นี้ไม่สามารถมีชีวิตอยู่ได้

ตารางที่ 10 ลักษณะโคลoniของเชื้อซึ่งคัดแยกได้จากบริเวณท่าเรืออ่าวคุ้งกระเบนทั้งหมด 21 ชนิด

ชนิดที่	รหัสเชื้อ	ลักษณะโคลoniเบื้องต้น			ขอบ (margin)
		สี (colour)	รูปร่าง (form)	การยกตัว (elevation)	
1	KB01	เหลืองมันเงา	circular	convex	entire
2	KB02	เหลืองอ่อนมันเงา	circular	convex	entire
3	KB03	เหลืองมันเงา	circular	convex	entire
4	KB04	ขาวมันเงา	circular	convex	entire
5	KB05	เหลืองมันเงา	circular	convex	entire
6	KB06	ขาวมันเงา	circular	convex	entire
7	KB07	ขาวปะรุงแสงมันเงา	circular	convex	entire
8	KB08	ขาวหยาบทึบแสง	circular	umbonate	undulate
9	KB09	เหลืองขาวมันเงา	circular	convex	entire
10	KB10	ขาวปะรุงแสงมันเงา	circular	convex	entire
11	KB11	เหลืองหยาบทึบแสง	circular	umbonate	undulate
12	KB12	เหลืองมันเงา	circular	convex	entire
13	KB13	ขาวปะรุงแสงมันเงา	circular	convex	entire
14	KB14	ขาวมันเงา	circular	convex	entire
15	KB15	เหลืองมันเงา	circular	convex	entire
16	KB16	เหลืองมันเงา	circular	convex	entire
17	KB17	ขาวเหลืองมันเงา	circular	convex	undulate
18	KB18	เหลืองมันเงา	circular	convex	entire
19	KB19	ขาวปะรุงแสงมันเงา	circular	convex	entire
20	KB20	ขาวทึบแสงมันเงา	circular	convex	entire
21	KB21	ขาวปะรุงแสงมันเงา	circular	convex	entire

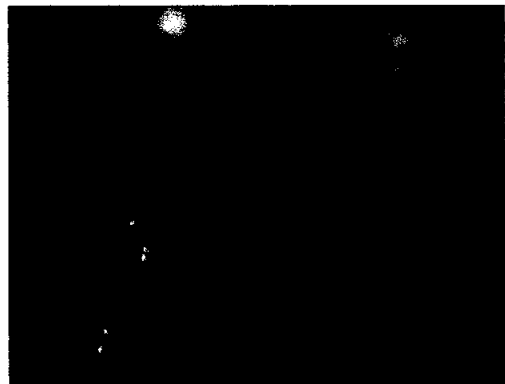
ตารางที่ 11 ลักษณะโคโลนีของเชื้อซึ่งคัดแยกได้จากบริเวณท่าเรือปากแม่น้ำแม่น้ำห้วยหมก 9 ชนิด

ชนิดที่	รหัสเชื้อ	สี (colour)	ลักษณะโคโลนีเมืองต้น		
			รูปร่าง (form)	การยกตัว (elevation)	ขอบ (margin)
1	KN01	ขาวทึบแสงมันเงา	circular	convex	entire
2	KN02	ผ้าใบปะรังแสง	irregular	raised	undulate
3	KN03	ผ้าใบปะรังแสง	irregular	raised	undulate
4	KN04	ผ้าใบปะรังแสง	irregular	raised	undulate
5	KN05	ผ้าใบปะรังแสง	irregular	raised	undulate
6	KN06	ขาวทึบแสงมันเงา	circular	convex	entire
7	KN07	ขาวขุ่นทึบแสงมันเงา	circular	convex	entire
8	KN08	ขาวขุ่นทึบแสงมันเงา	circular	convex	entire
9	KN09	ขาวมันเงา	circular	convex	entire

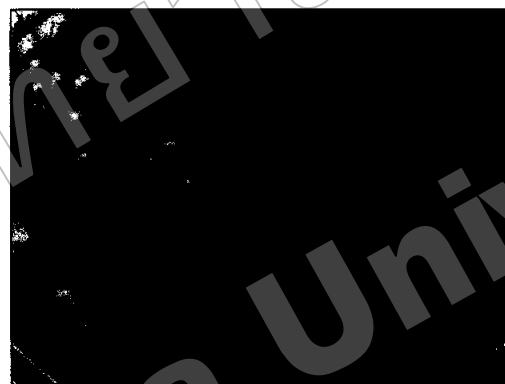
จากลักษณะโคโลนีที่แตกต่างกันจึงสามารถคัดเลือกเชื้อโคลนิทรีย์ที่สนใจทำการศึกษา 3 ชนิดคือ รหัส KB08, KB11 และ KN09

2. การถ่ายภาพโคโลนี

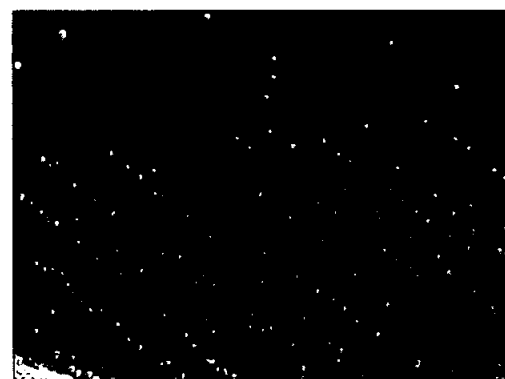
ทำการถ่ายภาพโคโลนีบนจานเพาะเชื้อที่มีอาหารเลี้ยงเชื้อ LBMG agar โดยใช้เทคนิค streak plate บ่มที่อุณหภูมิ 30 °C จนกระหังเชื้อเจริญขึ้นเป็นโคโลนีเดี่ยว ทำการบันทึกภาพโคโลนีของเชื้อแต่ละชนิดด้วยกล้องถ่ายภาพ โดยรองให้จานเพาะเชื้อด้วยกระดาษสีดำ สามารถถ่ายภาพโคโลนีของเชื้อ 3 ชนิดที่ถูกคัดเลือกได้ดังภาพที่ 14, 15 และ 16



ภาพที่ 14 ลักษณะโคลนีของเชือรหัส KB08 ซึ่งมีสีขาวทรายทึบแสง รูปร่างเป็นวงกลม (circular) การยกตัวเป็นแบบมีจุกขอด (umbonate) และขอบไม่เรียบ (undulate)



ภาพที่ 15 ลักษณะโคลนีของเชือรหัส KB11 ซึ่งมีสีเหลืองทรายทึบแสง รูปร่างเป็นวงกลม (circular) การยกตัวเป็นแบบมีจุกขอด (umbonate) และขอบไม่เรียบ (undulate)



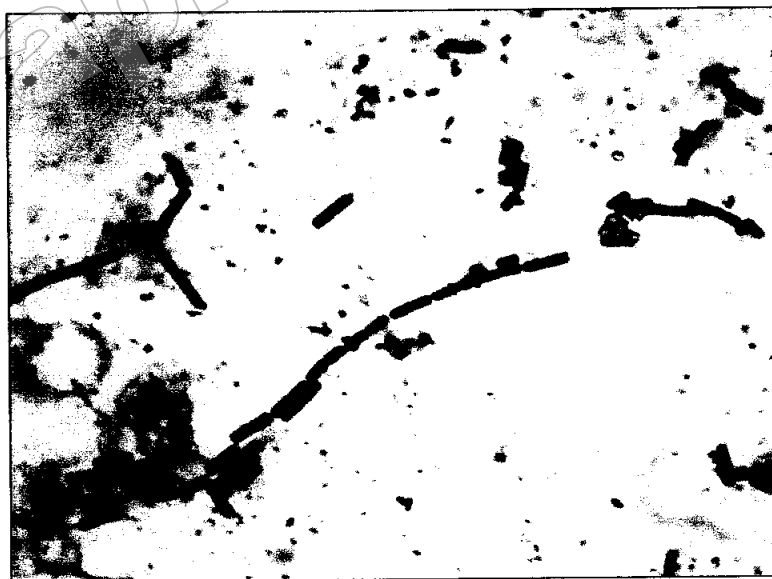
ภาพที่ 16 ลักษณะโคลนีของเชือรหัส KN09 ซึ่งมีสีขาวมันเงา รูปร่างเป็นวงกลม (circular) การยกตัวเป็นแบบโค้งมนจากผิวอาหาร (convex) และขอบเรียบ (entire)

3. การย้อมสีแกรม (gram's stain)

ทำการย้อมสีแกรมเชือทั้ง 3 ชนิด นำไปส่องดูด้วยกล้องจุลทรรศน์ที่กำลังขยาย 1000x พบร้า เชื้อรหัส KB08 และ KB11 มีลักษณะเป็นเซลล์รูปท่อนยาว (long rod) แกรมบวก ส่วนเชื้อรหัส KN09 มีลักษณะเป็นเซลล์รูปท่อนสั้น (short rod) แกรมลบ ดังแสดงในภาพที่ 17, 18 และ 19



ภาพที่ 17 ลักษณะเซลล์รูปท่อนยาว และติดสีแกรมบวกของเชื้อรหัส KB08 (กำลังขยาย 1000x)



ภาพที่ 18 ลักษณะเซลล์รูปท่อนขาว และติดสีแกรมลบของเชื้อรหัส KB11 (กำลังขยาย 1000x)



ภาพที่ 19 มีลักษณะเซลล์รูปห่อหันสั้น และติดตื้นๆ แกรมลบของเชื้อรหัส KN09 (กำลังขยาย 1000x)

จากการคัดเลือกเชื้อจุลินทรีย์มาทำการศึกษา 3 ชนิดคือ รหัส KB08, KB11 และ KN09 พนักงานลักษณะเป็นรูปห่อหันทั้ง 3 ชนิดซึ่งสอดคล้องกับงานวิจัยของวนดี เกษมโภสินทร์ (2537) และอรรรรถ วัฒโน (2542) ซึ่งพบว่าเชื้อจุลินทรีย์ที่มีความสามารถในการย่อยสลายน้ำมันดิบซึ่งสามารถคัดแยกได้จากแหล่งต่างๆ มีลักษณะรูปร่างเซลล์เป็นแบบห่อหันทั้งหมด แต่ขัดแย้งกับการรายงานของสมศักดิ์ วงศ์ใน (2528) ที่กล่าวว่าแบคทีเรียที่มีคุณสมบัติในการย่อยสลายไฮโดรคาร์บอนไดค์ คือกลุ่มนี้มีรูปร่างทรงกลม นอกจากนี้ผลการศึกษาการข้อมูลการยังคงสภาพลักษณะของเชื้อจุลินทรีย์ทั้งชนิดที่เป็นแกรมบวก และแกรมลบ ได้ในจุลินทรีย์ทั้งชนิดที่เป็นแกรมบวก และแกรมลบ

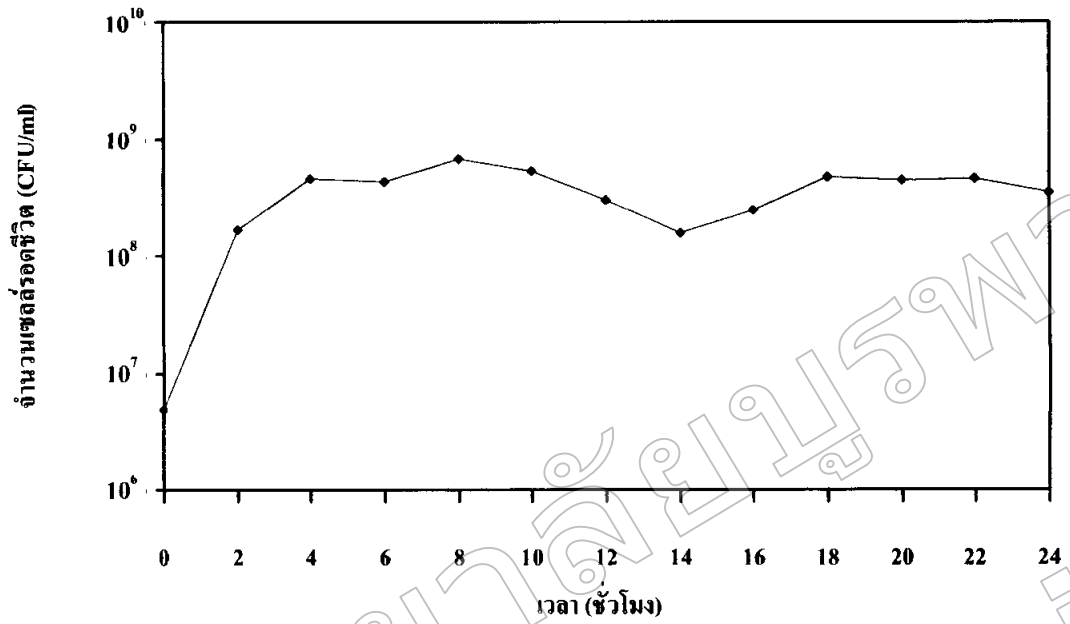
4. การวัดอัตราการเจริญเติบโต

วัดอัตราการเจริญเติบโตของเชื้อ 3 ชนิด ด้วยเทคนิค viable plate count โดยนำเชื้อที่ต้องการวัดอัตราการเจริญเติบโตมาทำการเจือจาง (dilution) เพื่อลดความเข้มข้นของเชื้อ แล้วเกลี่ยลงในจานเพาะเชื้อให้ทั่วด้วยเทคนิค spread plate จากนั้นบ่มที่อุณหภูมิ 30 °C เป็นเวลา 24 ชั่วโมง แล้วนับจำนวนโคโลนี นำค่าที่ได้มาเขียนกราฟการเจริญเติบโต แสดงในภาพที่ 20, 21 และ 22 จะเห็นได้ว่าเชื้อรหัส KB08 และ KB11 มีลักษณะเส้นกราฟที่ใกล้เคียงกันเป็นอย่างมากและสิ้นสุดระยะ log phase ที่ประมาณชั่วโมงที่ 4 โดยมีปริมาณเซลล์สูงสุดเท่ากับ 4.50×10^8 CFU/ml และ

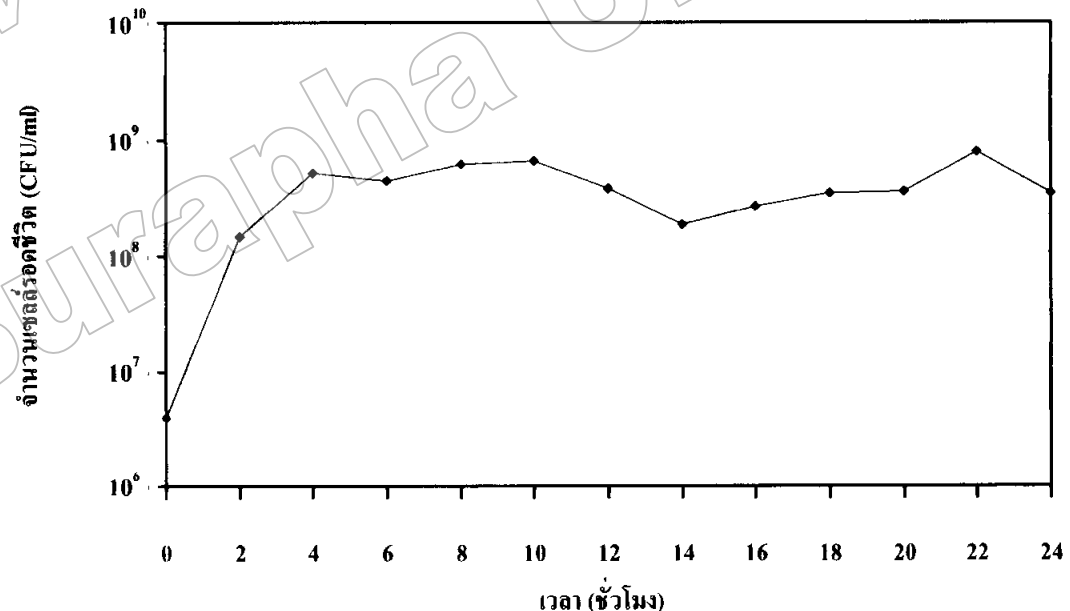
5.16×10^8 CFU/ml ตามลำดับ ส่วนเชื้อรหัส KN09 มีลักษณะเส้นกราฟที่แตกต่างออกไปโดยสิ้นสุดระยะ log phase ที่ประมาณชั่วโมงที่ 8 และปริมาณเซลล์สูงสุดเท่ากับ 1.15×10^9 CFU/ml

จากการศึกษาลักษณะของกราฟแสดงอัตราการเจริญเติบโตพบว่าเชื้อจุลินทรีย์รหัส KB08 และ KB11 มีลักษณะเส้นกราฟที่ใกล้เคียงกันเป็นอย่างมาก รวมถึงผลจากการศึกษาลักษณะโคลนน์และการข้อมูลแกรนบังพนว่าเชื้อทั้งสองชนิดยังมีโคลนน์และลักษณะเซลล์ที่คล้ายคลึงกัน โคลนน์ของเชื้อรหัส KB11 มีสีเหลืองในขณะที่โคลนน์ของเชื้อรหัส KB08 มีสีขาว นอกจากนี้เชื้อทั้งสองชนิดลักษณะคล้ายกับจุลินทรีย์สายพันธุ์ B3-1 ในงานวิจัยของปัญจพล ชินคง (2543) เป็นอย่างมาก โดยจุลินทรีย์สายพันธุ์ B3-1 เป็นจุลินทรีย์ที่มีความสามารถในการย่อยสารอาหารน้ำมันได้ มีลักษณะโคลนน์เป็นสีครีมนวล ผิวด้าน ไม่มันวาว ขอบหยักเด่นอยู่รูปร่องเซลล์เป็นแบบท่อนเรียงตัวต่อ กันเป็นสายและมีลักษณะเป็นแกรนบวก สามารถจัดจำแนกได้เป็นสกุล *Bacillus* sp. เมื่อเปรียบเทียบอัตราการเจริญเติบโตแล้ว พบร่วมกันความคล้ายคลึงกัน กล่าวคือจุลินทรีย์สายพันธุ์ B3-1 มีระยะ log phase สิ้นสุดที่ประมาณชั่วโมงที่ 6 และที่ชั่วโมงที่ 0 มีปริมาณเซลล์มีชีวิตเริ่มต้นประมาณ 10^6 CFU/ml และ เมื่อสิ้นสุดระยะ log phase มีปริมาณเซลล์มีชีวิตประมาณ 10^8 CFU/ml เช่นเดียวกันกับเชื้อรหัส KB08 และ KB11 ทั้งนี้จำเป็นต้องทำการศึกษาและจัดจำแนกด้วยวิธีทาง化學 หรือวิธีทางเคมีอย่างละเอียดจึงทราบผลที่แน่นอน ส่วนเชื้อรหัส KN09 มีลักษณะโคลนน์ภายนอก ลักษณะรูปร่างเซลล์ สีแกรน และรูปแบบของกราฟแสดงอัตราการเจริญเติบโตที่แตกต่างออกไปอย่างสิ้นเชิง จึงถูกต้องได้ว่าเป็นจุลินทรีย์ต่างชนิดกัน

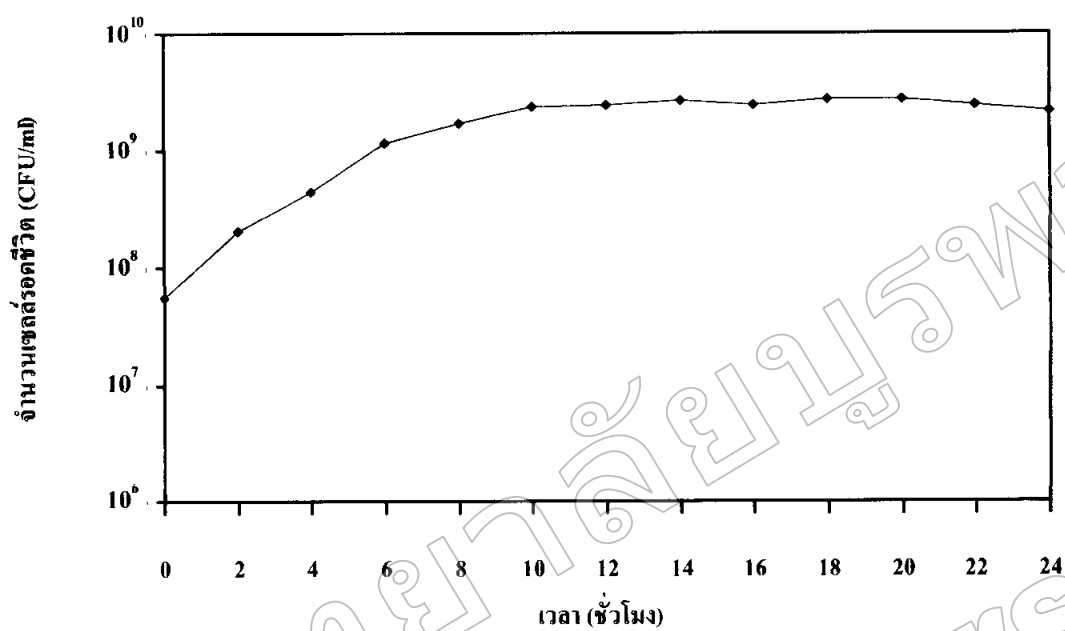
จากข้อมูลการเจริญเติบโตของเชื้อรหัส KB08, KB11 และ KN09 สามารถหาค่าอัตราการเจริญเติบโตจำเพาะ (specific growth rate) ของเชื้อทั้ง 3 ชนิดมีค่าเท่ากับ 0.6306, 0.6716 และ 0.2312 ตามลำดับ และพบร่วมกันว่าระยะ log phase ของเชื้อรหัส KB08 และ KB11 มีระยะเวลาที่สั้นกว่าคือสิ้นสุดระยะ log phase ที่ประมาณชั่วโมงที่ 4 ซึ่งเชื้อรหัส KN09 มีระยะเวลาที่ยาวกว่าคือสิ้นสุดระยะ log phase ที่ประมาณเวลาชั่วโมงที่ 8 จึงสามารถกล่าวได้ว่าเชื้อรหัส KB08, KB11 มีประสิทธิภาพในการเจริญเติบโตในสิ่งแวดล้อมที่มีไนโตรคาร์บอนปริมาณสูงได้ดีกว่าเชื้อรหัส



ภาพที่ 20 อัตราการเจริญเติบโตเฉลี่ยของเชื้อรหัส KB08



ภาพที่ 21 อัตราการเจริญเติบโตเฉลี่ยของเชื้อรหัส KB11



ภาพที่ 22 อัตราการเจริญเติบโตเฉลี่ยของเชื้อรหัส KN09

บทที่ 5

สรุปผลการวิจัย และข้อเสนอแนะ

สรุป

จากการศึกษาขั้นต้นพบเชื้อจุลินทรีย์ซึ่งคาดว่ามีความสามารถย่อยสลายสารปฏิโตรดีบันไ索โครงการบอนทั้งหมด 30 ชนิด โดยพบจากบริเวณท่าเรืออ่าวคุ้งกระเบน 21 ชนิด และพบจากบริเวณท่าเรือปากแม่น้ำแม่แรม 9 ชนิด แต่หลังจากเก็บรักษาเป็น stock cultured ปรากฏว่ามีเชื้อรอดชีวิตเพียง 15 ชนิด ซึ่งสามารถคัดแยกจุลินทรีย์มาทำการศึกษาได้ 3 ชนิด กำหนดรหัสคือ KB08, KB11 และ KN09 มีลักษณะดังนี้

เชื้อรหัส KB08 คัดแยกได้จากบริเวณท่าเรืออ่าวคุ้งกระเบน เป็นจุลินทรีย์แกรมบวก มีรูปร่างเซลล์แบบท่อนยาว โคลoni มีสีขาวหยาบทึบแสง รูปร่างเป็นวงกลม (circular) การยกตัวเป็นแบบมีจุดยอด (umbonate) และขอบไม่เรียบ (undulate)

เชื้อรหัส KB11 คัดแยกได้จากบริเวณท่าเรืออ่าวคุ้งกระเบน เป็นจุลินทรีย์แกรมบวก มีรูปร่างเซลล์แบบท่อนยาว โคลoni มีสีเหลืองหยาบทึบแสง รูปร่างเป็นวงกลม (circular) การยกตัวเป็นแบบมีจุดยอด (umbonate) และขอบไม่เรียบ (undulate)

เชื้อรหัส KN09 คัดแยกได้จากบริเวณท่าเรือปากแม่น้ำแม่แรม 9 ชนิด รูปร่างเป็นวงกลม (circular) การยกตัวเป็นแบบโค้งมนจากผิวน้ำ (convex) และขอบเรียบ (entire)

จากการศึกษาลักษณะ โคลoni เมืองต้น การข้อมูลแกรมและการศึกษาอัตราการเจริญเติบโต พบร่วมเชื้อรหัสเชื้อรหัส KB08 และ KB11 มีความคล้ายคลึงกันเป็นอย่างมากคาดว่าจะเป็นชนิดเดียวกัน ทั้งนี้จำเป็นต้องจัดทำแบบจำลองเชิงวิธีทางชีวเคมีอีกรึ

จากการศึกษาอัตราการเจริญเติบโตจำเพาะ (specific growth rate) พบร่วมเชื้อรหัส KB08, KB11 และ KN09 มีค่าเท่ากับ 0.6306, 0.6716 และ 0.2312 ตามลำดับ โดยเชื้อรหัส KB08 และ KB11 ใช้ระยะเวลาในช่วง log phase สั้นกว่าเชื้อรหัส KN09 คือเชื้อรหัส KB08 และ KB11 สั้นสุดระยะ log phase ที่ประมาณชั่วโมงที่ 4 มีปริมาณเซลล์สูงสุดเท่ากับ 4.50×10^8 CFU/ml และ 5.16×10^8 CFU/ml ตามลำดับ ส่วนเชื้อรหัส KN09 สั้นสุดระยะ log phase ที่ประมาณชั่วโมงที่ 8 และมีปริมาณเซลล์สูงสุดเท่ากับ 1.15×10^9 CFU/ml จึงกล่าวได้ว่ามีประสิทธิภาพในการเจริญเติบโตในสิ่งแวดล้อมที่มีไส้โครงการบอนปริมาณสูงได้ดีกว่าเชื้อรหัส KN09

ข้อเสนอแนะ

1. ทำการศึกษาจุลินทรีย์ให้ครบถ้วนชนิดเพื่อสามารถเปรียบเทียบความสามารถในการเจริญเติบโตในที่ซึ่งมีสารประกอบไฮโดรคาร์บอนปันเปี้ยนในปริมาณสูงได้

2. ความมีการศึกษาสภาพของสิ่งแวดล้อมที่จุลินทรีย์เหล่านี้อาศัยอยู่ เพื่อสามารถปรับสภาพของสิ่งแวดล้อม เหมาะสมต่อการดำเนินกิจกรรมของเซลล์ในห้องปฏิบัติการได้

3. ทำการศึกษาสภาพของน้ำมันในที่เปลี่ยนแปลงไปเมื่อมีการดำเนินกิจกรรมของจุลินทรีย์ เพื่อศึกษาประสิทธิภาพในการย่อยสลาย และผลที่มีต่อน้ำมัน

บรรณานุกรม

กฤติยาพร ทัพภก.ทัต. (2538). ปีโตรเลียมไฮโดรคาร์บอนน้ำทะเลและตะกอนบริเวณชายฝั่งทะเล
จังหวัดระยอง. วิทยานิพนธ์ปริญญามหาบัณฑิต, จุฬาลงกรณ์มหาวิทยาลัย.

เกศนี สรวนันช. (2534). ปีโตรเลียมไฮโดรคาร์บอนในน้ำดินตะกอน และหอยแมลงภู่ (Perna
viridis) บริเวณแม่น้ำท่าจีนตอนล่าง. วิทยานิพนธ์ปริญญาวิทยาศาสตร์มหาบัณฑิต,
สาขาวิชาชีววิทยาศาสตร์สภาวะแวดล้อม, บัณฑิตวิทยาลัย, จุฬาลงกรณ์มหาวิทยาลัย.

ชรตัน รุ่งเรืองศิลป์. (2533). ผลกระทบของน้ำมันต่อสิ่งแวดล้อม. น้ำมัน, 1-8

เชิด รุ่งอุทัย. (2522). บทบาทของการขันส่งน้ำมันทางน้ำ และผลกระทบสิ่งแวดล้อม. กรรมเจ้าท่า
พิมพ์อัดสำเนา : 17 หน้า

ดวงพร คันธ โชค. (2537). อนุกรมวิธานของแบคทีเรียและปฏิกิริยา. ไอเดียนส์ โอลล์: กรุงเทพฯ
นงลักษณ์ สุวรรณพินิจ. (2547). จุลชีววิทยาทั่วไป (พิมพ์ครั้งที่ 4). กรุงเทพฯ: สำนักพิมพ์แห่ง
จุฬาลงกรณ์มหาวิทยาลัย.

บัญญัติ สุขศรีงาม. (2534). จุลชีววิทยาทั่วไป (พิมพ์ครั้งที่ 3). กรุงเทพฯ: สำนักพิมพ์ไอเดียน
ส์ โอลล์.

ปัญจพล ชื่โนคม. (2543). การสร้างกลุ่มประชากรจุลินทรีย์เพื่อการย่อยสลายน้ำมันดิน.

วิทยานิพนธ์ปริญญาวิทยาศาสตร์มหาบัณฑิต, สาขาวิจุลชีววิทยาทางอุตสาหกรรม,
ภาควิชาจุลชีววิทยา, คณะวิทยาศาสตร์, จุฬาลงกรณ์มหาวิทยาลัย.

ปราโมทย์ ไชยเวช. (2537). น้ำมันปีโตรเลียมดิน. ปีโตรเลียมเทคโนโลยี. ภาควิชาเคมีเทคนิค
คณะวิทยาศาสตร์ จุฬาลงกรณ์มหาวิทยาลัย.

เบี่ยงศักดิ์ เมนะเศวต. (2543). แหล่งน้ำกับปัญหามลพิษ (พิมพ์ครั้งที่ 8). กรุงเทพฯ: สำนักพิมพ์
แห่งจุฬาลงกรณ์มหาวิทยาลัย.

มนูวดี หังสพฤกษ์. (2546). สาระวิทยาศาสตร์ทางทะเล. กรุงเทพฯ: สำนักงาน
คณะกรรมการวิจัยแห่งชาติ.

นิติวรรณ บุญเสนอ. (2547). พิชวิทยาสิ่งแวดล้อม (Environmental Toxicology) (พิมพ์ครั้งที่ 3).
นครปฐม: โรงพยาบาลวิทยาลัยศิลปากร.

ศรีประภา ศุภารัตน์. (2541). Identification จุลินทรีย์หลักที่ย่อยสลายน้ำมันดินที่แยกมาจาก
ระบบบำบัดน้ำเสียโรงพยาบาลน้ำมันบางจาก. ปริญญาดุษฎีบัณฑิต, ภาควิชา
จุลชีววิทยา, คณะวิทยาศาสตร์, จุฬาลงกรณ์มหาวิทยาลัย.

สมถวิล จริตควร. (2540). ชีววิทยาทางทะเล. ภาควิชาการวิชาศาสตร์ คณะวิทยาศาสตร์ มหาวิทยาลัยบูรพา.

สมบัติ จำปาเงิน. (2537). พจนานุกรมนักเรียน ฉบับสมบูรณ์. กรุงเทพฯ: สุรีวิยาสาส์น.

สมบูรณ์ ธนาศุภวัฒน์. (2544). เทคนิคการเก็บรักษาจุลินทรีย์ Preservation Techniques of Microorganisma (พิมพ์ครั้งที่ 2). กรุงเทพฯ: สำนักพิมพ์แห่งจุฬาลงกรณ์มหาวิทยาลัย.
สมศักดิ์ วงศ์วิจัย. (2528). จุลินทรีย์และกิจกรรมในดิน. กรุงเทพฯ: ไทยวัฒนาพัฒชัย
ส่วนแหล่งน้ำทะเล สำนักจัดการคุณภาพน้ำ กรมควบคุมมลพิษ. (2546). ทะเลไทยวันนี้ (พิมพ์ครั้งที่ 1). กรุงเทพฯ

สุพรรณี ลีโทชวัลติ. (2539). การรวบรวมจุลชีพมีชีวิตบริสุทธิ์จากบริเวณชายฝั่งทะเลภาคตะวันออกและอ่าวไทยตอนบน. รายงานการวิจัยประจำปีงบประมาณ 2536-2539.
สถาบันวิทยาศาสตร์ทางทะเล มหาวิทยาลัยบูรพา.

เสาวนีย์ ธรรมสกุล. (2547). แนวคิดเรียนทางเทคโนโลยีชีวภาพ. นครปฐม: โรงพิมพ์สถาบันพัฒนาสาระรสนิยมฯ.

วนิดี เกณย์โภคินทร์. (2537). การย้อมนำ้มันดิน โดยแบคทีเรียจากธรรมชาติ ปัญหาพิเศษปริญญา
วิทยาศาสตรบัณฑิต, สาขาวุฒิชีววิทยา, คณะวิทยาศาสตร์, มหาวิทยาลัยบูรพา.
อรุรรณ วัฒโน. (2542). การคัดแยกแบคทีเรียที่มีความสามารถในการย้อมสีดินนำ้มันดินและสารประกอบ Polycyclic aromatic hydrocarbons จากดินปนเปื้อนสารประกอบไฮdrocarbons. ปัจจุบันสาขาวิชาชีววิทยา,
คณะวิทยาศาสตร์, มหาวิทยาลัยบูรพา.

Anita, I., Kalpana, M. and Bhavanath, J. (2005). Biosorption of heavy metals by a marine bacterium. Marine Pollution Bulletin 50, 340-343

Bossert, I., and Compeau, G.C. (1995). Cleanup of petroleum hydrocarbon contamination in soil. Microbial Transformation and Degradation of Toxic Organic Chemicals. : 77-125

Gerard, J.T., Berdell, R.F., Christine, L.C. (2004). Microbiology an Introduction (8th ed.).

Pfaender, F.K., and Buckley, N. (1984). Effect of petroleum on microbial communities. In: Atlas, R.M., editor. Petroleum Microbiology. Newyork: Macmillan: 507-536

Ronal M.A. (1995). Bioremediation of petroleum pollutants. International Biodeterioration & Biodegradation Elsevier, 317-327

- Ronal M.A. (1995). Petroleum biodegradation and oil spill bioremediation. Marine Pollution Bulletin 31, 178-182
- Speight, L.G. (1991). The chemistry and technology of petroleum. 2nd ed. New York: Marcel Dekker.
- Timothy R.P., Yoshiaki M. and Carol M.L. (1992). A manual of chemical and biological methods for seawater analysis. (4 th ed). Great Britain: BPCC Wheatons Ltd. Exeter.
- Yehuda Cohen. (2002). Bioremediation of oil by marine microbial mats. Int Microbial (2002). 5: 189-193
- Yogita N. Sardessai and Saroj Bhosle. (2002). Organic solvent-tolerant bacteria in mangrove ecosystem. Current science, Vol. 82, No. 6
- Zuofa, K., Loganathan, P., and Isirmah, N.O. (1988). Effects of crude oil applications to soil on the growth and yield of maize, okaro, and cassava in Nigeria. Oil Chem. Pollut. 4: 249-259

ภาควิชานวัตกรรม

มหาวิทยาลัยบูรพา
Burapha University

ภาควิชานutrition
อาหารเลี้ยงเชื้อและสารที่ใช้ในการศึกษา

มหาวิทยาลัยบูรพา
Burapha University

ภาคผนวก ก
อาหารเลี้ยงเชื้อและสารที่ใช้ในการศึกษา

1. น้ำมันดิน

น้ำมันดินที่ใช้ในการทดลองได้รับความอนุเคราะห์จากบริษัท Star Petroleum, Thailand โดยก่อนนำมาใช้ในการทดลองต้องผ่านการกรองผ่านเชือด้วยกระดาษกรอง cellulose nitrate ขนาดรูพorus 0.25 μm

2. อาหารเลี้ยงเชื้อ LB MG agar

tryptone	1	% (w/v)
yeast extract	0.5	% (w/v)
NaCl	1	% (w/v)
MgSO ₄	10	mM
glucose	0.1	% (w/v)
agar powder	1.5	% (w/v)
distilled water	1000	มิลลิลิตร

ก่อนนำมาใช้ต้องผ่านการอบผ่านเชือด้วยไอน้ำที่ 121 °C ความดัน 15 ปอนด์ต่อตารางนิวตัน เป็นเวลา 15 – 20 นาที

3. Peptone water

peptone	0.1	% (w/v)
NaCl	0.85	% (w/v)
Distilled water		

ก่อนนำมาใช้ต้องผ่านการอบผ่านเชือด้วยไอน้ำที่ 121 °C ความดัน 15 ปอนด์ต่อตารางนิวตัน เป็นเวลา 15 – 20 นาที

4. Gram's stain

3.1 Crystal violet

สารละลายน้ำ

Crystal violet (85 % dye)	2.0	กรัม
Ethyl alcohol 95 %	20.0	มิลลิลิตร

ละลายน้ำในแอลกอฮอล์จนสีละลายหมด

สารละลายน้ำ

Ammonium oxalate น้ำกลั่น	0.8 80	กรัม มิลลิลิตร
------------------------------	-----------	-------------------

ผสมสารละลายน้ำ A กับสารละลายน้ำ B ถ้ามีต่อตอนให้กรองก่อนนำไปใช้ และถ้าสีเข้มเกินไปอาจเจือจางสารละลายน้ำ A เป็น 1 : 10 ก่อนผสมกับสารละลายน้ำ B

3.2 Safranin O counterstain (stock solution)

Safranin O	2.5	กรัม
Ethyl alcohol 95 %	100.0	มิลลิลิตร

ถ้าจะใช้สีในการข้อมูลให้เจือจางเป็น 1 : 10 (stock safranin 10 มิลลิลิตร) ถ้ามีต่อตอนให้กรองก่อนการใช้ทุกครั้ง

3.3 Gram's iodine solution (mordant)

Iodine (Crystal) น้ำกลั่น	1.0	กรัม
Potassium iodine (KI)	2.0	กรัม

ละลายน้ำ碘ine และ KI ในน้ำปริมาณน้อยๆ ก่อนแล้วจึงเติมน้ำให้ครบ เก็บไว้ในขวด

ภาควิชานวัตกรรม
ตารางอัตราการเจริญเติบโตของเชื้อจุลินทรีย์และชนิด

ภาคผนวก ๖

ภาคผนวก ข
ตารางอัตราการเจริญเติบโตของเชื้อจุลินทรีย์แต่ละชนิด

ตารางที่ 12 อัตราการเจริญเติบโตของเชื้อจุลินทรีย์แต่ละชนิด (CFU/ml)

ชั่วโมงที่	จำนวนเซลล์ที่มีชีวิตของเชื้อจุลินทรีย์แต่ละชนิด (CFU/ml)		
	KB08	KB11	KN09
0	4.80×10^6	3.86×10^6	5.60×10^7
2	1.64×10^8	1.46×10^8	2.02×10^8
4	4.50×10^8	5.16×10^8	4.43×10^8
6	4.33×10^8	4.40×10^8	1.15×10^9
8	6.60×10^8	6.06×10^8	1.70×10^9
10	5.33×10^8	6.53×10^8	2.31×10^9
12	3.00×10^8	3.80×10^8	2.43×10^9
14	1.58×10^8	1.85×10^8	2.62×10^9
16	2.45×10^8	2.70×10^8	2.38×10^9
18	4.63×10^8	3.43×10^8	2.73×10^9
20	4.37×10^8	3.60×10^8	2.72×10^9
22	4.50×10^8	7.66×10^8	2.42×10^9
24	3.47×10^8	3.46×10^8	2.12×10^9

ภาคผนวก ค
ภาพลักษณ์ໂຄໂລນีຂອງເຫຼືອຈຸລິນທຣີ່ແຕ່ລະຫັດ

ภาคผนวก ค
ภาพลักษณะโคลนีของเชื้อจุลินทรีย์แต่ละชนิด

ภาพที่ 23 โคลนีเชื้อจุลินทรีย์ซึ่งคัดแยกได้จากบริเวณท่าเรือคุ้งกระเบนทั้งหมด 21 ชนิด



KB01



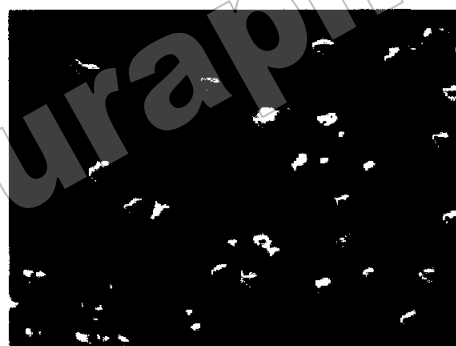
KB02



KB03



KB04



KB05



KB06



KB07



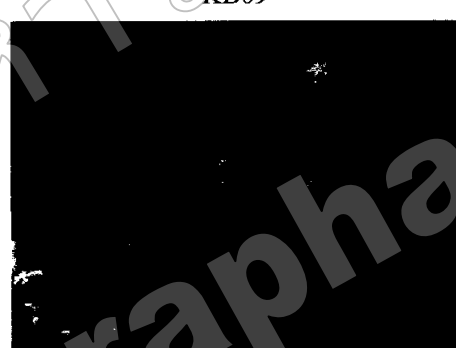
KB08



KB09



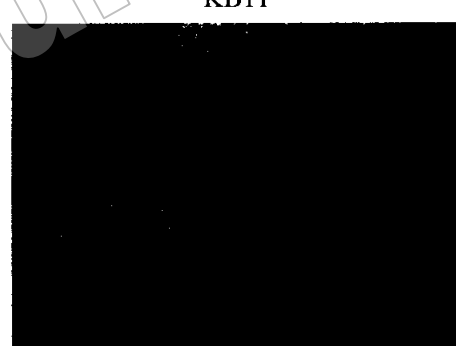
KB10



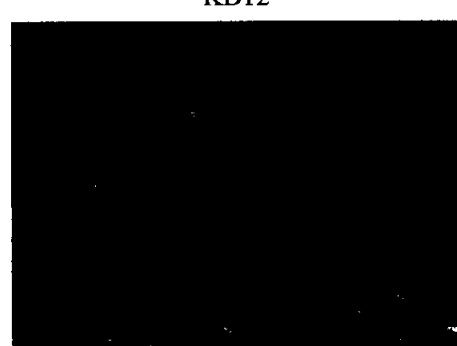
KB11



KB12



KB13



KB14



KB15



KB16



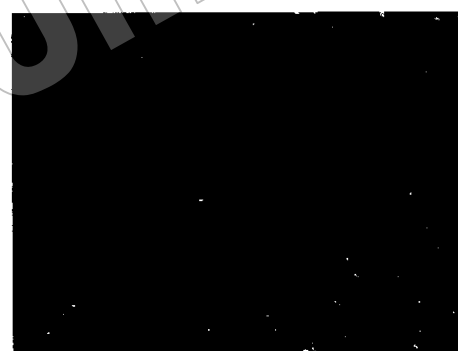
KB17



KB18



KB19

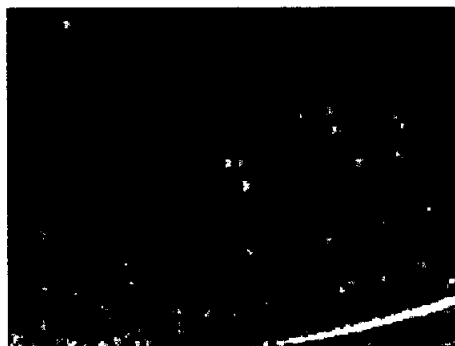


KB20



KB21

ภาพที่ 24 โคลoni เชื้อจุลินทรีย์ซึ่งคัดแยกได้จากบริเวณท่าเรือปากแม่น้ำแยมหนูทั้งหมด 9 ชนิด



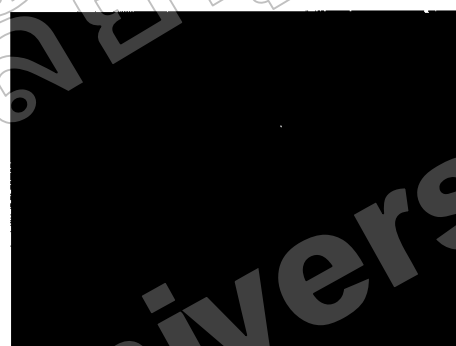
KN01



KN02



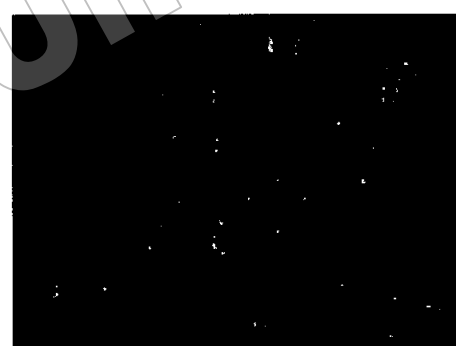
KN03



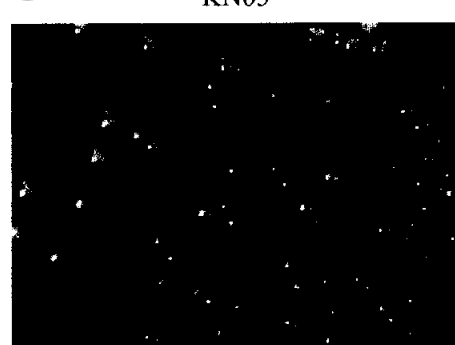
KN04



KN05



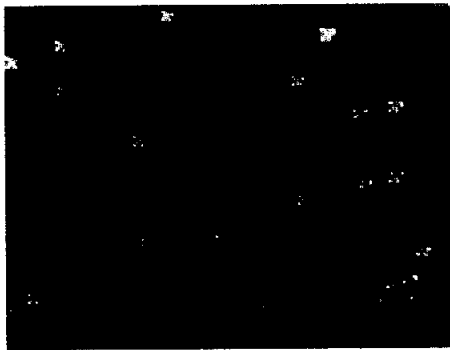
KN06



KN07



KN08



KN09

บุรapha University

ประวัติย่อของผู้วิจัย

ชื่อ – สกุล	นาย ยงยุทธ แก้วบุญกว้าง
วัน เดือน ปี เกิด	22 ธันวาคม พ.ศ. 2527
สถานที่เกิด	โรงพยาบาลเมืองฉะเชิงเทรา จ.ฉะเชิงเทรา
สถานที่อยู่ปัจจุบัน	26/5 ถ.สุก叽ิ ต.หน้าเมือง อ.เมือง จ.ฉะเชิงเทรา 24000
ประวัติการศึกษา	จบชั้นมัธยมศึกษาจาก โรงเรียนเบญจมราชรังสฤษฎิ์ฉะเชิงเทรา
พ.ศ. 2544	จบชั้นประถมศึกษาจาก โรงเรียนเซนต์หลุยส์ ฉะเชิงเทรา
พ.ศ. 2538	
ผลงานการร่วมกิจกรรม	
พ.ศ. 2548	ฝึกงานด้านสมุทรศาสตร์สิ่งแวดล้อม ณ ศูนย์วิจัย ทรัพยากรทางทะเลและชายฝั่งอ่าวไทยตอนกลางและภาค ตะวันออก
พ.ศ. 2547	ฝึกงานด้านวิศวกรรมชายฝั่ง และโปรแกรมทำนายการกัดเซาะ ชายฝั่ง ณ กรมอุทกศาสตร์ท่าเรือ
พ.ศ. 2545	ผู้รับผิดชอบโครงการทะเลสัมพันธ์ (คณฑ์เทคโนโลยีทางทะเล พนักงานวิทยาศาสตร์ ภาควิชาภารีศาสตร์ มหาวิทยาลัยบูรพา) นิติศิลป์ ณ สถาบันวิทยาศาสตร์ทางทะเล มหาวิทยาลัย บูรพา จ.ชลบุรี